

L.1800

XELECTRON

SUPPLEMENTO A **EQ** ELETTRONICA N. 10

sped. in abb. post. 9. III

- integrati, che passione! • gli zener • Ni-Cad •
- quasi tutto...sui led • gli induttori • le "CV"

il corpo e l'anima

TRN 2000, stazione completa:

- 2000 W effettivi (a 75% della potenza max erogabile)
- Protezioni elettroniche resettabili esternamente o con remote control
- Filtro PA, incorporato per un contenuto armonico trascurabile
- Alta affidabilità per servizio continuo
- Costruzione a norme internazionali



ELETRONICA
TELECOMUNICAZIONI

39027 NOVENTA PADOVANA (PD)
V. CAPPELLO, 44
Tel. (049) 62.85.94



XELECTRON

SUPPLEMENTO  ELETTRONICA

sommario

- 2 **integrati che passione** (Mazzotti)
- 8 **Ni-Cad a metà prezzo** (Ciapetti)
esperienze, disavventure e buone notizie
- 13 **Le "CV" inglesi, un mistero non poi tanto tale...** (Chelazzi)
- 21 **la sostituzione ECG dei semiconduttori** (Macri)
- 25 **gli zener non servono solo a dare tensioni stabilizzate** (Di Pietro)
- 36 **Sigle stranissime** (Anselmi)
- 38 **come si scelgono i componenti passivi: gli INDUTTORI** (Panicara / Pantoli)
- 58 **sempre più piccole, sempre più potenti** (Marcolini)
- 62 **Arrivano i microprogrammabili** (Becattini)
una nuova frontiera
- 68 **Quasi tutto... sui LED** (Erra)

indice degli inserzionisti di questo numero

nominativo	pagina	nominativo	pagina
CEL	80	MICROSET elettronica	3, di copertina
DB elettronica	2, di copertina	STE	6-56
IST	4, di copertina	STETEL	37-79
MARCUCCI	57-72		

EDITORE **s.n.c. edizioni CD**
DIRETTORE RESPONSABILE **Giorgio Totti**
REDAZIONE - AMMINISTRAZIONE
ABBONAMENTI - PUBBLICITÀ
40121 Bologna - via C. Boldrini, 22 - (051) 552706-551202
Registrazione Tribunale di Bologna, n. 3330 del 4-3-1968
Diritti riprod. traduzione riservati a termine di legge

STAMPA: Tipo-Lito Lame - Bologna - via Zanardi, 506/B
Spedizione in abbonamento postale - gruppo III
Pubblicità inferiore al 70%

DISTRIBUZIONE PER L'ITALIA
SODIP - 20125 Milano - via Zuretti, 25 - ☎ 6967
00187 Roma - via Serpieri, 11/5 - ☎ 87 49 37

DISTRIBUZIONE PER L'ESTERO
Messaggerie Internazionali - via Gonzaga, 4 - Milano
Cambio indirizzo L. 1.000 in francobolli
Manoscritti, disegni, fotografie,
anche se non pubblicati, non si restituiscono

ABBONAMENTO Italia a 12 mesi L. 21.000 (nuovi)
L. 20.000 (rinnovi)
ARRETRATI L. 1.800 cadauno
Raccoglitori per annate L. 8.500 (abbonati L. 6.000).

TUTTI I PREZZI INDICATI comprendono tutte le voci di spesa (imballi, spedizioni, ecc.) quindi null'altro è dovuto all'Editore.

Si PUÒ PAGARE inviando assegni personali e circolari, vaglia postali, o a mezzo conto corrente postale 343400, o versare gli importi direttamente presso la nostra Sede. Per piccoli importi si possono inviare anche francobolli da L. 100.

A TUTTI gli abbonati, nuovi e rinnovi, sconto di L. 500 su tutti i volumi delle edizioni CD.

ABBONAMENTI ESTERO L. 25.000 } edizioni CD
Mandat de Poste International } 40121 Bologna
Postanweisung für das Ausland } via Boldrini, 22
payable à / zahbar an } Italia

integrati che passione

14KOZ, Maurizio Mazzotti

Salve, pare che io sia nuovo sulle pagine di XÉLECTRON, beh, ci deve pur essere una prima volta per tutto, no?

Oggi, ragazzi, mi voglio sbizzarrire, ve ne farò vedere di tutti i colori, il tutto a uso e consumo di pierini ed esperti, lo so che è difficile conciliare gli interessi di tutti, ma sono convinto, data la molteplicità dei soggetti trattati in questa mia prima comparsa, che almeno una di queste cosucce sarà senz'altro di vostro gradimento.

Entro subito in azione con un circuito integrato d'eccezione! **SO 42 P** (non è una sigla per dire che so quarantadue parolacce, ne so molte di più), l'esse o quarantadue pi è un circuito integrato che con poche zampette fa un sacco di cose.

Il « package » può essere sia un 14 pins dual-in-line sia un 10 pins simile al TO 100.

Tale integrato rappresenta una delle soluzioni più sintetiche per ottenere un convertitore di frequenza.

Il bello di questo versatissimo componente è che lo si può utilizzare fino a circa 200 MHz e senza alcuna preamplificazione lo si può eccitare con appena 3 microvolt! Il che non è poco!

La strada, o meglio le strade, per arrivare alla bassa frequenza sono diverse e dipendono esclusivamente dall'uso al quale destineremo il nostro SO 42 P.

Ben inteso, se può arrivare a 200 MHz non è detto che più in basso di frequenza non debba lavorare, anzi, se la cava benissimo anche in onde corte e in banda CB, però qui ci sono dei problemi diversi, per cui sia l'ingresso che l'uscita dovranno avere caratteristiche di selettività e di reiezione di frequenza immagine adeguate alla frequenza da ricevere. Se usato in seconda conversione, tre condensatori e un quarzo, oltre alle induttanze d'ingresso e di uscita, s'intende, sono gli unici componenti richiesti per il funzionamento di questo mini-convertitore, in tal maniera il nostro SO 42 P diventa l'ideale per esperimenti rapidi in quanto i componenti esterni su cui giostrare per ottenere l'optimum sono veramente ridotti a un numero irrisorio.

La notiziola per la cronaca dei pignoli: non è ben certo se la sigla di questo integrato sia SO 42 P oppure S 042 P, io l'ho trovata scritta in tutte e due le maniere, inoltre se in contenitore 10 pins l'ultima lettera non è P bensì E.

Come potete osservare dagli schemi di principio, tale integrato può essere pilotato anche da oscillatore esterno oltre che da interno variabile e interno a quarzo e per aumentarne la trasconduttanza si possono mandare a massa i piedini 12 e 10 attraverso due resistenze da 200Ω (resistenze di emitter).

Tali resistenze rappresentano comunque il caso limite, non è bene scendere al di sotto di tali valori a meno che i due terminali 10 e 12 non siano connessi in cortocircuito fra loro, in questo caso si può usare un'unica resistenza da 100Ω (l'equivalente di 2×200 in parallelo), tutto dipende dal cablaggio del circuito.

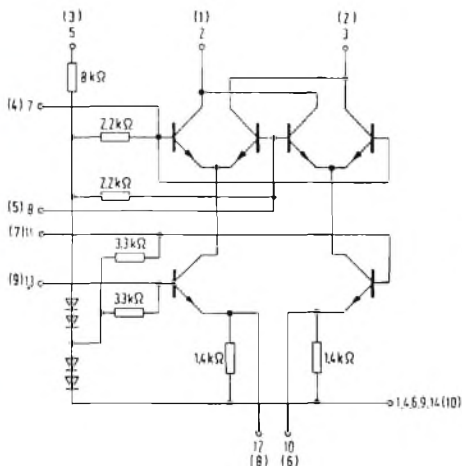
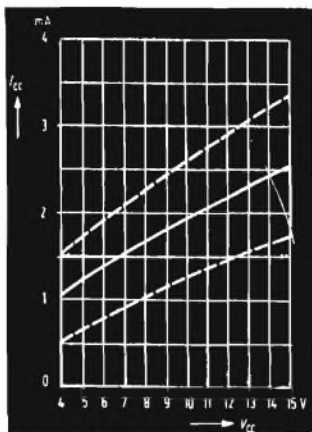


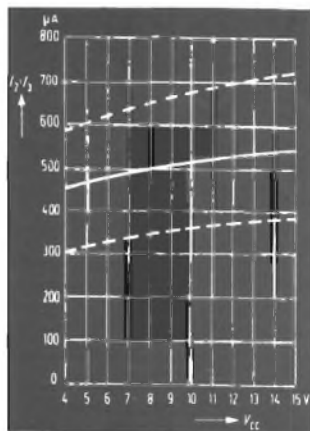
Diagramma circuitale SO 42 P,
SO 42 E.
Le connessioni fra parentesi sono
riferite al tipo SO 42 E.

Come potete osservare dal diagramma circuitale, lo SO 42 P è un integrato abbastanza semplice per un totale di soli sei componenti attivi tutti accoppiati in continua, come vogliono le buone regole degli integrati, le polarizzazioni interne alle basi sono ibride, del tipo resistenze/diodi così da avere un'elevata stabilità di corrente sulle basi anche in funzione a diversi valori di alimentazione che comunque è bene non si scostino troppo dal valore massimo fissato dalla Casa costruttrice in ragione di $15 V_{cc}$, anche perché il guadagno è strettamente legato alla tensione di alimentazione e raggiunge un massimo pressoché stazionario fra i 12 e i $15 V_{cc}$ (vedi diagrammi a pagina seguente).

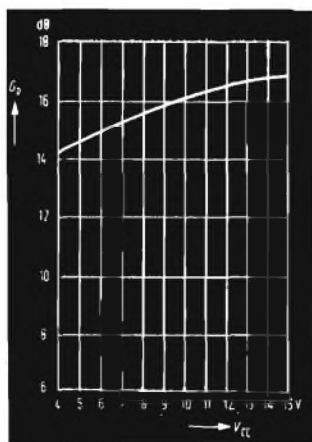
La versatilità di questo integrato è davvero interessante, esso infatti può funzionare anche come amplificatore differenziale dalla corrente continua fino a oltre 100 MHz con correnti piuttosto elevate e l'amplificazione può essere variata a piacere pilotando con tensione più o meno positiva gli ingressi 11 e 13, all'occhio dell'esperto non sfuggirà la possibilità di utilizzare questo componente anche come rivelatore a prodotto o come mixer bilanciato ogni qualvolta si sia costretti per cause di forza maggiore a dover lavorare con valori di frequenza intermedia superiori ai tradizionali 10,7 MHz, ottimo quindi nei ricevitori di tipo « direct conversion ».



Consumo di corrente totale
in funzione della tensione di alimentazione.



Tensione in uscita
in funzione della tensione di alimentazione



Guadagno in potenza
in funzione della tensione di alimentazione

La fantasia dello sperimentatore poi ne deciderà anche le prestazioni meno convenzionali e tuttavia possibili, come dicevo, il pregio di questo integrato è quello di lavorare a frequenze elevate e se vogliamo anche con correnti piuttosto alte, se si aumenta la corrente totale, con l'accorgimento delle resistenze da 200 Ω sopra accennate, lo si può far lavorare come convertitore ad alto livello in stadi che già dispongono di una certa potenza, per esempio potrei citare un sistema di ponti a RF in banda FM o in banda due metri in NBFM senza dover ricorrere al passaggio di frequenza intermedia per poi dover riconvertire nuovamente.

Altra cosa degna di rilievo è il fatto che con le configurazioni circuitali suggerite dalla casa, lo SO 42 P non « carica » le induttanze cosicché è possibile, durante gli esperimenti, usare il grid-dip-meter per verificarne la risonanza a freddo. Sotto tensione invece, a meno che non si usino le resistenze da 200 Ω già citate, la corrente di eccitazione dei circuiti risonanti dell'oscillatore locale è così lieve da non essere registrata neppure da un grid-dip anche se molto sensibile e la cosa può trarre in inganno sul corretto funzionamento dell'integrato; lo cito semplicemente perché proprio a me, mentre mi cimentavo nei primi approcci, è capitato di prendere granchi colossali a tale proposito. In ogni caso, se ne parlo con tanto entusiasmo è perché personalmente ho avuto molte soddisfazioni.

Caratteristiche elettriche SO 42 P / SO 42 E (a 12 V_{cc} e a 25 °C)

		min	typ	max	
consumo totale di corrente	$I_{cc} = I_1 + I_2 + I_3$	1,4	2,15	2,9	mA
corrente in uscita	$I_2 = I_1$	0,36	0,52	0,68	mA
differenza di corrente in uscita	$I_1 - I_2$	- 60		+ 60	mA
corrente	I_c	0,7	1,1	1,6	mA
guadagno in potenza ($f_c = 100$ MHz, $f_{osc} = 110,7$ MHz)	G_p	14	16,5		dB
tensione di rottura ($I_{2,3} = 10$ mA, $V_{2,3} = 0$ V)	V_1, V_2	25			V
capacità in uscita	$C_{2,osc}, C_{3,osc}$		6		pF
cilra di rumore	F		7		dB
transconduttanza di conversione	$S = \frac{I_2}{V_1 - V_2} = \frac{I_1}{V_1 - V_2}$		5		mS

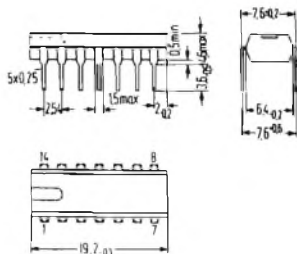
valori massimi assoluti

tensione di alimentazione	V_{cc}	15		V
temperatura di immagazzinaggio	T_s	da - 40 a + 125		°C
temperatura di giunzione	T_j	150		°C
resistenza al calore SO 42 P	$R_{\theta jw}$	110		K/W
(dissipazione termica) SO 42 E	$R_{\theta jw}$	190		K/W

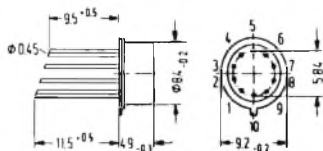
ARCO OPERATIVO

tensione di alimentazione	V_{cc}	da 4 a 15		V
temperatura ambiente di lavoro	T_{amb}	da - 15 a + 70		°C

S 042 P

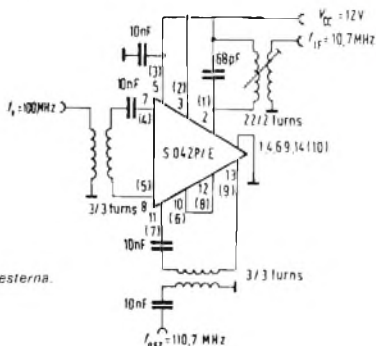


S 042 E



Connessioni e dimensioni in mm.

Dopo tante parole passiamo alla pratica con qualche circuito esplicativo. Fra i piedini 7 e 8 e fra i piedini 11 e 13 si può rendere necessaria una schermatura della filatura d'accoppiamento e un condensatore da 10 a 50 pF può essere connesso fra i piedini 7 e 8 allo scopo di prevenire autooscillazioni in banda VHF.



Circuito tipico con oscillatore locale a iniezione esterna.



RAPPRESENTANTE PER L'ITALIA

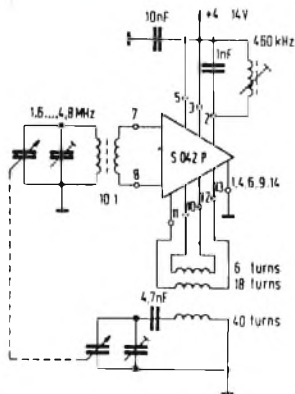
CTC



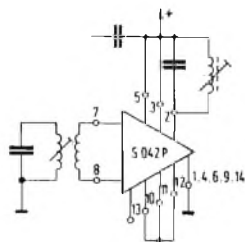
COMMUNICATIONS TRANSISTOR CORPORATION

DOCUMENTAZIONE, ASSISTENZA TECNICA E PREZZI INDUSTRIA A RICHIESTA.

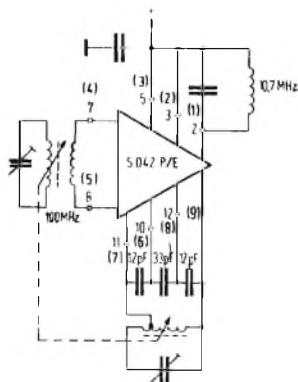
ST E s.r.l. - via maniago, 15 - 20134 milano - tel. (02) 215 78.91-215 35.24 - cable stetron



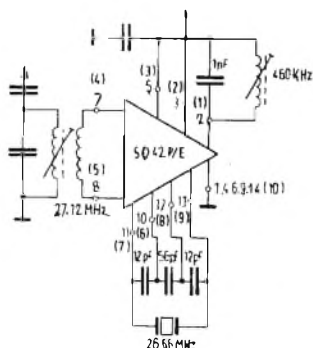
Miscelatore per onde corte con oscillatore locale interno.



Amplificatore differenziale con neutralizzazione adattato a limitatore, per frequenze superiori ai 50 MHz e ad alte correnti sopra i 100 MHz.



Miscelatore tipico a 100 MHz con media frequenza a 10,7 MHz e circuito di sintonia induttivo



Miscelatore tipico in banda CB con oscillatore interno a cristallo (per cristalli overtone si rende necessaria una adeguata induttanza tra i piedini 10 e 12 per ottenere la corretta frequenza di lavoro con esclusione della prima armonica)

Questo è quanto sono riuscito a trovare in merito allo SO 42 P/E: spero di aver fatto un discreto lavoro di traduzione (i dati originali sono in inglese, la regina Elisabetta mi perdoni se li ho volutamente adattati al nostro linguaggio!).

Nella speranza di non essermi scostato troppo dall'originale, auguro a voi tutti buon divertimento con lo SO 42 P. *****

Ni-Cad a metà prezzo

esperienze, disavventure e buone notizie

15CLC, Carlo Luigi Ciapetti

A primavera ci rivedemmo; il « portatile da caffè » FT207R aveva passato una estate di fuoco per il bollire estivo e per i continui QSO e un autunno glorioso fra poste ai cinghiali, cacce sui laghi e nei paduli della zona. L'inverno invece aveva avuto poche occasioni di lavorare anche se aveva viaggiato un bel po' in mezzo al rasoio elettrico e ai calzini durante tutti i viaggi di lavoro.

Ma ora faceva di nuovo un bel calduccio e i boschi erano di un bel verde tenero; i ponti frullavano di nuovo e tanti amici, finito il letargo invernale, si rifacevano vivi, di nuovo petulanti e litigiosi, da località dai nomi impronunciabili e dai QRA Locators più fantasiosi...

Anche io avevo cercato di rifarmi vivo dal OTH vero, non quello di lavoro: la notte era serena, gli amici si eran dati convegno sul R 6 del Secchieta, un break veloce, due saluti, poi le loro voci « dov'è finito il CLC? non si sente più, dev'essere andato a dormire! ».

A dormire, sì, con tutta la rabbia che avevo in corpo perché il trespolo si era rifiutato di seguitare ad andare in trasmissione mentre in ricezione mi portava queste velenose affermazioni!

Andai a letto, comunque, dopo aver messo in carica al suo miglior regime (C = 0,1 pari a 45 mA/h) lo FT207R.

La notte fu tranquilla e la mattinata trascorse fra caffè e intrallazzi vari aspettando le fatiche 14 ore di carica: scadevano dopo pranzo e proprio per quell'ora avevo uno sked con Mario, 15ROD, per fare delle prove su un'antenna delle decametriche.

All'ora fissata qualche chiamata, i soliti convenevoli, le istruzioni preliminari per i test e poi il solito « CLC, dove sei sparito? stai facendo la pennichella? ».

Altro che pennichella, per poco mi andava tutto di traverso.

Provo la tensione della Ni-Cad: 8 V e spiccioli.

Non mi restava che rimetterla in carica e vedere che cosa era il guaio; a notte fonda, dopo la ricaricata, potei testare la batteria con il circuito di figura 1.

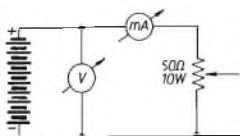
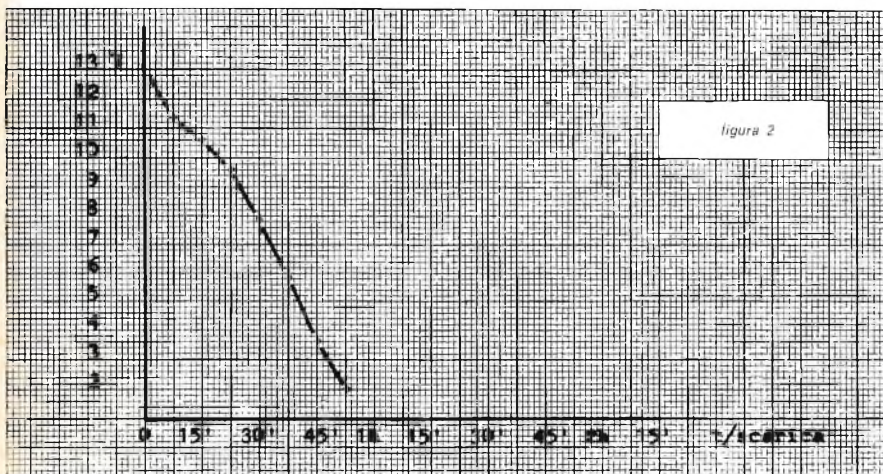


figura 1

A una scarica pari a 225 mA/h ($C = 0,5$) costanti (o quasi, visto che la costanza era data dal sottoscritto che girava, quando necessario, il reostato) mi venne fuori l'inaspettata curva di figura 2.



E mi sovvenni dell'effetto memoria: quasi sempre la batteria si era scaricata avendo dimenticato inserito il dispositivo di conservazione delle frequenze memorizzate dello FT207R (circa 7 mA/h) e quindi, con ogni probabilità, la batteria si era « abituata » a scaricarsi lentamente e a bassa corrente.

Ricordando quanto avevo letto (e scritto!), misi in atto una procedura — come vedremo estremamente pericolosa — consistente nello scaricare a $C = 0,5$ la batteria fino a quasi zero e poi ricaricarla a $C = 0,5$ o $C = 1$.

Da un primo tentativo ottenni un risultato già incoraggiante, riportato in figura 3: si cominciava a rivedere un andamento più regolare della curva di scarica della batteria.

Ripetuto il tutto, l'effetto memoria era scomparso e la curva era ridiventata regolare come da figura 4.

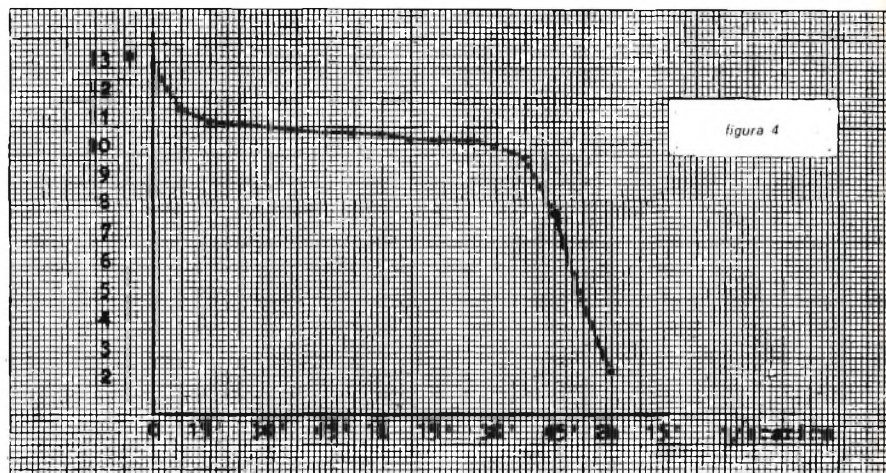
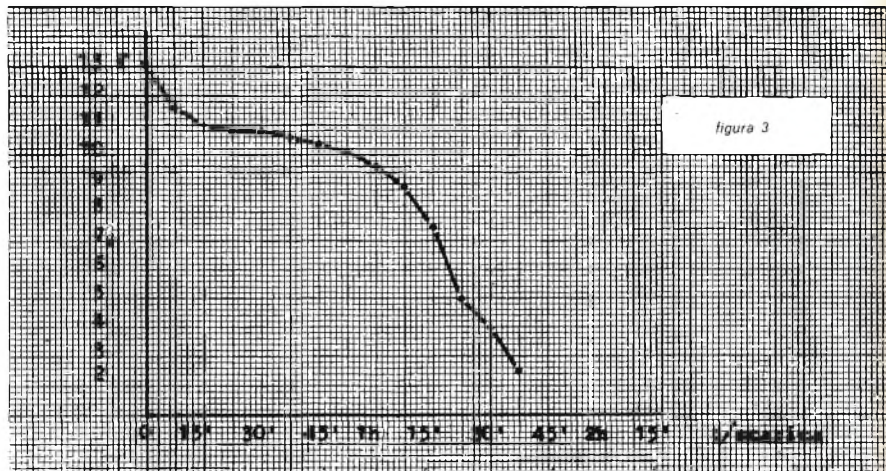
Se fossi stato meno curioso sarebbe andato tutto bene, forse.

Ma ormai mi ero messo in testa di fare uno scaricatore per poter caricare più velocemente la batteria, avendo così un riferimento fisso di tensione di partenza per il controllo a tempo.

Traviato questa volta dalle cattive letture (una delle più note riviste italiane di elettronica, in un suo recente articolo su un trespole apparentemente interessante dice: « scaricatela totalmente fino a zero volt... ») volli proseguire su questa strada e dopo alcune prove di scarica a zero volt e ricarica a fattori C elevati ma per i tempi corretti, mi trovai con orrore a contemplare la curva di figura 5.

Era molto probabile che qualcosa non andasse nei singoli elementi della batteria e quindi, dopo aver con molta cautela aperta la BP9, la rimisi in carica a un fattore prudenziale di $C = 0,1$.

Il comportamento in scarica, alle solite condizioni, fu lo stesso di prima ma, al momento del flesso « A » della curva, tolto il carico volli vedere che succedeva, elemento per elemento. Tutto OK. Ma volli anche vedere che succedeva sotto carico e ne venne fuori il risultato di figura 6.



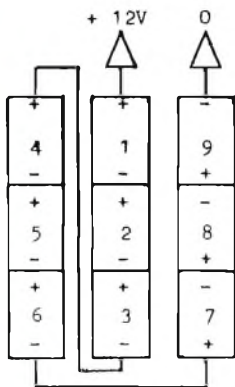
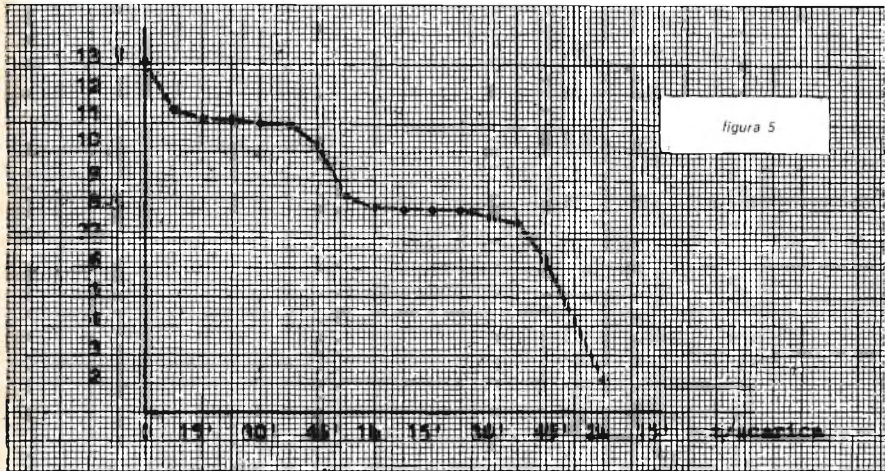


figura 6

ELEMENTI	V A VUOTO	V SOTTO SCARICA
1	+ 1,18	+ 1,16
2	+ 1,19	+ 1,16
3	+ 1,18	- 0,20
4	+ 1,21	+ 1,17
5	+ 1,20	- 0,10
6	+ 1,18	+ 1,16
7	+ 1,20	+ 1,17
8	+ 1,19	+ 1,16
9	+ 1,20	+ 1,17
	<hr/>	<hr/>
	+ 10,73	+ 7,85

Ecco l'arcano: due elementi si erano deteriorati e invertivano la polarità. Spesso si dimentica che una batteria di pile al Ni-Cad è tutta un'altra cosa di un singolo elemento: questo lo potete anche portare a zero e non invertirà mai di polarità.

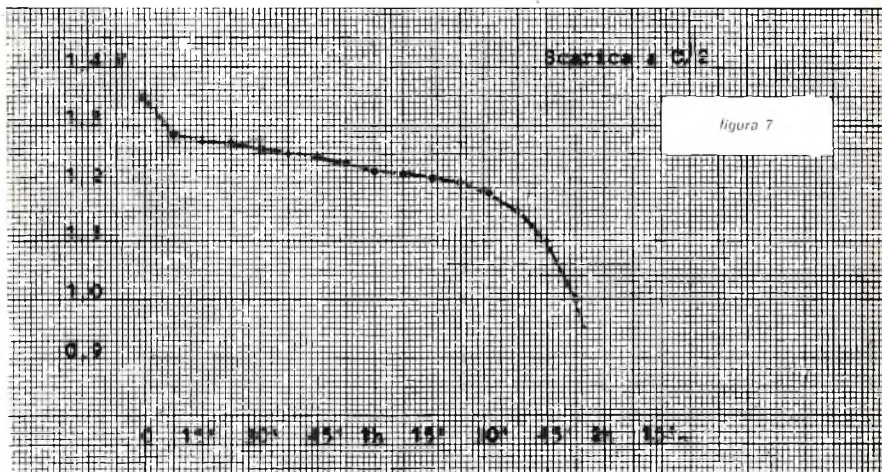
Gli elementi di una batteria NO, fra loro ce ne sarà sempre uno successivamente più debole degli altri, questo avrà una resistenza interna superiore, cederà prima la sua capacità scaricandosi e venendo caricato in senso inverso dagli altri elementi.

Nel mio caso, a quel punto, due elementi avevano invertito la loro polarità e la mia adorata Ni-Cad era morta.

Visto che gli elementi delle batterie di questo tipo sono saldati elettronicamente fra di loro e che nessuna sostituzione è possibile, tanto valeva vedere che cosa sarebbe successo proseguendo nella scarica: a poco a poco altri elementi invertivano polarità e la loro tensione inversa diveniva anche alta fin quasi al valore nominale di carica ($-1,15\text{ V}$).

Se pertanto il ragionamento può essere fatto per singoli elementi Ni-Cad, una batteria al Ni-Cad **NON DEVE MAI ESSERE SCARICATA AL DI SOTTO DI UN CERTO LIMITE**: per una batteria di nove elementi da $1,2\text{ V}$ questo limite è di $9,6\text{ V}$: vediamo perché.

Il valore minimo di carica utile di ciascun elemento è di $1,1\text{ V}$ (figura 7) e da quel punto la curva di scarica decresce ripida.



Ammesso che una batteria di tali elementi sia sana e non abbia ancora a soffrire di disturbi causati da maltrattamenti (come i miei) o dall'età (valore medio sono circa 200 cicli di carica/scarica), dal valore iniziale di piena carica si passa rapidamente al valore medio di esercizio ($1,2 \times 9 = 10,8\text{ V}$) che si protrae per un tempo tanto lungo quanto minore è il carico applicato, decrescendo poi, come si è visto, rapidamente.

Se un elemento dei nove fosse debole molto più degli altri, cederebbe per primo e la tensione passerebbe, prima della inversione di polarità di quell'elemento, da un valore medio di $10,8$ a un valore medio di $9,6\text{ V}$ (per conferma basta guardare la curva del caso a me capitato, in figura 5).

Ecco perché non conviene scendere con una siffatta batteria sotto tale valore, peraltro inferiore a quello di inizio della rapida discesa della tensione sotto scarica.

Sbagliando s'impara, e così ne è venuto fuori un marchingegno che automaticamente provvede alla scarica e alla ricarica, lenta, rapida o rapidis-

sima delle Ni-Cad **in batteria** che ora è sotto accurato test di funzionamento (grazie alla collaborazione dei lettori che mi hanno scritto, in particolare **Vittorio IZVIU** di Albosaggia (SO) e **Aldo Fontana** di Genova).

E poi, perché spendere il doppio? Conviene ricomprare un pacco BP9 della Yaesu o farselo da soli? fra l'altro una batteria « fatta in casa » ha il vantaggio di poter sostituire eventuali elementi inefficienti. La GBC vende le NCC45 BEREK prodotte in Italia dalla **SUPERPILA** che si prestano benissimo allo scopo, dotate come sono di pagliette saldabili sui due poli: è necessaria un po' di pazienza per fare lo scatolino di dimensioni identiche all'originale usando bachelite o altro materiale sottile e resistente, ma il risultato è ottimo.

Provate in comparazione con la BP9 originale danno un rendimento superiore del 10/15% e costano la metà.

BIBLIOGRAFIA

NICHEL CADMIUM ENGINEERING DATA (EVER READY '76).

NI-CAD BATT. ENGINEERING HADBOOK (GE 2° EDIZIONE).

Le "CV" inglesi, un mistero non poi tanto tale...

Gino Chelazzi

Addentriamoci ancora una volta in quel complicato regno costituito dalle valvole di fabbricazione inglese siglate CV..., dove « CV » non è, come si potrebbe pensare a prima vista, una sigla, seguita da cifre, tipicamente militare (anzi, di ciò, ebbi a narrare, per mezzo di due pubblicazioni, nel 1975, sulla rivista), ma è un denominativo corrente nella classificazione, notate bene, nella classificazione, non nella fabbricazione, delle valvole per l'uso civile e commerciale inglese.

Ciò, però, non toglie che le varie fabbriche inglesi, producendo valvole destinate anche all'uso interno, a parte la CV, abbiano adottato delle sigle così astruse (ma logicissime dal loro punto di vista), che ci fanno tornare paradossalmente in mente le differenze dei vari sistemi di misura, peso, ecc. tra quelle europee e quelle anglosassoni.

Naturalmente e logicamente per quelli che, secondo l'uso corrente, non sono addetti ai lavori (non lo sono neppure io, intendiamoci, ma da anni sto studiando, e per fortuna con molteplici e validi aiuti, questo settore delle valvole) succede che chiunque abbia preso in mano (avuto in regalo, acquistato) un apparecchio di fabbricazione inglese, e spesso anche canadese, in quanto questo popolo, anche se di varia estrazione di origini, faceva o fa parte del Commonwealth, quindi aveva o ha certe prerogative proprie dell'Inghilterra, quindi anche nel surplus aveva adottato, sebbene con maggiore qualità, secondo me, data la vicinanza degli USA, le classificazioni inglesi, specialmente nelle valvole, lasciando perdere la classificazione ZA... per il resto dei componenti, tipicamente inglesi. Dunque, avendo in mano questo surplus inglese, la prima difficoltà, in quanto molto spesso ne sono il cuore, è la decifrazione delle sigle delle valvole.

Immancabilmente sono quasi tutte contrassegnate con la CV, escludendo una buona parte di apparecchiature militari, le cui sigle delle valvole erano marcate AR..., e di questa classificazione ebbi già a parlare sulla Rivista. Adesso, se non sono marcate con la sigla AR..., che già, in base alla mia delucidazione, poteva essere un pochino comprensibile, con la sigla CV... cosa diamine sono? E so, perché è successo a molti amici OM, che spesso apparecchi dalle magnifiche prestazioni o vengono accantonati o se, mancanti di valvole, demoliti per il recupero dei materiali, cosa ardua anche questa perché, mancando uno schema, trovare i valori dei componenti non è facile, specialmente nel settore surplus inglese. Ma gli amici non sanno che in fin dei conti nel settore surplus inglese ci sono certe apparecchiature, specialmente quelle di misura (e non dirò che sigla e che tipi di apparecchi, ricordando le considerazioni che fece l'amico Bianchi circa la rivendita del surplus; eventualmente citerò apparecchi e sigla privatamente e solamente a chi me ne farà richiesta) che sono realizzate, anche tecnicamente, molto meglio di quelle USA. Penso che ci siamo cristallizzati troppo sul surplus USA il quale, è vero, è quello più facilmente reperibile, ma anche perché tale, in base alla legge della domanda, è quello che subisce la maggiore lievitazione dei prezzi. Il surplus inglese, specialmente quello di recente fabbricazione (dico recente, non recentissima) è ottimo sotto tutti i punti di vista e, in qualche caso, migliore di quello USA. E questa « chiave » del CV..., così incomprensibile a prima vista, nasconde una grande semplicità. Perché? A un certo punto, gli inglesi, non so per quale ragione, probabilmente per uniformarsi (finalmente!) ai livelli europei (non si può stare sempre chiusi nel proprio guscio!) hanno adottato le valvole USA o corrispondenti europee, però (duri fino in fondo!) mantenendo una nomenclatura CV... sopra anche questo tipo di valvole (vedi specialmente le miniature CV...). Quindi, per i non addetti ai lavori, il CV... rimaneva sempre un mistero.

Occorreva la chiave per la decifrazione di queste due benedette lettere. E' quanto ho cercato di fare io, con una ricerca che certamente ha impiegato qualche tempo, ma che, però, ha dato dei risultati concreti. Ho quindi stilato una lunga tabella in cui ho descritto da una parte la sigla di fabbricazione inglese, che, qualche volta, si può trovare, sebbene raramente, scritta sotto la CV..., la quale ha anche qualche raro riferimento alle sigle europee; nella parte centrale v'è la sigla americana delle valvole corrispondenti a quelle esatte di fabbricazione inglese, e a destra è la CV... riguardante sia la valvola americana corrispondente, che quella di fabbricazione inglese con la sigla di fabbrica.

Potremo però constatare, vedendo questa tabella, che spessissimo un tipo di valvola, sigla USA, ha diverse CV come corrispondenti. Nessuna preoccupazione, amici! Questi inglesi hanno voluto essere così precisi che hanno dato un CV differente a ogni variazione che fosse avvenuta sulla stessa valvola. Ad esempio sapevate che la CV1854 non è altri che la comunissima e mortalissima raddrizzatrice 5Y3? Ma, attenzione, questa CV si riferisce al tipo G. Se, invece, la 5Y3 è del tipo GT, allora cambia la CV e diventa CV1856! Visto il giochetto? Comunque, o se CV1854 o se CV1856, non ha importanza in quanto è sempre la stessa 5Y3, stesso zoccolo e stessi valori, eventualmente le dimensioni possono avere importanza in qualche apparecchiatura militare, di quelle super-compatte, o di posti obbligati, come spazio (vedi BC312), in cui le valvole devono essere di tipo GT obbligatoriamente. Nella distinta, quindi, le diverse CV sono riferite allo stesso tipo di valvola, riferimento USA. Nella parte sinistra, quella riferita alla sigla di fabbrica inglese, si potranno notare, in riferimento alle valvole USA, diverse, e spesso anche molte, sigle. Nessuna preoccupazione, in quanto tutte le sigle elencate sono di valvole equivalenti, una all'altra, specialmente nei collegamenti allo zoccolo. Ciò vale anche per alcune denominazioni nelle valvole USA. Unicamente, spesso, i valori elettrici delle valvole non sono identici, vi sono solamente delle lievi differenze, ma che ogni bravo OM saprà felicemente superare. L'importante è che la zoccolatura sia esatta ed equivalente, se poi l'anodica, ad esempio, ha una differenza di 5 o 10 V da una valvola all'altra, l'OM saprà come comportarsi. Quindi, riassumendo: la colonna a sinistra contiene la nomenclatura di fabbrica inglese, e le varie valvole equivalenti tra loro, la colonna al centro quelle equivalenti USA, con qualche equivalenza tra loro, e la colonna a destra le corrispondenti CV, tutte, anche se diverse, riferite a quella valvola USA elencata al centro.

Sigla commerciale inglese	Sigla americana	CV (5Y3, 6X4, 6X5, 6X6)	Sigla commerciale inglese	Sigla americana	CV	Sigla commerciale inglese	Sigla americana	CV
U52	5W4G/GT	575	KTW61	6S7G/GT	1100			
KT71	5016/3516	561 562 571 2534	OF1 CM5		1574 1975	2F41 2E42 CK551 1AR5 1FD1 2025	10N5/1U5 1AF5/1AH5/1AJ5	3912 9024
U82			5732 KTW63 W63 OM6	6K7GT	706 1195 1941 1942 1943			
U149	724/7Y4	346 901 1790 3919	U143	A231	2862	1F2	1AE4/1L4	1758 2742 2785
W149	7B7/7AG7	522	5H8C 8E5	6SN7G/GT	181 278	1F1 W25	1AJ4	5025
DH76 DL74M DH74	1207G/GT		6180 5692 6CC10 QA240B ECC32 ECC33		1988 3627 1942	5910 HY145	1U4	2507
KTW74M W76 DF5	12K7/12J7G/GT	917 918	1611 W1123 1613 822 5871 5992 7184 740B KTE3 N63	6F6/6V6G/GT	509 510 511 53 658 731 1186 1911 1912 1938 1940	1C1 9022 X17	1R5	782
X71M X76M OH4	12ABGT/12KB	703 910 3927	1013 DA90	*A3/DA90	753	1C2 X18 X20	1AC6	5172
KT33	25A6	503 549 550	1F09 2017	1S5	784	1C3 1H35 DK96 X25	1AB6	9076
U74 U76	3524GT	2500	W17	3A5 1T4	808 785 1971	1F10 N17	3S4	484 820 2370
1223 AB63 1670 6054 7000 KT263 263	6J7G/GT	657 674 1935 1936 1937				E1485	3A4	807 2300 2390
						1F11 N19	3V4	1633 2983

Sigla commerciale inglese	Sigla americana	CV
6066 DH77	6AT6	
69C32	6AT6	
69C37	6ACE/6Av6	2526 2927 9921
6FD12 7:25	6DC8	
0A240 0L77 V741 5610	EC4	133 852 2842 4022
6100 6135 L77 M8080		4058 5183
6664	6AM4	5073 572E
	6AF4/6AN4/6D24/ 6T1/6T4	3808 3989 5036 5074
X155 6RH+2	6BCR/6BK7/6BC7/ 6R5B/6B2R/6R77	5365
4W25 5B/7PCA 551 5933 8018 A1525 P17A C150 HY61 RK25 A4051 UY807 VTEGA V179 A1525 V1799 GL8D7 NU807 RU8C7	8D7	1572 174 1364 1374 2517 3809 5246
7D10	6CH6	2127 2382 4055 4056 8045 8076 9331
	6CB6/6CF6/6CC6/ 6DE6/6CK6/6P4/6676	3995 8926
7D11 12E13 7C27A K1R8	6CA7	1741 5220
7733	12BV7/12BY7A/12DC7	
EY81F	6VA	5021
421A A1834	6AS7/608C	2523 2884 5008 8216 8232 8614 10322
6C31 X61M X65 X47 WTT128	6K8	281 1347 1587 1944 1945 1946 2930 3826
E27H C610 X150	6CS/7J7	897 3888

Sigla commerciale inglese	Sigla americana	CV
	7C7/7V7	301 854 1777 2707
7F16 W150 62VP	EF41	3886
HF82 715C	FF42	1839 3887
	5899	475 477
V8121	5840	465 8039 9531 9515
DH147	EBC32/1639	1055
E2157 B739 A29C0 B152 B1C5 F81CC MB162 DA2407 OS2408 CC81E	12A17/E060/6201/ 6679	455 3508 4024 5212 5753 8154 8230 9459 10662
6C40 E2163	12AL7/584/1563	491 390C
B745 B329 E82CC MF136		4002 4003 401E 4032 5146 8155 8021 9092 10323 1066E
6113 E2164 B339 E283CC MB137	12AX7/12R7/5751/ 6057	492 4017 8156 8222 8312 10319
6116 B319	6CW7	5281
6CC43 R117 R179	6A08	
CC86E	6CM8/6463	5394
	6DJB	5358
6CC31 6MH+3 72MC5 M8081	6J66/GT	858 2843 4031 5046 8160 8231
7316	ECC186	
6D99	6ES8	5331 9838
6C16	6AXB/6BL8/6PL8	5215 10726
	18D3	5948
6C12 6CH40 2FD4 X719	6AJ8	2128
E37P LN152 6PL12	6AB8	10740
	6BM8/EHES	9167
	6GW8	8297
806 2152	6RW7/6BX6/EP6	1376 5092

Sigla commerciale inglese	Sigla americana	CV
N18	304	818
3E5 1P1 N25	3C4	2361
HD30	3B4	224C
DM70 Y25	1M3	2980
IRK23 DY86	1AX2/1H2/1S2	
	1R10	10761
	1S4	7A1
HD93 R19 1B2	1R6/1R9/1X2	9032 5427
OF4C8	AD4	2237 4094
CX571	58RE	495
DCF60	1V6	
Z14	1NS/1PS/G/GT	1821 1823
OL70C	6157 1R3/1G3/1L3/ 1K3/1N2	541 1830
0AC32 HD14	1H5E1	1818 1820
	6SL7G/GT	5691 5755 6113 6188 420A
X63 PH4	6A8	578 579 580 3H25
X64	6L7	654 1280 1950 1951
ER8CC	6922	2482 2493 5231 5472 8065 10320
6765 6661 7693 E90F	6RHE	3908
	6BJ6	3909
6B32 ED2 O2M9 P717 A251E ED2 D27 D06 OS7404 DM559 572E 6058 6097 6663 D77 D152 E97AA M8079 MB212 QA2404	6ALS/6EE5	140 283 2882 4007 4025 5189 8021 8200 8224 8311 10324 10328
6C131 6LC12 DH719	6AK8/6T8	

Sigla commerciale inglese	Sigla americana	CV	Sigla commerciale inglese	Sigla americana	CV	Sigla commerciale inglese	Sigla americana	CV
2719 645PT		5R17	X143	ECH21/ECH71	5R15	K761 N147	EL33/6X6G/GT	1438 1853 2938
6F19 6F26 W719	EBY7	1375	6H31 5750 5760 EN90 X771 X727 HM04	6BE6 4012 5895 8207 8227 8748 10496			6CM5	2940
6F22 8C8 M8195 HP6 2729	6CF8	2901 4085 8058 8C81 10C98	6L40 7189 6D15 3539 4C14 8020 N709	6CX6 2726 5093		1222 LE14 5811 5037 WTE 7C27 7581 KTR6 N66 PFR0	6L5G/GT	586 882 1286 1947 1948 2714 2796 2817 3618 3899 5118 5306
6F11 6F12 PM07 8D3 Q277 5A/160K 5A/160K 6024 6054 R144 RS1025 SP6 7458 M8083 277	6DA6 6AM6	5156 138 19C1 3539 4C14 8020 8732 10327	6L31 6P9 6005 6094 6095 6096 6669 6699 6928 N727 EPM04 M8245	6B05 2975 5451 8089 10321		5F29	EL36/6CM5	450 2888 8038
6F21 9D6 6065 M8151 W77 QA2400 CW77 V884 V177 E2016 VP6	EF92	131 4015 8017	6F17 7D9 V886 N47 N77 DD7 N144 DDR7	6AM5 136 4063 8018		6F61 67PT N15C 6F62 N151	6CK5 EL42	3889 3890
6F31 PM04 5749 6660 W727	6BA6/6BD6/6DG6	454 4009 5037 8202 10492	6F17 7D9 V886 N47 N77 DD7 N144 DDR7	6AM5 136 4063 8018		1274 5838 5852 U70 U-47 WT308	6X5GT	577 573 574 3943
6T11 6T21 6E78 7731	6C08/6EAB/6GH8/ 6KDB/6LMB/6UB	6065 9858	6F17 7D9 V886 N47 N77 DD7 N144 DDR7	6AM5 136 4063 8018		E6K1 U150 U718 MU14 U1U9	E240/6RT4	1855 3891
6P2 6136 7543	6AU6	2524 2890 4073 5896 8210 8246 8249 8403 9843	6F17 7D9 V886 N47 N77 DD7 N144 DDR7	6AM5 136 4063 8018		20A3 AS0512 5727 5757 E91N EN91 M8204 P121 WT606	2C21	797 4018 6158 10665
6311 401A 5590 6185 6186	6AC5/6BA8/6BC5/ 6CF5	846	6F17 7D9 V886 N47 N77 DD7 N144 DDR7	6AM5 136 4063 8018		6F61 67PT N15C 6F62 N151	6CK5 EL42	3889 3890
6F29 6F30 5A/170K	6EH7 6EJ7 6E88A	5831 5810 3998	6F17 7D9 V886 N47 N77 DD7 N144 DDR7	6AM5 136 4063 8018		6F61 67PT N15C 6F62 N151	6CK5 EL42	3889 3890
6F32V 403A 403B 7-4A 1385HO 5501 731A 55E5 56C8 5554 GM557 6069 6968 DP6 DM05 E95F M8100 MR180	6AK5	116 2877 4010 5216 58C3 8159 8225 10100 1C442	6F17 7D9 V886 N47 N77 DD7 N144 DDR7	6AM5 136 4063 8018		6F61 67PT N15C 6F62 N151	6CK5 EL42	3889 3890
	6FD6	8694	6F17 7D9 V886 N47 N77 DD7 N144 DDR7	6AM5 136 4063 8018		6F61 67PT N15C 6F62 N151	6CK5 EL42	3889 3890
	6EH7	5831	6F17 7D9 V886 N47 N77 DD7 N144 DDR7	6AM5 136 4063 8018		6F61 67PT N15C 6F62 N151	6CK5 EL42	3889 3890
	6EJ7	5810	6F17 7D9 V886 N47 N77 DD7 N144 DDR7	6AM5 136 4063 8018		6F61 67PT N15C 6F62 N151	6CK5 EL42	3889 3890
	6E88A	3998	6F17 7D9 V886 N47 N77 DD7 N144 DDR7	6AM5 136 4063 8018		6F61 67PT N15C 6F62 N151	6CK5 EL42	3889 3890
	6AK5	116 2877 4010 5216 58C3 8159 8225 10100 1C442	6F17 7D9 V886 N47 N77 DD7 N144 DDR7	6AM5 136 4063 8018		6F61 67PT N15C 6F62 N151	6CK5 EL42	3889 3890
	6FD6	8694	6F17 7D9 V886 N47 N77 DD7 N144 DDR7	6AM5 136 4063 8018		6F61 67PT N15C 6F62 N151	6CK5 EL42	3889 3890
	6EH7	5831	6F17 7D9 V886 N47 N77 DD7 N144 DDR7	6AM5 136 4063 8018		6F61 67PT N15C 6F62 N151	6CK5 EL42	3889 3890
	6EJ7	5810	6F17 7D9 V886 N47 N77 DD7 N144 DDR7	6AM5 136 4063 8018		6F61 67PT N15C 6F62 N151	6CK5 EL42	3889 3890
	6E88A	3998	6F17 7D9 V886 N47 N77 DD7 N144 DDR7	6AM5 136 4063 8018		6F61 67PT N15C 6F62 N151	6CK5 EL42	3889 3890
	6AK5	116 2877 4010 5216 58C3 8159 8225 10100 1C442	6F17 7D9 V886 N47 N77 DD7 N144 DDR7	6AM5 136 4063 8018		6F61 67PT N15C 6F62 N151	6CK5 EL42	3889 3890
	6FD6	8694	6F17 7D9 V886 N47 N77 DD7 N144 DDR7	6AM5 136 4063 8018		6F61 67PT N15C 6F62 N151	6CK5 EL42	3889 3890
	6EH7	5831	6F17 7D9 V886 N47 N77 DD7 N144 DDR7	6AM5 136 4063 8018		6F61 67PT N15C 6F62 N151	6CK5 EL42	3889 3890
	6EJ7	5810	6F17 7D9 V886 N47 N77 DD7 N144 DDR7	6AM5 136 4063 8018		6F61 67PT N15C 6F62 N151	6CK5 EL42	3889 3890
	6E88A	3998	6F17 7D9 V886 N47 N77 DD7 N144 DDR7	6AM5 136 4063 8018		6F61 67PT N15C 6F62 N151	6CK5 EL42	3889 3890
	6AK5	116 2877 4010 5216 58C3 8159 8225 10100 1C442	6F17 7D9 V886 N47 N77 DD7 N144 DDR7	6AM5 136 4063 8018		6F61 67PT N15C 6F62 N151	6CK5 EL42	3889 3890
	6FD6	8694	6F17 7D9 V886 N47 N77 DD7 N144 DDR7	6AM5 136 4063 8018		6F61 67PT N15C 6F62 N151	6CK5 EL42	3889 3890
	6EH7	5831	6F17 7D9 V886 N47 N77 DD7 N144 DDR7	6AM5 136 4063 8018		6F61 67PT N15C 6F62 N151	6CK5 EL42	3889 3890
	6EJ7	5810	6F17 7D9 V886 N47 N77 DD7 N144 DDR7	6AM5 136 4063 8018		6F61 67PT N15C 6F62 N151	6CK5 EL42	3889 3890
	6E88A	3998	6F17 7D9 V886 N47 N77 DD7 N144 DDR7	6AM5 136 4063 8018		6F61 67PT N15C 6F62 N151	6CK5 EL42	3889 3890
	6AK5	116 2877 4010 5216 58C3 8159 8225 10100 1C442	6F17 7D9 V886 N47 N77 DD7 N144 DDR7	6AM5 136 4063 8018		6F61 67PT N15C 6F62 N151	6CK5 EL42	3889 3890
	6FD6	8694	6F17 7D9 V886 N47 N77 DD7 N144 DDR7	6AM5 136 4063 8018		6F61 67PT N15C 6F62 N151	6CK5 EL42	3889 3890
	6EH7	5831	6F17 7D9 V886 N47 N77 DD7 N144 DDR7	6AM5 136 4063 8018		6F61 67PT N15C 6F62 N151	6CK5 EL42	3889 3890
	6EJ7	5810	6F17 7D9 V886 N47 N77 DD7 N144 DDR7	6AM5 136 4063 8018		6F61 67PT N15C 6F62 N151	6CK5 EL42	3889 3890
	6E88A	3998	6F17 7D9 V886 N47 N77 DD7 N144 DDR7	6AM5 136 4063 8018		6F61 67PT N15C 6F62 N151	6CK5 EL42	3889 3890
	6AK5	116 2877 4010 5216 58C3 8159 8225 10100 1C442	6F17 7D9 V886 N47 N77 DD7 N144 DDR7	6AM5 136 4063 8018		6F61 67PT N15C 6F62 N151	6CK5 EL42	3889 3890
	6FD6	8694	6F17 7D9 V886 N47 N77 DD7 N144 DDR7	6AM5 136 4063 8018		6F61 67PT N15C 6F62 N151	6CK5 EL42	3889 3890
	6EH7	5831	6F17 7D9 V886 N47 N77 DD7 N144 DDR7	6AM5 136 4063 8018		6F61 67PT N15C 6F62 N151	6CK5 EL42	3889 3890
	6EJ7	5810	6F17 7D9 V886 N47 N77 DD7 N144 DDR7	6AM5 136 4063 8018		6F61 67PT N15C 6F62 N151	6CK5 EL42	3889 3890
	6E88A	3998	6F17 7D9 V886 N47 N77 DD7 N144 DDR7	6AM5 136 4063 8018		6F61 67PT N15C 6F62 N151	6CK5 EL42	3889 3890
	6AK5	116 2877 4010 5216 58C3 8159 8225 10100 1C442	6F17 7D9 V886 N47 N77 DD7 N144 DDR7	6AM5 136 4063 8018		6F61 67PT N15C 6F62 N151	6CK5 EL42	3889 3890
	6FD6	8694	6F17 7D9 V886 N47 N77 DD7 N144 DDR7	6AM5 136 4063 8018		6F61 67PT N15C 6F62 N151	6CK5 EL42	3889 3890
	6EH7	5831	6F17 7D9 V886 N47 N77 DD7 N144 DDR7	6AM5 136 4063 8018		6F61 67PT N15C 6F62 N151	6CK5 EL42	3889 3890
	6EJ7	5810	6F17 7D9 V886 N47 N77 DD7 N144 DDR7	6AM5 136 4063 8018		6F61 67PT N15C 6F62 N151	6CK5 EL42	3889 3890
	6E88A	3998	6F17 7D9 V886 N47 N77 DD7 N144 DDR7	6AM5 136 4063 8018		6F61 67PT N15C 6F62 N151	6CK5 EL42	3889 3890
	6AK5	116 2877 4010 5216 58C3 8159 8225 10100 1C442	6F17 7D9 V886 N47 N77 DD7 N144 DDR7	6AM5 136 4063 8018		6F61 67PT N15C 6F62 N151	6CK5 EL42	3889 3890
	6FD6	8694	6F17 7D9 V886 N47 N77 DD7 N144 DDR7	6AM5 136 4063 8018		6F61 67PT N15C 6F62 N151	6CK5 EL42	3889 3890
	6EH7	5831	6F17 7D9 V886 N47 N77 DD7 N144 DDR7	6AM5 136 4063 8018		6F61 67PT N15C 6F62 N151	6CK5 EL42	3889 3890
	6EJ7	5810	6F17 7D9 V886 N47 N77 DD7 N144 DDR7	6AM5 136 4063 8018		6F61 67PT N15C 6F62 N151	6CK5 EL42	3889 3890
	6E88A	3998	6F17 7D9 V886 N47 N77 DD7 N144 DDR7	6AM5 136 4063 8018		6F61 67PT N15C 6F62 N151	6CK5 EL42	3889 3890
	6AK5	116 2877 4010 5216 58C3 8159 8225 10100 1C442	6F17 7D9 V886 N47 N77 DD7 N144 DDR7	6AM5 136 4063 8018		6F61 67PT N15C 6F62 N151	6CK5 EL42	3889 3890
	6FD6	8694	6F17 7D9 V886 N47 N77 DD7 N144 DDR7	6AM5 136 4063 8018		6F61 67PT N15C 6F62 N151	6CK5 EL42	3889 3890
	6EH7	5831	6F17 7D9 V886 N47 N77 DD7 N144 DDR7	6AM5 136 4063 8018		6F61 67PT N15C 6F62 N151	6CK5 EL42	3889 3890
	6EJ7	5810	6F17 7D9 V886 N47 N77 DD7 N144 DDR7	6AM5 136 4063 8018		6F61 67PT N15C 6F62 N151	6CK5 EL42	3889 3890
	6E88A	3998	6F17 7D9 V886 N47 N77 DD7 N144 DDR7	6AM5 136 4063 8018		6F61 67PT N15C 6F62 N151	6CK5 EL42	3889 3890
	6AK5	116 2877 4010 5216 58C3 8159 8225 10100 1C442	6F17 7D9 V886 N47 N77 DD7 N144 DDR7	6AM5 136 4063 8018		6F61 67PT N15C 6F62 N151	6CK5 EL42	3889 3890
	6FD6	8694	6F17 7D9 V886 N47 N77 DD7 N144 DDR7	6AM5 136 4063 8018		6F61 67PT N15C 6F62 N151	6CK5 EL42	3889 3890
	6EH7	5831	6F17 7D9 V886 N47 N77 DD7 N144 DDR7	6AM5 136 4063 8018		6F61 67PT N15C 6F62 N151	6CK5 EL42	3889 3890
	6EJ7	5810	6F17 7D9 V886 N47 N77 DD7 N144 DDR7	6AM5 136 4063 8018		6F61 67PT N15C 6F62 N151	6CK5 EL42	3889 3890
	6E88A	3998	6F17 7D9 V886 N47 N77 DD7 N144 DDR7	6AM5 136 4063 8018		6F61 67PT N15C 6F62 N151	6CK5 EL42	3889 3890
	6AK5	116 2877 4010 5216 58C3 8159 8225 10100 1C442	6F17 7D9 V886 N47 N77 DD7 N144 DDR7	6AM5 136 4063 8018		6F61 67PT N15C 6F62 N151	6CK5 EL42	3889 3890
	6FD6	8694	6F17 7D9 V886 N47 N77 DD7 N144 DDR7	6AM5 136 4063 8018		6F61 67PT N15C 6F62 N151	6CK5 EL42	3889 3890
	6EH7	5831	6F17 7D9 V886 N47 N77 DD7 N144 DDR7	6AM5 136 4063 8018		6F61 67PT N15C 6F62 N151	6CK5 EL42	3889 3890
	6EJ7	5810	6F17 7D9 V886 N47 N77 DD7 N144 DDR7	6AM5 136 4063 8018		6F61 67PT N15C 6F62 N151	6CK5 EL42	3889 3890
	6E88A	3998	6F17					

Sigla commerciale inglese	Sigla americana	CV	Sigla commerciale inglese	Sigla americana	CV	Sigla commerciale inglese	Sigla americana	CV	
8D7	6BS7	5086	E1C NA2 955	9002	664 1059		PY88/30AE3	10460	
H63	6F5	715 1073 1908 1909 1910		6R7	1962 1963 1964 2912		10F9		
DH149	7C6	887					UL41/45A5	1977	
1273 W81 W143 W148	7A7/7H7	877 895		6B8	501 1893 1854		BF451 451PT N142		
N78 2003	6B15 12AH8	3711 5311	R52 52KU	524	1863 2748		XAA91 XB91	3AL5	
6105 6004 60R7 6106 6853 R52 U50 WTT102	5Y3/G/GT	1268 1854 1856 4027	274 54KU 53KU 54KU R52	5V4G/GT	285 593 729 1864		XC95	2ER5/2FH5/2F05/ 2CK5	
C14FM CRM144	7204		U52	5AR4/5AW4/5T4/5W4	842 1071 1377 1846 1849		XCC82	7AU7	
20Y40 6134 U751 U329	PY83	5259	U118 U142 U145 U404 3115U V311 V312	UY41/31A3			4R-HH8 XCC189	4ES8	
1649 1852	6AC7	660 747 849 3924 3973 554	9TP9	12A16			XF94 XL86 XY88	3AU6 8CW5 16A03	
OM3 W71103 W7261 D63	6H6	1054 1301 1929 1930 1931	12B08 HCH81	12A18			5RHPI XCF80	4BL8	
30C18	7CV7		12B06/12B06/12B26/ 12E4		1928		XF184 X184	3EJ7 8B05	
7CC40 B139 30L1	7AN7	5192	12ET1	12AU6/12AW6	1961		XCF82	5CM8/5C08/5GH8/ 5EAB/5GH8/5UB	
30C1 L2319 L2329	7DJ8	10403	1423	50C5 12X4	1959 927		12BB14 X150	13GB5	
30C1 L2319 L2329	9A8/9EA8	8433	5210 5931 2748 WTT135 HS2 G231	5A54/5AU4/5R4/ 5U4/5V3	575 717 841 2835 4026 5181 5477 8189 8704 10330		X118 X145	10C1	
30PL12 LN369 N369	9UB	9934 10782	PL36	25F7/25E5	10341		150C3 G160/30 OS150/40 KD25	0D3/VR150	216 585 3979 8152
21L40 N152 N339 N359 213pen	18GV8/18TP11	10707	LC97 YCS5	3ER5/3FH5/3GK5			111A31 150C2 150C4 MB273 OS1210 SR156 STR150/30 H051 150C1 AG2511 5R55 G150/4K OS1207	6073/0A2	1832 4020 4100 8161 10664
16L40 30P16 N154 N329 163pen	21A6	5077	805 6059	68R7	2135 4006 8047 8070		6045 7561 KT32	25L6G1/25W6G1	551 552 553 1287
N153 N309	15A6	10710	6158	1303	2212 4066 8060 10325		108C1 OS1211 SR55 STR108/30 H052 G108/1K MB224 OS1208	6074/0B2	8162 1833 4028 4101
30P18 N378 N379	15CW5		KL35	1F5/1L5	768		YCC189 LCC189	5FS8	
PL500 PL540	27GB5	10725 10955		607/G/GT	587 588 589 1887		LCL84 YCL84 LCL200	100X8	
U250 A61 U153	17R7/17Z3	10724	B36	12SN7/12SX7	975 3657		YL84	10B05	
U154 U192 U319	19R3/19Y3		WTT129 W1390 7193 L63	6C5/6J5	581 582 583 860 861 1067 1932 1933 1934		LL86 YL86	10CW5	
							LF183 YF183	4EH7	
							LF184 YF184	4EJ7	
							ELL80	6HU8 2C40 2C39	9196 1643 3940 8207

Le - CV - inglesi, un mistero non poi tanto tale...

Sigla commerciale inglese	Sigla americana	CV	Sigla commerciale inglese	Sigla americana	CV	Sigla commerciale inglese	Sigla americana	CV	
ABC91	12A5/12V6	525 526		25A7	937 948				
XXL	7A4/7B4	879 1770 1790	24A	35	487 1752		6U6/6Y6	515	
	6CM8	9837		2A6	1769 2537		6AU7/6AX7	9856 5052	
1294	748 1B8/108 1R4	878 1811 1709		27/56	611 944	2C52	12SL7G1	924	
1	673	1999		57/58	612 613	4CX250F QEL2/275H	7204		
1V AD				37/67	606 615	AB13 CB2/250 SC/100A 3874A C143 NU813 OY2-100 WL813 TT10 1H813 TB13	813	26	
	2E3	2517	1230	30/31	604 947	4CX250R YL1170	7580		
W1245 W1210-0003 25B5 XXD 1635 W1125	605/8B4	647 1815 2514 930 972		53	2535				
	6N7	1956 1957 1958		12SA7/12SY7	537 538 3668				
1288 1292 1291	3B7	811		6SK7/6SS7	1981 1982		833A		
1634	12SC7	540 3938	CX1003 WTT114	024			C1106 NU1106	6A26	
1657 1665 W1210-0004 WL630/A W1246 BA 2 12RL13	2051/2050	1798 2565	WTT130 WTT124 2B22 00E04/20	666 7K7 832A		2B9H AX9903 C178/A 00F06-40 00V06-40/A RS1009 41 P2-408 C144 GLR25B 00V07-40 RS1009 SRS4451	829B	2797 2666	
	12AV7/12A27	5843 10175	2B46 0E05/40 0V06-20 4-125A 4D21A DB3/300GA ML 4-125A QY3 125A QY3 125B TT15	6146 6155	3523 2963		AX9907R CR1100 OBL5/3500 OY5 3000A ACS4	6076	5219
	6AX5	873 8280	4-250A 5D22 0R3 5/750GA SF22 M4-250A		6156	2964			
	7AF7/7F7/7N7	893 898	0B3/300 C1108 O160-1 OY3-125 135M 3861B AX4 125A QV1 150A RS685 RS1007 SRS455	6155/7034	2130 2519		AX9906 TBW12/100 TY12-50W	6077	
	7C4	2705 2706					AX9906R TBL12/100 TY12-50A	6078	
	5X4G/GT 5Y+G/GT	1851 1852 1857					AX9908 OBS/1750 OY5-500 RS687 SRS457	6079	3522
	6F7	1776							
	12SG7/12SH7/12SJ7/ 12SK7	543 544 694 697 698 927 932 3651							

Mi auguro sinceramente di avere offerto la « chiave » per la decifrazione fino ad ora « cosa oscura », delle CV inglesi, cosa veramente utile, e di poter finalmente utilizzare complessi e apparecchiature inglesi, spesso di pregio. Ad ogni eventualità, per chiarimenti, come anche per il reperimento di schemi relativi ad apparecchiature inglesi, sono sempre a disposizione. Cordialità a tutti dal vostro

*Gino Chelazzi
via Scipione Ammirato 53
50136 FIRENZE*

la sostituzione **ECG** dei semiconduttori

15MKL, Luciano Macri

Uno dei problemi affrontati dai riparatori radio-TV consiste nella sostituzione di transistori, circuiti integrati e altri componenti attivi la cui reperibilità è difficoltosa.

In questi casi si consultano tabelle di intercambiabilità, di equivalenze, ma spesso con scarsi risultati.

La sostituzione di un transistor preamplificatore audio non costituisce un problema, così come quella di una coppia di transistori finali BF capaci di fornire 1 W di potenza.

Quando si dovrà procedere alla sostituzione di transistori di tipo particolare o dalla sigla stranissima le difficoltà aumenteranno, e ancora di più per i circuiti integrati.

Da diversi anni esiste la possibilità di ricorrere alla Sylvania. Questa Ditta distribuisce circa 10.000 componenti che possono sostituire 100.000 tipi almeno di diodi, transistori, circuiti integrati, SCR, triac, varistors, etc.

Anche io mi servo spesso di questa opportunità, ad esempio due mesi fa ho dovuto sostituire un circuito integrato regolatore di tensione (Motorola MFC6030) che risultava non reperibile in commercio.

Una rapida consultazione della guida della Sylvania mi dava la possibilità di reperirlo come ECG763.

Il costo era naturalmente superiore, ma la qualità dei prodotti è ineccepibile.

Assieme al circuito integrato viene fornito un Data Sheet completo ed eventuali connessioni differenti rispetto al componente da sostituire.

Il libro della Sylvania « Master Replacement Guide » fornisce i principali dati dei suoi transistori, SCR, etc. (figura 1).

Transistors (cont'd)

ECG Type	Description and Application	Collector To Base Volt BV _{CBO}	Collector To Emitter Volt BV _{CEO}	Base to Emitter Volt BV _{EB0}	Max. Collector Current I _C (Amps)	Max. Collector Diss. P _D Watts	Freq. In MHz f _i	Typical Current Gain h _{FE}	Package and Basing	
									Case	Fig. No.
ECG197	PNP-Si, AF Pow Output (Comp to ECG196)	90	80 (CER)	5	2	50 (TC 25°C) 1.8 (TA 25°C)	800	20 min	TO-220	9
ECG198	NPN-Si, HV AF, Sw	500	500 (CES)	5	1	40 (TC 25°C) 2 (TA 25°C)	20	80	TO-220	9
ECG199	NPN-Si, Lo-Noise, Hi-Gain Pre-Amp	70	50	5	.100	.360 (TA 25°C)	90 min	400 min	TO-98	5*
ECG210	NPN-Si, AF Output, Sw (Comp to ECG211)	75	75	5	1	6.25 (TC 25°C) 1.33 (TA 50°C)	200	120 min	X-51	15
ECG211	PNP-Si, AF Output, Sw (Comp to ECG210)	75	75	5	1	6.25 (TC 25°C) 1.33 (TA 50°C)	200	120 min	X-51	15
ECG213	PNP-Ge, Hi Current/Pwr	75	65	40	30	170 (TC 25°C)	.270	80	TO-36	3
ECG218	PNP-Si, AF Pow Output	90	80	7	3	25 (TC 25°C)	3 min	20 min	TO-66	7
ECG219	PNP-Si, AF Output, Sw (Comp to ECG150)	100	70 (CER)	7	15	150 (TC 25°C)	4 min	20 min	TO-3	2
ECG223	NPN-Si, AF Output, Sw	70	50	5	8	83 (TC 25°C)	3	20 min	M5-9	20
ECG224	NPN-Si, Final RF Pow Output, CB (P ₀ 4 W, 50 MHz)	60	60 (CEV)	2.5	2	10 (TC 25°C)	200	60	MD-34	21
ECG225	NPN-Si, AF, Video & Sw	450	350	7	1	10 (TC 25°C)	15	40 min	MD-34	21
ECG226 ECG226M*	PNP-Ge, AF Pow Output	35	35 (CER)	6	2	12 (TC 25°C)	.450	125	Mod TO-66	22
ECG228A	NPN-Si, Hi-Speed Sw Lin Amp, AF/Video Output	450	350	7	1	10 (TC 25°C) 1.75 (TA 25°C)	15	40	Mod X-51	27
ECG229	NPN-Si, VHF Osc, Mix, IF Amp	40	40	4	50 mA	.425	600	30 min	TO-52	19
ECG232	PNP-Si, Darlington Amp	30	30	8	.300	.625	175	50,000	TO-92	19
ECG233	NPN-Si, Final Video IF	30	30	3	.100	.625	300	45	TO-92	19
ECG234	PNP-Si, Lo-Noise, Hi-Gain AF Pre-Amp	60	50	5	50 mA	.200	80 min	400 min	TO-92	19
ECG235	NPN-Si, Final kF Pow Output (P ₀ 5 W, 50 MHz)	65	65 (CER)	4	3 pulse	12	200 min	40 min	TO-220	9
ECG236	NPN-Si, Final RF Pow Output (P ₀ 13 W, 50 MHz, 558)	70	70 (CER)	4	8 pulse	25	100	20 min	TO-220	9
ECG237	NPN-Si, Final RF Pow Output, CB (P ₀ 3 W, 27 MHz)	80	40	5	3	10	150 min	10 min	MD-32	26
ECG238	NPN-Si, Horizontal Output	1500	1500 (CER)	5	7	50	--	20	TO-3	2
ECG241	NPN-Si, AF Pow, Sw (Comp to ECG242)	70	70	5	4	60	2	25 min	X-104	24*
ECG242	PNP-Si, AF Pow, Sw (Comp to ECG241)	70	70	5	4	60	2	25 min	X-104	24*
ECG277	NPN-Si, TV Horizontal Output	1100	1100 (CES)	6	1	40	5 min	30 min	MD-17	8
ECG278	NPN-Si, Broad Band RF Amp, CATV/COMM/MA1V	40	30	4	.400	3.3	1200 min	30 min	TO-39	10

VHF Marine FM 156-162 MHz






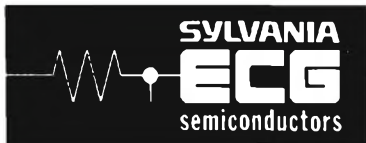
ECG340	NPN-Si, Driver/PO	0.6	.05	13.5	175	30	
ECG341	NPN-Si, Driver/PO	4	.25	12.5	175	37	
ECG342	NPN-Si, PO	7	.6	13.5	175	41	
ECG343	NPN-Si, PO	14	2.5	13.5	175	41	
ECG344	NPN-Si, PO	30	6	13.5	175	42	
ECG345	NPN-Si, PO	30	3.8	13.6	160	25	

Figura 1



**ECG762 ECG763
ECG764 ECG765
MONOLITHIC
VOLTAGE REGULATORS**

This series of voltage regulators is designed to deliver load currents to 200 mA dc. Output current capability can be increased to several amperes through the use of external pass transistors. These devices are industrial quality regulators intended for consumer applications requiring high volume and low cost.

- Excellent Line and Load Regulation
- Current-Limit Feature Available
- Economical Six-Lead Package

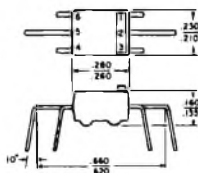
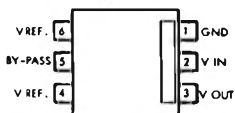


Figure 1 - Typical Current Connection and Test Circuit

Figure 3 - Circuit Schematic

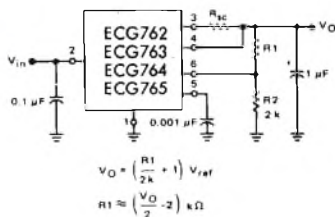


Figure 2 - 15-Volt, 1.0-Ampere Regulator (with short-circuit protection)

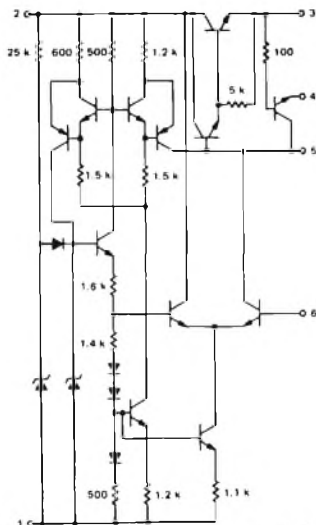
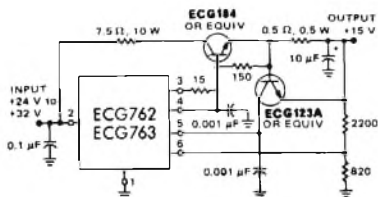


figura 2

Maximum Ratings ($T_A = +25^\circ\text{C}$ unless otherwise noted).

Rating	Symbol	Value	Unit
Input Voltage ECG762, ECG763 ECG764, ECG765	V_{in}	38 22	Vdc
Maximum Load Current	I_L	200	mAdc
Power Dissipation (Package Limitation) Derate above $T_A = +25^\circ\text{C}$	P_D	10 10	Watt mW/°C
Operating Temperature Range (Ambient)	T_A	-10 to +75	°C
Storage Temperature Range	T_{stg}	-65 to +150	°C

Electrical Characteristics ($V_{in} = +12\text{ Vdc}$, $V_O = +5.0\text{ Vdc}$, $I_L = 1.0\text{ mAdc}$, $R_{sc} = 0$,
 $T_A = +25^\circ\text{C}$ unless otherwise noted.)

(See Figure 1)

Characteristic	Symbol	ECG762			ECG763			ECG764			ECG765			Unit
		Min	Typ	Max	Min	Typ	Max	Min	Typ	Max	Min	Typ	Max	
Input Voltage Range	V_{in}	9.0	-	38	9.0	-	38	9.0	-	22	9.0	-	22	Vdc
Output Voltage Range	V_O	V_{Ref}	-	35	V_{Ref}	-	35	V_{Ref}	-	19	V_{Ref}	-	19	Vdc
Input-Output Voltage Differential	$V_{in} - V_O$	3.0	-	-	3.0	-	-	3.0	-	-	3.0	-	-	Vdc
Reference Voltage ($R_1 = 0$)	V_{ref}	3.75	4.1	4.35	3.6	4.1	4.6	3.75	4.1	4.35	3.6	4.1	4.6	Vdc
Standby Current Drain ($I_L = 0$, $V_{in} = 20\text{ V}$)	I_{IB}	-	3.7	6.0	-	3.7	7.0	-	3.7	6.0	-	3.7	7.0	mAdc
Average Temperature Coefficient of Output Voltage ($T_A = -10$ to $+75^\circ\text{C}$)	TCVO	-	0.003	0.03	-	0.003	0.03	-	0.003	0.03	-	0.003	0.03	%/°C
Line Reg ($V_O = 7.5\text{ V}$ ($12\text{ V} < V_{in} < 18$) ($12\text{ V} < V_{in} < 30$)	Reg _{in}	-	-	-	-	-	-	-	0.01	0.03	-	-	0.06	%/V _{in}
Load Regulation ($1.0\text{ mA} < I_L < 50\text{ mA}$)	Reg _L	-	0.03	0.2	-	-	0.4	-	0.03	0.2	-	-	0.4	%/V _O
Short-Circuit Current Limit ($R_{sc} = 100\text{ ohms}$, $V_O = 0$)	I_{sc}	-	6.5	-	-	6.5	-	-	6.5	-	-	6.5	-	mAdc

Symbols conform to JEDEC Engineering Bulletin No. 1 when applicable.

$$\text{LINE REGULATION} = \frac{\Delta V_O}{\Delta V_{in}} \times 100 = \% / V_{in} \times 100$$

$$\text{LOAD REGULATION} = \frac{\Delta V_O}{V_O} \times 100 = \% - \frac{\Delta V_O}{V_O} \times 100$$

$$\text{SHORT-CIRCUIT CURRENT} = \frac{V_{BE}}{R_{sc}} \approx \frac{0.65 \text{ (at } T_J = +25^\circ\text{C)}}{100 \text{ ohms}}$$

figura 3

Nel caso dei circuiti integrati esiste un altro libro con i relativi Data Sheet completi (figure 2 e 3).

Questo libro è di ausilio anche per la riparazione di circuiti impieganti integrati dei quali non possediamo lo schema elettrico.

In Italia la Sylvania ECG è distribuita dalla Giant Electronic (Brand), viale Gramsci 15, Firenze.

I due libri sono reperibili a un prezzo che si aggira sulle 10.000 lire.

Questi componenti sono reperibili in tutte le filiali GBC.

gli zener

non servono

solo a dare tensioni stabilizzate

IODP, Corradino Di Pietro

Dopo molti anni di permanenza in HF, sono recentemente passato in VHF, il che mi ha permesso di collegare soprattutto OM italiani.

Si è parlato anche di riviste di elettronica e numerosi OM mi hanno chiesto di scrivere qualcosa di « Basic Radio ».

Dapprima la cosa mi ha alquanto sorpreso, dato che ci sono tanti libri che trattano dei fondamenti di elettronica, poi mi si è precisato che si volevano articoli di carattere sperimentale, cioè mi si chiedeva di spiegare un componente o un circuito mediante esperimenti ed esempi numerici.

Effettivamente molti testi non danno molto spazio alla sperimentazione e al calcolo, forse per limitare il numero delle pagine data la vastità dei componenti e dei circuiti di elettronica. D'altra parte, per molte persone — incluso il sottoscritto — la parte sperimentale e relativo calcolo sono essenziali per « fissare » l'argomento in modo definitivo. A molti sarà successo di leggere e capire un argomento ma di averlo presto dimenticato per non averlo ben fissato nella memoria mediante esperimento e calcolo numerico.

*Su cq ho già iniziato il programma **RADIANTISMO** che vuole rispondere a queste esigenze; ho scelto gli zener come articolo per **XELECTRON « componenti »** perché gli zener interessano non solo gli OM, bastano semplici apparecchi per la sperimentazione, e i calcoli richiedono nozioni matematiche non astruse.*

Cosa ci serve per « lavorare »

Innanzitutto un alimentatore con tensione variabile di uscita: questo è un aggeggio praticamente indispensabile per lo sperimentatore.

Il fatto che oggi lo si possa costruire con un integrato lo rende economico e di facile costruzione.

Per l'esperimento con gli zener serve anche un milliamperometro: non possiamo usare il tester, poiché questo ci serve come voltmetro. Se non si avesse un tale strumento a disposizione, basta guardarsi intorno e « prelevarlo » dal TX, RX, grid-dip, rosmetro, ecc. Si calcola la resistenza interna come spiegato quando parliamo del tester (cq, febbraio '76). L'uso dell'ohmetro per trovare la resistenza interna può danneggiare lo strumento!

Altra cosa indispensabile per svolgere rapidamente l'esperimento è una piastra in cui i collegamenti possono essere fatti senza saldature. Ormai il costo di queste piastre è accessibile ed è una spesa che si ammortizza in poco tempo.

Mi sembra di aver detto tutto, entriamo subito in argomento.

Mi permetto di insistere che, oltre al tester, occorre anche un milliamperometro per il fatto che i due strumenti vanno osservati « contemporaneamente », se si vuole capire facilmente l'esperimento e le formule che da esso derivano per il calcolo.

Curva caratteristica di uno zener

Per ben comprendere il funzionamento di un componente elettronico è necessario osservare con attenzione la sua curva caratteristica, e imparare i vari simboli e parametri.



figura 1

Simbolo del diodo zener.

In figura 2 ho disegnato la caratteristica tensione-corrente di uno zener; ho anche indicato i due circuiti a) e b) per il tracciamento della curva. Come d'uso, le correnti sono riportate sulle ordinate (assi verticali), e le tensioni sulle ascisse (assi orizzontali).

Si nota subito che la curva ricorda quella di un normale diodo al silicio (gli zener sono fatti col silicio che in pratica significa che resistono fino a temperature di giunzione di 200 °C).

Analizziamo la curva più da vicino, e cominciamo con il primo quadrante, per il cui tracciamento si usa il circuito a) (diodo polarizzato direttamente). La curva è identica a quella di un normale diodo al silicio: applicando una bassa tensione — diciamo 0,3 V — il diodo non conduce e ciò è evidenziato dal fatto che la curva è « adagiata » sull'asse delle ascisse; soltanto quando si arriva alla tensione di « soglia » di 0,7 V, la curva si stacca dalle ascisse, parte a tutta velocità verso l'alto e si mantiene quasi parallela all'asse verticale. Ciò significa che la tensione ai capi di un diodo (polarizzato direttamente) si mantiene quasi costante anche per forti variazioni della corrente. In altre parole, un diodo (zener o non) è un buon stabilizzatore di tensioni a 0,7 V.

A prima vista, questa caratteristica non sembrerebbe molto importante, dato che una stabilizzazione a 0,7 V non è molto richiesta; invece, fra poco si vedrà che essa è molto utile per migliorare le prestazioni di un diodo: la ragione è che la curva ha un TC (coefficiente di temperatura) negativo; infatti se la temperatura aumenta, la curva si sposta verso sinistra, e la tensione ai suoi capi tende a scendere (nei Data Sheets non manca questo parametro).

Chiarito come vanno le cose nel primo quadrante, passiamo all'esame del terzo quadrante.

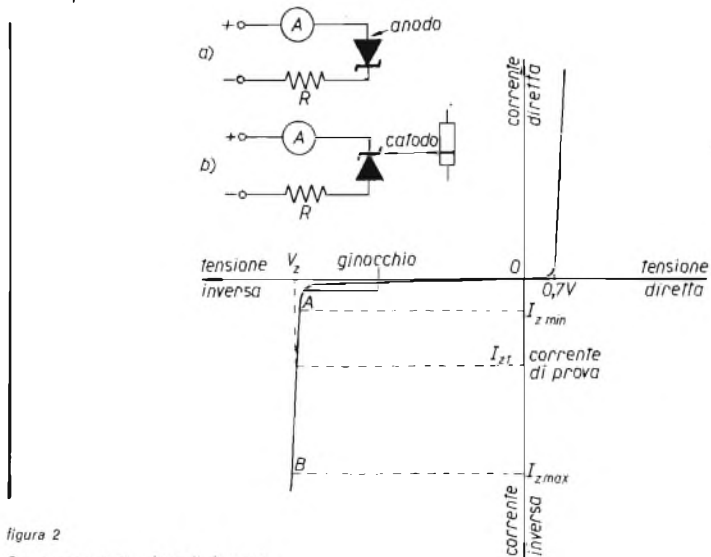


figura 2

Curva caratteristica di un diodo zener.

Per un corretto funzionamento lo zener deve lavorare nel tratto AB dove V_z (tensione di zener) si mantiene quasi costante al variare di I_z (la corrente che attraversa lo zener).

In alto a sinistra: (a) circuito di uno zener polarizzato direttamente e (b) inversamente.

Applicando una tensione negativa inferiore a V_z (tensione di zener), non passa corrente o, per essere più esatti, scorre una debolissima corrente inversa (leakage current) che, in un diodo al silicio, si misura in nano-ampere. Sulla figura 2 questa corrente sembra molto più alta di quello che è in realtà; ho voluto evidenziarla perché, in qualche applicazione critica, potrebbe essere necessario non sottovalutarla, anche perché essa cresce con la temperatura.

Aumentando la tensione si arriva al punto che più ci interessa: la curva effettua un rapido « ginocchio », poi si butta giù a capofitto e si mantiene quasi parallela all'asse delle ordinate (come era avvenuto nel primo quadrante), il che significa dal punto grafico che la tensione ai capi dello zener si mantiene quasi costante anche per forti variazioni della corrente. Come detto un momento fa, la curva nel tratto AB è « quasi » verticale. Ho messo quasi fra virgolette perché la verticalità è molto importante: più la curva è verticale, più lo zener stabilizza bene. L'ideale sarebbe che il tratto AB (tratto dove il diodo zener deve lavorare) fosse proprio verticale, e in questo caso la stabilizzazione sarebbe perfetta. Purtroppo le cose perfette non esistono. In ogni modo, con diversi accorgimenti, lo zener è un ottimo stabilizzatore. Dato che questa verticalità è così importante, deve esserci un parametro che la definisca chiaramente ed esso è la R_z (resistenza differenziale), di cui tra poco parleremo più dettagliatamente.

Vediamo gli altri simboli.

$I_{z, \min}$ è la corrente subito dopo il ginocchio dove inizia il tratto AB: è la corrente minima che deve « sempre » scorrere nello zener affinché esso possa compiere con successo il suo dovere.

$I_{z, \max}$ è la corrente massima che il diodo può sopportare senza correre il rischio di finire bruciato: è consigliabile tenersi sempre lontano da questa corrente massima: i componenti solid-state non hanno simpatia per il calore; la regola è di tenersi sempre **molto** lontano dai valori massimi di corrente, di tensione e di wattaggio.

Altro termine da definire è I_{zt} , la corrente di prova ($t = \text{test}$).

Sempre a causa della non perfetta verticalità del tratto AB, il costruttore deve dare la V_z (la tensione nominale di zener) per una certa corrente, che è appunto designata I_{zt} , ed è molto inferiore alla corrente massima (per un diodo da mezzo watt, la I_{zt} potrebbe essere 10 mA). Purtroppo anche questa V_z nominale va presa « cum grano salis », a causa della tolleranza; così uno zener da 9,1 V può in effetti stabilizzare a 10 V anche alla I_{zt} ; e per correnti superiori lo zener darà una tensione stabilizzata anche superiore ai 10 V.

Per complicare ancora le cose va tenuto in considerazione anche il TC. Riassumendo, i due parametri più importanti di uno zener sono la resistenza differenziale R_z e il suo coefficiente di temperatura.

A proposito della corrente massima $I_{z, \max}$, essa si ottiene facilmente se si conosce la tensione di zener V_z e il wattaggio. Ammettiamo di avere uno zener a 9,1 V e mezzo watt; per la legge della potenza elettrica ($W = V \cdot I$), si ha:

$$I_{z, \max} = \frac{W_z}{V_z} = \frac{0,5}{9,1} \cong 55 \text{ mA.}$$

Resistenza differenziale

In figura 3 ho ridisegnato la curva di uno zener con $V_z = 9,1 \text{ V}$. Di proposito il tratto dove opera lo zener l'ho disegnato non troppo verticale per poter far più comodamente il disegno.

Alla corrente di prova di 15 mA, lo zener stabilizza a 9,1 V. Dividendo la tensione per la corrente si ottiene la resistenza statica in quel punto (606 Ω). Questo valore ci interessa fino a un certo punto, quello che invece ci interessa di più è la resistenza — per così dire — lungo il tratto di funzionamento dello zener (tratto AB della figura 2).

Per determinarla, ci si sposta sotto e sopra la corrente di prova, e si osserva la corrispondente variazione di V_z . Parlando più matematicamente, si prende un ΔI e si nota il corrispondente ΔV_z (Δ si indica con Δ).

Nel caso della figura 3, si è preso un ΔI_z di 20 mA, a cui corrisponde un ΔV_z di 0,2 V. Facendo il rapporto si ha:

$$R_z = \frac{\Delta V_z}{\Delta I_z} = \frac{0,2}{0,020} = 10 \Omega.$$

Siamo ora in grado di sapere quale sarà l'incremento di V_z al variare della corrente. Per esempio a 45 mA, l'incremento della V_z è:

$$\Delta V_z = R_z \cdot \Delta I = 10 \cdot 0,030 = 0,3 \text{ V.}$$

$$\Delta V = R_z \cdot \Delta I_z = 10 \cdot 0,030 = 0,3 \text{ V.}$$

Quindi con un aumento di 30 mA (rispetto alla corrente di prova) la tensione V_z passerà a 9,4 V (9,1 + 0,3 = 9,4).

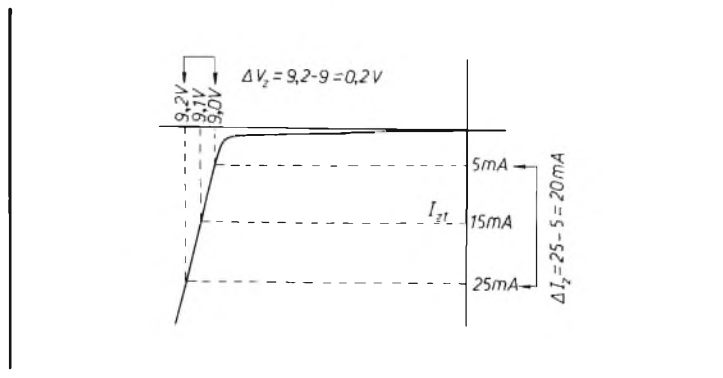


figura 3

Determinazione della resistenza differenziale che si ottiene dal rapporto fra ΔV_z e la corrispondente ΔI_z . Un valore basso di R_z indica buona stabilizzazione di tensione.

Il calcolo che abbiamo testè fatto è un po' teorico perché nel Data Sheet troveremo probabilmente due valori di R_z . Sempre a causa delle tolleranze di produzione, vengono dati due valori entro i quali la R_z può oscillare. In altre parole, due zener identici come sigla, non lo sono come comportamento! Infine il costruttore dà la R_z per un certo valore di corrente (in genere la I_{zT}); la ragione è che il tratto di funzionamento dello zener non è così dritto come appare in figura.

Ho notato nei cataloghi curve non molto dritte, specialmente per tensioni di zener molto basse.

Per ragioni di chiarezza, ho preso nella figura 3 un ΔI_z , piuttosto grosso (20 mA), in pratica la R_z si determina con un ΔI_z molto piccolo.

Spero di aver spiegato chiaramente questa resistenza differenziale, in quanto essa è un parametro importante anche per altri componenti, non è esclusiva degli zener!

Coefficiente di temperatura

Come quasi tutti i componenti elettronici, anche gli zener hanno un TC di cui bisogna tener conto. Anzi sono un po' bizzarri sotto questo riguardo. Come si vede dalla tabella, i diodi a bassa tensione hanno un coefficiente negativo mentre per tensioni superiori ai 5 ÷ 6 V il TC diventa positivo, cioè la tensione V_z aumenta con il calore. Questo fatto può essere sfruttato per la compensazione termica mettendo insieme uno zener con TC

positivo con uno con TC negativo. Attenzione però a non dimenticare R_z , anche da essa dipende la stabilità di tensione. L'ideale sarebbe se gli zener da 5 o 6 V avessero anche la più bassa R_z (gli zener da $5 \div 6$ V hanno un TC quasi nullo).

In ogni modo, dallo studio dei cataloghi ho visto che la R_z è molto bassa per valori di V_z di $7 \div 8$ V.

In pratica, con un po' di pazienza, si può ottenere una buona stabilità con pochi soldi.

Per chi non ha problemi di soldi, esistono in commercio zener stabilissimi che vanno sotto il nome di « diodi di riferimento » (Reference Diodes).

Il TC è spesso dato in millivolt per grado ($mV/^{\circ}C$). Per esempio, se un diodo ha un TC di $+10,5 mV/^{\circ}C$, ciò vuol dire che la sua tensione V_z aumenta di 10,5 mV per ogni grado di temperatura.

V_z	R_z	TC $mV/^{\circ}C$
4,7	50	- 1,5
5,8	6	+ 1
7,5	4	+ 3
15	20	+ 10

Tabella - indicativa - di alcuni diodi zener con la relativa resistenza differenziale R_z e il coefficiente di temperatura TC. Si noti il TC negativo per il diodo da 4,7 V e la bassa R_z dello zener a 7,5 V.

Per ridurre il fenomeno della variazione di tensione a causa della temperatura, si può fare come indicato in figura 4, in cui in serie allo zener c'è un diodo polarizzato direttamente. Questo diodo può essere un diodo normale al silicio o anche un diodo zener.



figura 4

Diodo zener con in serie un diodo polarizzato direttamente per avere una compensazione del TC

Quello che è importante è che esso abbia una bassa resistenza differenziale; graficamente questo significa che la sua curva (primo quadrante di figura 2) deve essere il più verticale possibile o, se si preferisce, il più possibile parallela alle ordinate. La definizione di resistenza differenziale nel primo quadrante è la stessa di quella nel terzo quadrante. Va notato che ora la tensione stabilizzata è V_z aumentata di 0,7 V (tensione di soglia di un diodo polarizzato direttamente).

La compensazione di temperatura avviene perché, come detto prima, un diodo polarizzato direttamente ha un TC negativo.

E' ovvio che il trucco di figura 4 va bene per gli zener con TC positivo (sopra i 6 V).

Esperimenti con gli zener

Verifichiamo sperimentalmente quanto detto finora.

La prima cosa che ci interessa è accertarsi che ai capi di uno zener la tensione si mantenga costante.

Montiamo il semplice circuito di figura 5, strumento con f.s. (fondo scala) di 25 mA.

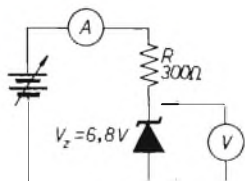


figura 5

Circuito per verificare che uno zener, polarizzato inversamente, presenta ai suoi capi una tensione pressoché costante, anche con forti variazioni della corrente I_z che lo attraversa.

Anche se non è necessario usare uno zener da 6,8 V, è consigliabile usarlo, altrimenti i risultati numerici saranno differenti. La ragione perché ho scelto uno zener da 6,8 V è che un tale diodo (vedi tabella) ha un R, basso e anche il TC è buono (lo uso infatti per il mio VFO con buoni risultati). Detto questo, si parte con l'esperimento.

Sistemiamo l'alimentatore su un valore inferiore a V_z , diciamo 5 V, e vediamo che succede. Non può passare corrente dato che siamo sotto la tensione di zener, infatti lo strumento non si muove. Con il voltmetro misuriamo ai capi dello zener 5 V, e niente tensione ai capi di R.

Lo zener si comporta come un resistore di altissimo valore rispetto al resistore di soli 300 Ω . Essendo in serie, la tensione si divide in proporzione diretta alla resistenza, e cioè tutta sullo zener e niente sul resistore R. Quando un diodo è polarizzato inversamente dovrebbe esserci una piccolissima corrente inversa, ma uno strumento con un f.s. di 25 mA non può certo misurarla. Togliamo lo shunt allo strumento in modo che esso abbia la massima sensibilità. Risultato: niente corrente anche se il mio strumento ha un f.s. di 1 mA.

Facciamo ora un piccolo esperimento per dimostrare come un tester può confondere le idee. Senza rimettere lo shunt allo strumento, andiamo a misurare di nuovo la tensione ai capi dello zener.

La tensione sarà sempre la stessa, ma adesso il milliamperometro accusa un netto passaggio di corrente. Non può essere la corrente inversa del diodo per il semplice fatto che prima non c'era; è il voltmetro che assorbe corrente (vedi **cq**, maggio '78: «Riparliamo del tester»).

Rimesso lo shunt, andiamo avanti.

Aumentiamo la tensione di alimentazione, osservando con un occhio l'ampereometro e con l'altro occhio il voltmetro ai capi dello zener. Avvicinandoci a V_z , il voltmetro sale fino a 6,8 V e l'ampereometro segna un passaggio di corrente. Continuiamo ad aumentare la tensione: la tensione sullo zener si mantiene costante e la corrente continua ad aumentare. Per accertarsi della stabilità di tensione, mandiamo l'ampereometro a fondo scala e osserviamo attentamente l'ago del voltmetro. La variazione di tensione ai capi dello zener è appena percettibile passando da 5 mA a fondo scala: quindi la resistenza differenziale è buona, e questa era la cosa che più ci stava a cuore.

Possiamo controllare anche il TC.

Mettiamo un saldatore vicino allo zener e osserviamo se la tensione varia. Nel caso in esame, la variazione è di nuovo appena percettibile, dato il basso TC dello zener usato.

La dissipazione massima di questo diodo si ha con una corrente sui 70 mA (abbiamo già visto come si determina), perciò possiamo divertirci a mandare l'ampereometro a fondo scala senza pericolo alcuno.

Vogliamo vedere che accade invertendo il diodo (collegato in modo che conduca)? Con il voltmetro misuriamo la tensione ai suoi capi, sarà sui 0,7 V; anche qui possiamo controllare come varia questa tensione al variare della corrente che lo attraversa e al variare della temperatura (saldatore vicino al diodo). Aumentando la corrente, la tensione dovrebbe salire leggermente; con il calore la tensione deve diminuire leggermente, confermando il TC negativo di un diodo polarizzato direttamente.

Passiamo all'ultima parte dell'esperimento: mettiamo un carico ai capi dello zener e vediamo se la tensione resta costante al variare del carico e della tensione di alimentazione.

Sistemiamo le cose in modo che lo strumento misuri 17 mA, il che si dovrebbe ottenere con una tensione di alimentazione di circa 12 V.

Collegiamo un resistore da 1.000 Ω ai capi dello zener. L'amperometro segna sempre la stessa corrente perché il carico ha « preso » la corrente dallo zener, nel quale ora scorrono solo 10 mA. Vale la pena di vedere se effettivamente è così; si metta l'amperometro nel punto A e si vedrà che è proprio così: c'è stato un « travaso » di corrente dallo zener al carico, ma la corrente totale è rimasta la stessa; se così non fosse (cioè se l'amperometro avesse accusato un aumento di corrente), il circuito non stabilizzerebbe e andrebbe cambiata la R, il cui calcolo vedremo fra poco. Accertiamoci anche che la tensione sia sempre la stessa ai capi dello zener (la corrente nel carico di 7 mA si è ottenuta dividendo 6,8 V per 1 k Ω).

Variamo il carico, sostituendo a quello di 1.000 Ω , due altri resistori da 1.200 e 820 Ω (valori standard). V_z non deve variare e la corrente totale deve essere sempre la stessa. Ecco perché ho insistito sulla necessità di avere un amperometro sempre collegato nel circuito.

La relazione delle tre correnti del circuito di figura 6 — si tratta del circuito classico di uno stabilizzatore — deve essere: $I_{tot} = I_z + I_L$.

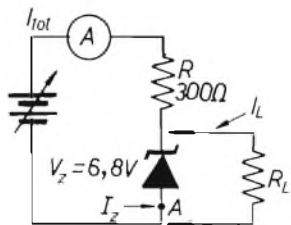


figura 6

Circuito per verificare che la tensione ai capi dello zener si mantiene quasi costante al variare della tensione di alimentazione e al variare del carico R_L .

Variamo ora la tensione di alimentazione di un paio di volt in più o in meno e controlliamo se V_z è sempre 6,8 V. In questo caso l'amperometro segna un aumento di corrente, e questo è regolare (legge di Ohm); la relazione tra le tre correnti resta sempre valida.

Ammettiamo di non avere l'amperometro e vogliamo conoscere il valore delle tre correnti. La corrente nel carico si ottiene (come già visto) dividendo V_z per la resistenza ohmica del carico. La corrente che attraversa R la troviamo facilmente: la tensione ai capi di R è la tensione di alimentazione meno V_z ; dividendo questa tensione per R si ha la corrente totale. Conoscendo la corrente totale e la corrente nel carico, si trova per differenza la corrente che scorre nello zener, in omaggio alla relazione tra le tre correnti.

Resta ancora da vedere che succede se applichiamo un carico che assorbe più della corrente che passa nello zener.

Se applichiamo un carico di soli 150Ω , esso dovrebbe prendersi dallo zener 45 mA ($6,8 : 150 = 45 \text{ mA}$), il che non è possibile dato che all'inizio dell'esperimento avevamo stabilito in 17 mA la corrente I_z , in assenza di carico. Che succede? Il carico si « prende » la corrente dall'alimentatore e infatti l'amperometro segna un aumento di corrente.

Se andiamo a misurare la tensione ai capi dello zener, troveremo 4 V ; e 8 V li troveremo ai capi di R .

In pratica, il carico eccessivo ha « estromesso » letteralmente lo zener dal circuito. E' come se lo zener non ci fosse più; stacciamolo, i valori di tensione e correnti non cambiano: lo zener non svolge più il suo lavoro. Allora lo buttiamo via?

No, va solo diminuita la R in modo che nello zener passino più di 45 mA e in questo modo lo zener riprenderà il suo ruolo stabilizzatore.

Per farla breve, **il calcolo di R è molto importante.**

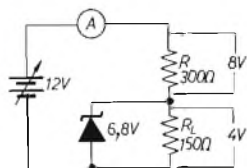


figura 7

Se il carico è eccessivo, lo zener cessa di funzionare e viene « estromesso » dal circuito; la tensione ai capi dei due resistori si divide secondo la legge di Ohm.

Formule per il calcolo

Ecco le formule prelevate dai « sacri testi ».

Cominciamo con la formula che ci dà R , cioè la resistenza che fissa il punto di lavoro sulla curva dello zener.

$$R = \frac{V_{\min} - V_{\max}}{1,1 \cdot I_{L, \max}}$$

Prima di dire quattro parole sulla formula, ricordo il significato dei simboli: V_{\max} e V_{\min} sono le tensioni massima e minima di alimentazione; la massima e la minima corrente assorbita dal carico sono $I_{L, \max}$ e $I_{L, \min}$. A proposito della formula, si tratta solo della legge di Ohm!

Infatti il valore di R si ottiene dividendo la tensione ai capi di R per la corrente che l'attraversa, la quale deve essere la corrente totale, come si è detto quando si è parlato delle tre correnti.

La ragione per la quale si deve usare la V_{\min} (la più bassa tensione di alimentazione prevedibile) è che così siamo sicuri che anche in questo caso passerà nello zener la corrente minima, e non possa correre il rischio di essere estromesso come è avvenuto nell'esperimento.

Per quanto riguarda la corrente, si mette la massima corrente di carico più un 10% , che è sempre la corrente minima nello zener (moltiplicare per $1,1$ significa aumentare la corrente massima del carico del 10%).

Come regola questo 10% va bene, ma si tratta di un valore medio, non è detto che la corrente minima nello zener deve proprio essere il 10% della massima corrente nel carico.

Mi spiego con un esempio.

Lo zener del mio VFO deve stabilizzare una corrente di carico molto bassa (una decina di mA); il 10 % di questa corrente sarebbe 1 mA che mi sembra un valore troppo basso come corrente minima dello zener; ho quindi stabilito che la corrente minima fosse almeno 3 mA.

La seconda formula ci dà il wattaggio dello zener ed è superfluo dire quanto questo sia importante:

$$W_z = V_z \cdot \frac{V_{max} - V_z}{R_z} - I_{Lmin}$$

Sembra difficile questa formula, ma è di nuovo la legge della potenza elettrica ($W = V \cdot I$). Infatti quello che sta in parentesi non è altro che la corrente massima che lo zener deve sopportare; questa corrente è data come differenza fra massima corrente totale meno la corrente di carico minima. Notare che la corrente massima totale si è ottenuta questa volta usando la massima tensione di alimentazione.

Siamo quasi giunti alla fine del calcolo, manca solo il wattaggio del resistore R: $W_R = R \cdot I_{Lmin}^2$.

Anche questa formula è sempre la legge della potenza ($W = R \cdot I^2$).

Notare che la corrente totale già la sappiamo dalla formula precedente (il termine frazionario nella parentesi)

Non ci resta che fare un esempio di calcolo.

Abbiamo uno zener $V_z = 6,8 V$, la tensione di alimentazione può oscillare fra 11 e 14 V e il carico fra 15 e 20 mA.

Calcoliamo R:

$$R = \frac{11 - 6,8}{1,1 \cdot 0,02} = \frac{4,2}{0,022} = 190 \Omega$$

Siccome il valore di 190 Ω non è standard, si prende un resistore di valore standard « inferiore », per essere certi che la corrente nello zener non scenda sotto il valore minimo. Prenderemo quindi un resistore da 180 Ω con il quale valore continueremo i calcoli nelle altre due formule. Passiamo alla determinazione del wattaggio dello zener:

$$W_z = 6,8 \cdot \frac{14 - 6,8}{180} - 0,015 = 6,8 (0,040 - 0,015) = 0,170 W$$

e va bene uno zener da mezzo watt: una regola pratica dice che il wattaggio deve essere tre volte quello minimo dato dalla formula.

Finora non abbiamo discusso il caso del carico che venga scollegato dal circuito. Per le considerazioni fatte, tutta la corrente andrà a finire nello zener. Nel caso numerico in questione, questa corrente sale a 40 mA; un rapido calcolo ci assicura che siamo sempre sotto il mezzo watt. Ho voluto menzionare il caso del distacco del carico perché a me è successo, e lo zener si è bruciato.

Vediamo la dissipazione del resistore R:

$$W_R = 180 \cdot (0,040)^2 = 0,288 W$$

Va bene da mezzo watt, ma io lo metterei da un watt.

Per concludere, cito un'altra « rule of thumb » (regola empirica): la tensione di alimentazione deve essere per lo meno il 50 % più alta della tensione V_z , cioè della tensione stabilizzata.

Molte cosette pratiche si imparano dalla consultazione di cataloghi; dal catalogo dei diodi della Philips (menzionato nella Bibliografia) ho appreso diversi consigli sulla scelta dei diodi, sul montaggio (terminali corti e ben saldati in modo che la dissipazione del calore sia migliore), ecc.

Zener in serie

Il collegamento in serie di due zener, per avere una tensione più alta è non solo possibile: può essere anche conveniente ai fini di una migliore stabilità di tensione.

Vediamo un esempio tenendo sott'occhio la tabella di pagina 30.

Per avere una tensione stabile a 15 V prendiamo due diodi da 7,5 V invece di uno zener da 15 V e da 1 W; per quanto riguarda il wattaggio, è sufficiente che i due diodi da 7,5 V siano da mezzo watt.

Quello che più ci interessa è se i due diodi siano più stabili di un solo diodo da 15 V. Dalla tabella risulta che il diodo da 15 V ha una resistenza differenziale di 20 Ω mentre i due diodi da 7,5, collegati in serie, avranno una R_z di 8 Ω . Dalla tabella si vede che il diodo da 7,5 V ha una R_z di 4 Ω , quindi due diodi in serie avranno una R_z di 8 Ω , che è molto più bassa rispetto al diodo da 15 V ($R_z = 20$).

Lo stesso ragionamento vale per il TC, e anche in questo caso il miglioramento è netto.

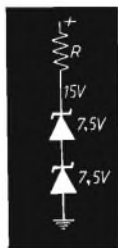


figura 8

E' possibile collegare due diodi in serie per avere una tensione stabilizzata più alta.

Conclusione

Spero di avere scritto qualcosa che abbia corrisposto ai vostri desideri; certo, gli zener non servono solo a dare tensioni stabilizzate, svolgono tante altre funzioni che si possono immaginare da quanto detto e dall'esperienza (penso soprattutto alla funzione di protezione in caso di sovratensione).

Testi consultati

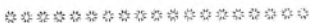
ARRL - Handbook 1979.

ARRL - Data Book.

QST - Aprile 1976 e Ottobre 1977.

Hayden - Semiconductor Circuit Elements.

Philips - Diodes Data Handbook.



Sigle stranissime

Antonio Anselmi

Penso di fare cosa gradita a tutti gli sperimentatori e hobbisti che hanno in casa schede ex-computer con integrati dalle sigle stranissime riportando una breve lista che raffigura a sinistra il codice industriale e nelle altre colonne i codici commerciali di tali integrati.

CODICE	TI	FSC	NSC	MOTOROLA	IN/SIG	INTEL	CODICE	TI	FSC	NSC	MOTOROLA	IN/SIG	INTEL
04040001	74LS04						76200540	74LS03					
04040002	74LS10						76951137	75108					
04040126	74S86						76651156	1KPROM					
04040129	74LS02						76651154				3046		
04040166	74LS05						76951522	74105		9001			
04040299	74LS393						76951526			9312			
04040422	74S128						76951528			9309			
04040432	74S11						76951534	74157		9322			
04040445	2601						76951673	7406					
04040514	555						76952025				UA711		
41158801	UA755						76952046				5024		
50352800	75110						76952423	74S04					
50352900	75107						76952647	1KPROM					
59700097	7437						76952705	UAART					
59701161	74S182						76119232	4KPROM					
59701162	74S181						78200001	74H00		9H30		MC3016	
60067010	LM201A						78200002	74H70		9H20		MC3010	8H16
60067012	74S00	9S60		MC3000		8H90	78200003	74H00		9H00		MC3000	8H80
60057013	DKLQ-1						78200004	74H51		9H51		MC3023	
60057014	DKLR-1						78200004	74H50		9H50		MC3020	
60057016	UA723						78200005	74H04		9H04		MC3008	8H90
60067017	UA723						78200006	74H01		9H01		MC3004	
80067018	UA747						78200007	74H40		9H40		MC3024	
80057074	75189A			LM1489A			78200008	74H10		9H10		MC3005	
80057076							78200013	200013		1173			
80067079	74S64						78200014	200014		1172			
80067080	74S20						78200039	74123		9602	2602	9N123	26123
80067081	74S10						78200040	29601		9601	1118		
80067090	74S112						78200041	75451					
80067092	82S62						78200043	74L154					
80067093	75108			LM1488			78200044	74393					
80067108	7402	9N02					78200046	74192		9360	8560		
80067114	74S51						78200048			93S12			82S30
80067132	26S10L						78200053	7483		93S05	8556		8283
76970000	74LS00						78200054			1167			8262
76970001	74LS04						78200055	7442		93S2	8842		
76970002	74LS10						78200056	75361					
76970003	74LS20						78200057	74195		1150	9300		
76970004	74LS30						78200058	74193		9366	8563		
76970005	74LS31						78200059	7489		1165	93435		4064
76970006	74LS109						78200060	74S195		93100	93400		
76970008	74LS133						78200061	74S257		93S257	8123		
76970009	74LS193						78200062	74S133		95133			
76970010	74LS105						78200000	74117					
76970012	74LS257						78200071	7430		9N30			8608
76970014	4KRAM-NEC						78200072	7420		9004			
76970018							78200073	7400		9007			
76970021	4KRAM-INTEL		8820A				78200074	11751		9H51	6480		
76970032							78200074	727450		9005	6840		
76970036	4116						78200075	7404		9016	8490		
76970053	74S151						78200076	7408		9N08			
76970092	74S133						78200077	7440		9009	8455		

**ogni articolo vi costa
quanto mezza tazza di caffè**

RIFLETTETE, GENTE, RIFLETTETE!

CODICE	TI	FSC	NSC	MOTOROLA	IN/SIG	INTEL
78200018	7410	9N10	8879		8470	
78200147					3002	
78200148	4KPR0M					
78200151	4KRAM					
78200152						
78200173	74LS273					
78200174	74LS175					
78200329			LM311	83311		
78200402				MC1420		
78200410	2708					
78200411						
78200412						
78200413						
78200414						
78200415						
78200416						
78200417	LM330					
78200418						
78200421						
78200425	74LS14					
78200426	74LS85					
78200427	74LS251					
78200428				4702		
78200432				2909		
78200433				FIFO		
78200434	2716					
78200435				2147		
78200436		93422				
78200437				2114		
78200438	8KPR0M					
78200439				FPLA		
78200442	74LS253			8214		
78200443	74LS148					
78200445	74LS387					
78200448	74LS08					
78200450			74C193			
78200451				14011		

CODICE	TI	FSC	NSC	MOTOROLA	IN/SIG	INTEL
78200452			74C85			
78200453						14069
78200454						14411
78200525	74S251	93S251				
78200526	74S253					
78200527	74S241					
78200528	74S373					
78200529	74S240					
78200530	74LS373					
78200531	74LS374					
78200532	74S374					
78200533	74S08					
78200534	74S30	9630				
78200535	74S32					
78200536	74S40					
78200537	74S169					
78200538	74LS169					
78200539	74LS241					
78200541	74LS283					
78200542	74S244					
78200543	74LS280					
78200544						29703
78200546						26S10V
78200550				MC1420		
78200561		SG3524				
78200563	LM324					
78200565	75154					
78200750	Z80S10					
78201106	SONAL					
98300603	UAART					
98300606	ROBS					
98300607	8250					
98300608	8155					
98300609	74LS257					
98300610	8253					
98300611	8304					
98300612	6514	*				
98300408	74LS126					

-AC08-AD08-

moduli codificatori e decodificatori



DECODIFICATORE DI CODICI AD 08

Dotato di otto uscite attivate dalla opportuna permutazione del corretto codice. E' possibile il funzionamento con o senza memorizzazione del codice ricevuto. Le uscite sono adatte a eccitare un relé.
 Precisione di frequenza $\pm 1\%$, stabilità $\pm 0,5\%$ (-10 + 55°C).
 Alimentazione 12,5 Vcc, 6 mA.
 Dimensioni: 117 x 59 x 15 mm.

TRASMETTITORI DI CODICI AC 08

Genera tre toni di frequenze comprese tra 300 e 3200 Hz ed è in grado, su opportuno comando, di permutarli generando così otto comandi diversi. Può emettere un solo codice ad ogni comando oppure una sequenza continua di codici.

Precisione della frequenza dei toni $\pm 1\%$, stabilità $\pm 0,5\%$ (-10 + 55°C).
 Alimentazione 12,5 Vcc, 6 mA.
 Dimensioni 60 x 60 x 15 mm.



- Ideali per teleallarmi, telecomandi e chiamate selettive.
- Reti complesse possono essere realizzate utilizzandoli con i nostri generatori di codice AC01 e i decodificatori AD 01.
- Il codice è formato da tre toni emessi in rapida successione (sequenziali).
- Più di 40.000 combinazioni diverse di codici.
- La frequenza dei toni è compresa nella normale banda audio ed è quindi possibile utilizzare per l'invio dei codici normali linee telefoniche o ponti radio.
- Concepiti particolarmente per l'uso con i moduli ricevitori e trasmettitori: AT 26, AR 22 (VHF) e AT 76, AR 72 (UHF) di nostra produzione.

stetel

s.r.l. via Pordenone, 17 - 20132 MILANO - Tel. (02) 21.57.813

come si scelgono i componenti passivi:

gli INDUTTORI

14JMY, Maurizio Panicara

14JUQ, Giovanni Pantoli

L'induttore è un componente che si basa sul principio fisico della creazione di un campo magnetico da parte di un conduttore percorso da corrente elettrica.

Infatti, qualunque conduttore presenta una certa induttanza, che viene accentuata se questo assume una particolare geometria.

L'induttanza di un conduttore può essere vista come la tendenza di questo a opporsi alle variazioni di corrente che lo percorre.

Questa tendenza si manifesta indiscriminatamente in ogni conduttore nel quale a ogni variazione di tensione ai suoi capi non corrisponde una uguale e isocrona variazione di corrente; che tende invece a raggiungere il nuovo valore con progressiva lentezza.

Si osservi ad esempio lo schema di figura 1 dal quale si ottengono gli andamenti della tensione e della corrente rilevati dagli strumenti in funzione del tempo.

L'istante t_1 rappresenta il momento nel quale viene chiuso l'interruttore S_1 : come si può vedere, la corrente nella resistenza R_1 che dovrebbe salire, contemporaneamente alla tensione, al valore $I = V/R_1$, tende invece a raggiungere questo con legge esponenziale.

A questo punto il Lettore può chiedersi quale sia il legame tra il comportamento dell'induttore e la creazione del campo magnetico da parte di questo.

La spiegazione di questo legame è dovuta al fatto che la creazione del campo magnetico implica energia, che viene fornita dal circuito.

Si osservi ad esempio come negli istanti t_1 e t_2 sia presente una certa tensione ai capi dell'induttanza mentre questa viene percorsa da corrente.

Alcune semplici considerazioni sulle leggi di Ohm permettono di affermare che in un componente generico, sottoposto a una tensione e una corrente in un determinato istante, si ha in gioco una certa potenza.

Questo richiamo di potenza continua però per il tempo nel quale sono presenti i parametri tensione e corrente ovvero continua durante tutto il ciclo evolutivo della tensione ai capi dell'induttanza.

Il prodotto di una potenza per un tempo è però una energia e quindi durante il tempo nel quale si evolvono tensione e corrente ai morsetti dell'induttanza questa richiede energia.

Occorre ora dire che quegli andamenti caratteristici di tensione e corrente ora esaminati si evolverebbero per un tempo infinito: la corrente I teoricamente non raggiunge mai il valore $I = V/R_1$, ma continua ad avvicinarsi sino all'infinito. Implicando considerazioni matematiche si può affermare che la retta tratteggiata orizzontale $I = V/R_1$ rappresenta l'asintoto cui la curva della corrente tende.

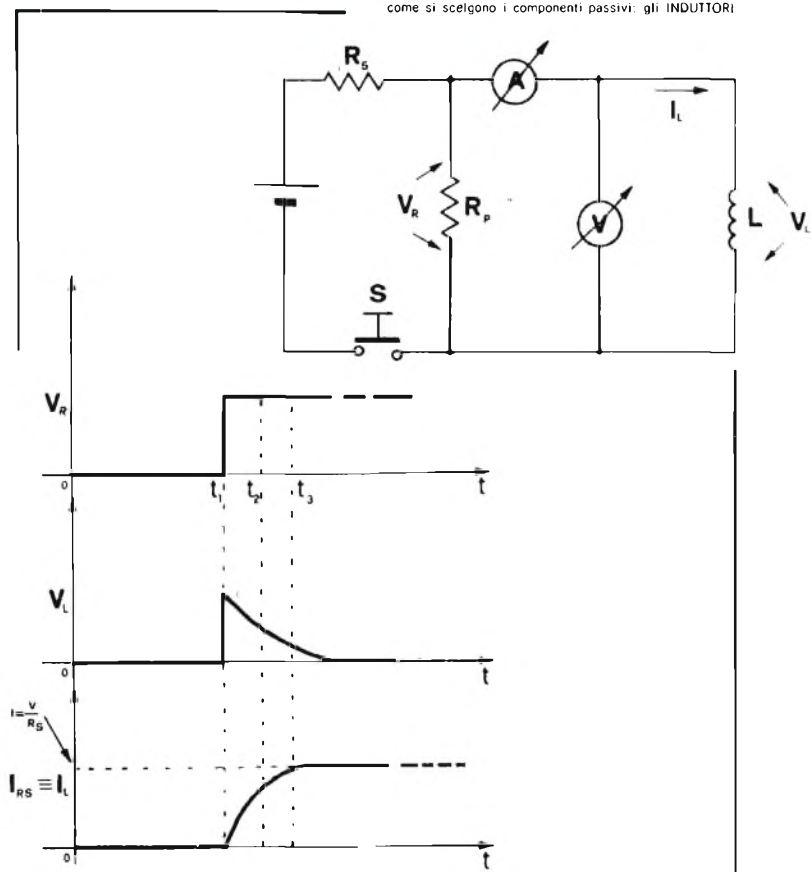


figura 1

Questo schema rappresenta una teorica configurazione per il rilievo del comportamento di una induttanza ai gradini di tensione.

In pratica una simile configurazione permetterebbe un corretto rilievo solo se il valore di questa *lusse* molto superiore a quelli comunemente realizzabili.

L'istante t_1 rappresenta quell'attimo nel quale il pulsante S viene premuto e mantenuto in tale posizione per tempo indefinito.

In pratica le cose hanno uno svolgimento tale che si può considerare completata l'evoluzione in tempi molto brevi ($5 + 7 \times L/R$). Ciò che il Lettore deve notare è che in base al principio enunciato, durante questa evoluzione l'induttanza crea il campo magnetico e proprio qui viene accumulata l'energia, in quanto il campo persiste per tutto il tempo nel quale continua a scorrere corrente nell'induttore. Abbiamo usato il termine accumulata perché questa stessa energia può essere riottenuta ad esempio sostituendo la batteria con una resistenza

In queste condizioni la corrente dovrebbe crollare a zero istantaneamente ma per le considerazioni fatte ciò non avviene in quanto il campo magnetico annullandosi crea una d.d.p. ai morsetti dell'induttore e la corrente nella induttanza anziché crollare scende esponenzialmente (vedi figura 2).

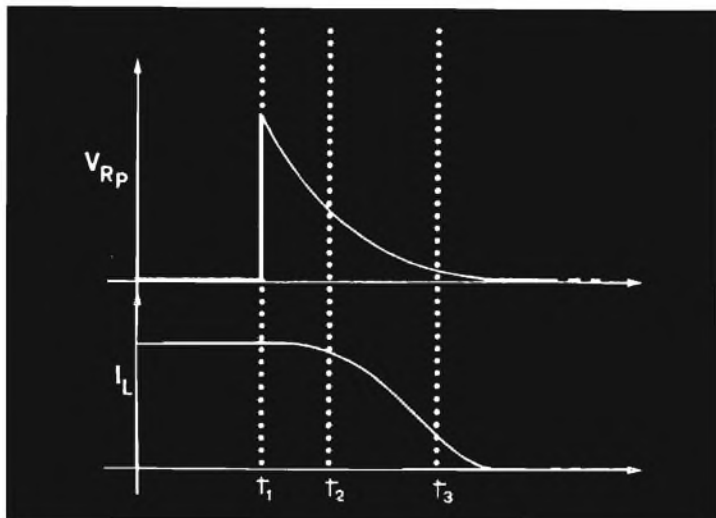


figura 2

L'istante t_1 rappresenta questa volta l'attimo nel quale il pulsante dalla precedente posizione di chiuso viene rilasciato.

L'energia viene quindi ceduta alla resistenza R_p in base al modo precedentemente descritto.

Le proprietà fisiche di una induttanza vedono applicazione diretta nell'elettrotecnica la quale sfrutta in molte applicazioni il campo magnetico (motori, trasformatori, etc.), mentre in elettronica molto spesso interessa il comportamento dell'induttore visto nei parametri corrente e tensione: molto semplicemente è come se si trattasse di una scatola chiusa dalla quale fuoriescono due reofori di un componente di cui sfruttiamo esclusivamente le proprietà elettriche e non gli effetti.

In elettronica infatti non interessa il fatto che un componente abbia certe caratteristiche elettriche grazie ad effetti interni a sé, bensì ciò che importa è esclusivamente il comportamento visto dal circuito esterno.

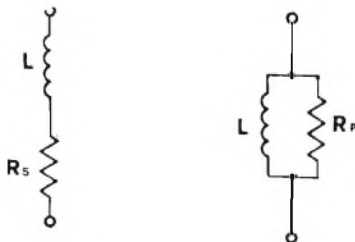
Un esempio in questo senso è il circuito « gyrator » che, per mezzo di un amplificatore operazionale, realizza il comportamento elettrico di un induttore.

Non si illuda, però, chi non sopporta l'idea di avvolgere filo, di avere risolto così i propri problemi in quanto l'induttore tradizionale resta un componente insostituibile in moltissime applicazioni.

La configurazione « gyrator » risulta convenientemente applicabile per realizzare « elevate » induttanze sfruttabili nel campo delle basse frequenze (vedi figura 3).

Le induttanze convenzionali vengono comunemente impiegate in RF e talvolta in AF, essenzialmente in circuiti oscillatori e in filtri.

Dato per scontato che la pratica realizzativa di un induttore sia unicamente l'operazione manuale di avvolgere del filo, è chiaro che tutto quanto concerne l'induttore per ciò che riguarda numero di spire, dimensioni, tipo di nucleo, etc. rappresenta ancora un aspetto non marginale della progettazione.



$$Q = \frac{2 \pi f L}{R_s}$$

$$Q = \frac{R_p}{2 \pi f L}$$

$$R_s = \frac{2 \pi f L}{Q}$$

$$R_p = 2 \pi f L Q$$

figura 3

Rappresentazione delle perdite

distribuite resistive come circuito serie e parallelo e relative equazioni del coefficiente di bontà

L'induttore reale si distacca, purtroppo, da quello teorico per la presenza di parametri parassiti resistivi e capacitivi e, in alcuni casi, per la intrinseca non linearità.

Naturalmente è opportuno conoscerne la natura in modo da operare con modifiche quanto più semplici ed efficaci possibile.

Il parametro parassita più frequentemente indesiderato è quello resistivo, essenzialmente dovuto a perdite per dissipazione nel conduttore utilizzato a causa della sua intrinseca resistenza e nell'eventuale nucleo magnetico. Lo schema equivalente dell'induttore reale deve quindi comprendere pure una resistenza che rappresenta appunto le perdite per dissipazione (effetto Joule).

Lo schema equivalente viene comunemente disegnato in due modi diversi a seconda delle esigenze circuitali: il circuito equivalente serie e quello parallelo (vedi figura 4).



Per una classificazione immediata della qualità dell'induttore è stato introdotto il così detto « coefficiente di merito o di bontà » Q espresso da un semplice numero positivo (puro, ovvero non ha unità di misura) che indica immediatamente la qualità della bobina: un fattore di Q dell'ordine della decina rappresenta comunemente una bobina di mediocre qualità, mentre in onde corte valori compresi fra 100 e 200 sono caratteristici di induttori di più che buona qualità.

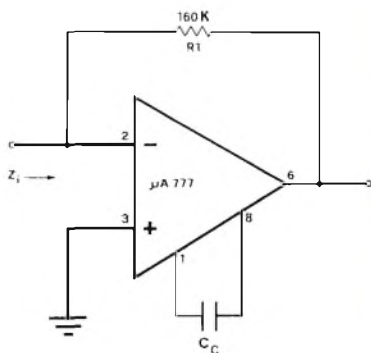
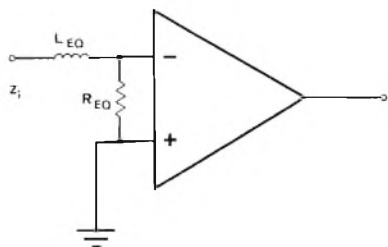
Sebbene non sempre il circuito richieda un così alto Q , è a nostro avviso consigliabile sovradimensionare in sede di progetto, dato che, come si è visto, per ridurre eventualmente questo parametro, è sufficiente intervenire ponendo in serie o in parallelo al componente resistenze di appropriato valore che andranno così ad aggiungersi alle perdite già presenti riducendo il Q sino al valore voluto.

come si scelgono i componenti passivi: gli INDUTTORI

$$L_{EO} = \frac{R1}{(1-A_0) 2\pi F_C} \quad R_{EO} = \frac{R1}{1+A_0}$$

$$Z_i = \frac{R1}{1-A} \quad F_C(\text{typ}) = \frac{159 \cdot 10^{-12}}{C_C} \text{ Hz}$$

A_0 = dc open loop gain



CIRCUITO EQUIVALENTE

figura 4

Circuito equivalente teorico e circuito pratico di un « giratore » con amplificatore operazionale.

Dovendo realizzare bobine a elevato coefficiente di bontà è necessario, come si è visto, ridurre le perdite del componente, ovverossia agire sulle cause principali che, come detto, sono la resistenza del filo e le perdite nel nucleo (correnti parassite di Foucault).

La soluzione ideale per il primo problema sarebbe quella di realizzare componenti con conduttori di grosso diametro in argento.

Essendo però questa soluzione anti-economica viene comunemente utilizzato il rame. E' convenientemente utilizzato il rame argentato superficialmente in base al così detto « effetto pelle » secondo il quale le correnti ad alta frequenza tendono a scorrere sulla superficie esterna del conduttore trovando quindi un conduttore virtualmente d'argento, che ha ovviamente un costo inferiore a uno realizzato in argento massiccio.

L'impiego del filo di rame argentato è però caratteristico di componenti particolari, e quindi è raramente necessario che l'auto-costruttore debba usare filo simile.

Vogliamo però a questo punto porre in evidenza il fatto che, qualunque sia la configurazione dell'induttore, la scelta del tipo di filo impiegato agisce esclusivamente sul fattore di qualità della bobina.

Essendo il Q spesso un parametro non critico per il circuito nel quale il componente si viene a trovare, è discutibile che molti progettisti indichino, nella lista componenti delle apparecchiature da loro presentate, dati riguardanti induttanze tra i quali si leggono ben specificati i diametri per i fili degli avvolgimenti. Queste e altre cose hanno reso ostico agli occhi di molti il campo della RF e sarebbe ora che si cominciasse, prima di tutto,

a riportare nelle tabelle dei componenti il valore dell'induttanza e il Q di ogni bobina in modo che sarà poi l'autocostruttore a decidere di seguire o meno le ulteriori indicazioni per la realizzazione pratica del componente; in parole povere, i vincoli sono elettrici e non dimensionali: ognuno il suo induttore può realizzarlo come vuole e soprattutto con i materiali che riesce a reperire a patto che rispetti naturalmente il valore di induttanza e il Q necessari.

Prima però di passare alla pratica realizzativa degli induttori, è utile spendere due parole su un altro parametro indesiderato, quello capacitivo. La capacità (parassita) tra spira e spira dell'avvolgimento e quella distribuita, presente tra le connessioni del circuito, fanno sì che più che di una pura induttanza si debba parlare di un vero e proprio circuito oscillante; infatti una qualunque bobina è in grado di risuonare senza alcuna capacità aggiuntiva in parallelo.

È importante che in sede di progetto si operi in modo tale che la frequenza di risonanza dell'induttore sia superiore a quella di lavoro: in questo modo si può ritenere il comportamento puramente induttivo e di valore sufficientemente prossimo rispetto a quello cercato.

Purtroppo però il calcolo della frequenza di risonanza implicherebbe una matematica non comprensibile a tutti e comunque porterebbe il semplice calcolo di una induttanza a una tale serie di calcoli da rendere vivamente consigliabile l'uso di un sofisticato calcolatore programmabile.

BOBINE IN ARIA

Il tipo più diffuso di induttore è sicuramente quello realizzato con filo avvolto in aria o su supporto cilindrico isolante.

Il calcolo di questo viene effettuato mediante l'equazione

$$L = 4 \pi^2 K n^2 d$$

dove $n = n'$ spire e $d =$ diametro dell'induttore, la quale implica un parametro K dipendente dal rapporto tra il diametro e la lunghezza dell'avvolgimento, parametro rilevabile del resto dal grafico 1 o dalla tabella 1 allegati.

La scelta del rapporto d/L deve essere effettuata dal costruttore tenendo presente che il massimo Q si ha approssimativamente quando il rapporto vale 0,5 da cui $K = 0,01026$.

Dalla formula di Nagaoka si ottiene la formula inversa per giungere al numero delle spire in funzione del valore di induttanza cercato:

$$N = \sqrt{\frac{L}{4 \pi^2 K d}}$$

Come visibile, una simile equazione comporta scelte arbitrarie per quanto riguarda la lunghezza e il diametro del componente, per cui, per avere dimensioni accettabili e rendimento elettrico sufficiente, è necessario avere un certo « colpo d'occhio » ottenibile solo con una certa esperienza o quanto meno dall'osservazione di induttori già realizzati da altri e di valore similare.

Non male sarebbe a tal proposito prendere, per fare esperienza, un induttore, e con le formule sopra riportate calcolarne il valore per ottenere così una sommaria idea dello stesso. Inoltre, purtroppo, non è possibile conoscere, per le bobine in aria, con semplicità, il fattore di qualità e la gamma di frequenza di utilizzo del componente.

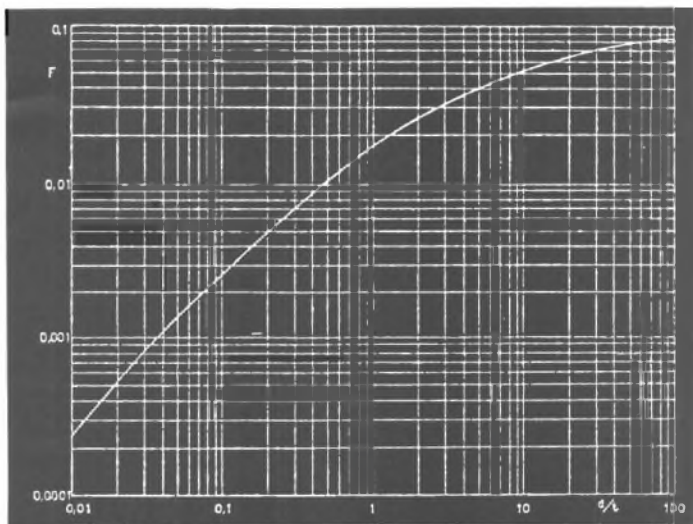


grafico 1

Coefficiente K nella formula di Nagaoka.

E' necessario ricordarsi che in una induttanza da pochi microhenry, quali quelle che si utilizzano nelle onde corte, la capacità parassita è dell'ordine massimo di alcuni picofarad e quindi sarà sufficiente, in sede di dimensionamento di un circuito oscillante, tenere conto dell'apporto di quest'ultimo parametro.

Come se non bastasse, ulteriori problemi nascono quando si tratta di induttori con nucleo: la caratteristica curva di isteresi dei materiali magnetici rende il componente non lineare e la cosa introduce una quantità di nuovi problemi.

Per quanto riguarda gli induttori per RF con nucleo regolabile, è assurdo che tanti progettisti presentino nelle già viste tabelle componenti induttanze delle quali riportano « ... su supporto di diametro ... con nucleo in ferrite regolabile ».

Ora, esiste una quantità di tipi di nuclei magnetici in ferrite dalle caratteristiche di permeabilità magnetica e di frequenza ottimale di lavoro così diverse da rendere spesso problematico il funzionamento delle copie della realizzazione originale.

A questo punto il Lettore potrebbe pensare che effettivamente la realizzazione di induttori di qualità, per uso amatoriale o professionale che sia, rappresenti una prerogativa di poche persone elette.

Come vedremo, invece, la soluzione c'è, anche se leggermente antieconomica se riferita all'ormai vecchio sistema dell'induttore in aria.

Diametro lunghezza	K	Diametro lunghezza	Diametro lunghezza	K	
0.00	0,0000000	1,50	0,02238	6,00	0,04293
0.02	0,0004972	1,55	0,02282	6.20	0,04344
0.04	0,000988	1,60	0,02325	6.40	0,04394
0.06	0,001467	1,65	0,02367	6,60	0,04443
0.08	0,001939	1,70	0,02408	6,80	0,04489
0.10	0,002404	1,75	0,02448	7,00	0,04534
0.12	0,002861	1,80	0,02487	7,20	0,04578
0.14	0,003310	1,85	0,02525	7.40	0,04621
0.18	0,003752	1,90	0,02562	7,60	0,04664
0.10	0,004186	1,95	0,02599	7,80	0,04705
0.20	0,004814	2,00	0,02635	8,00	0,04745
0.22	0,005034	2,10	0,02704	8,50	0,04840
0.24	0,005447	2,20	0,02771	9,00	0,04931
0.26	0,005854	2,30	0,02836	9,50	0,05016
0.28	0,006254	2,40	0,02898	10,00	0,05097
0.30	0,006647	2,50	0,02957	10,00	0,05097
0.32	0,007034	2,60	0,03015	11,00	0,05248
0.34	0,007415	2,70	0,03071	12,00	0,05386
0.36	0,007790	2,80	0,03125	13,00	0,05514
0.38	0,008159	2,90	0,03177	14,00	0,05633
0.40	0,008522	3,00	0,03228	15,00	0,05743
0.42	0,008883	3,10	0,03277	16,00	0,05845
0.44	0,009232	3,20	0,03325	17,00	0,05940
0.46	0,009578	3,30	0,03372	18,00	0,06030
0.48	0,009919	3,40	0,03417	19,00	0,06116
0.50	0,01026	3,50	0,03461	20,00	0,06197
0.55	0,01107	3,60	0,03503	22,00	0,06348
0.60	0,01188	3,70	0,03545	24,00	0,06488
0.65	0,01262	3,80	0,03589	25,00	0,06613
0.70	0,01335	3,90	0,03628	28,00	0,06732
0.75	0,01406	4,00	0,03665	30,00	0,0684
0.80	0,01474	4,10	0,03703	35,00	0,0708
0.85	0,01540	4,20	0,03740	40,00	0,0730
0.90	0,01604	4,30	0,03776	45,00	0,0750
0.95	0,01668	4,40	0,03811	50,00	0,0766
1.00	0,01726	4,50	0,03848	60,00	0,0794
1.05	0,01784	4,60	0,03880	70,00	0,0819
1.10	0,01840	4,70	0,03913	80,00	0,0841
1.15	0,01895	4,80	0,03946	90,00	0,0860
1.20	0,01948	4,90	0,03978	100,00	0,0877
1.25	0,02000	5,00	0,04009		
1.30	0,02050	5,20	0,04070		
1.35	0,02099	5,40	0,04128		
1.40	0,02147	5,60	0,04185		
1.45	0,02193	5,80	0,04240		

tabella 1

Valori di K nella formula di Nagaoka.

INDUTTORI A NUCLEO TOROIDALE

Da alcuni anni sono reperibili sul mercato con relativa facilità nuclei ferromagnetici di forma toroidale che racchiudono in sé una tale quantità di vantaggi da offrire ottime caratteristiche di ordine elettrico e meccanico nella realizzazione di induttori di medio-alta qualità.

Il primo innegabile vantaggio derivante dalla forma toroidale è quello per cui il flusso rimane circoscritto all'interno del componente stesso, cioè, contrariamente a quanto accade per i tipi di induttori trattati precedentemente per i quali il flusso con le sue linee di forza occupa tutto lo spazio circostante, nei toroidi le linee di forza, essendo circoscritte, non possono creare quegli effetti nocivi di accoppiamento tra induttori, che spesso sono causa di autooscillazioni, in base al principio del trasformatore.

Non si creda comunque di risolvere problemi di accoppiamento di una bobina in aria con uno schermo ferromagnetico perché se da una parte è vero che questo limita l'accoppiamento stesso, crea d'altro canto problemi irrisolvibili quali una diminuzione del Q del $20 \div 30\%$ e un discreto effetto capacitivo. Non è questo il solo vantaggio dei toroidi: non trascurabile il fatto che il nucleo stesso ha una permeabilità magnetica certamente superiore a quella dell'aria, permettendo così di realizzare un determinato valore di induttanza con un numero di spire sicuramente minore rispetto a quello dell'induttore in aria.

A questo punto il Lettore potrebbe chiedersi perché abbiamo precedentemente criticato la realizzazione di induttori cilindrici tradizionali con nucleo: prima di tutto è sufficiente riflettere su quanto precedentemente detto a riguardo del flusso magnetico concatenato con la bobina, per il quale i problemi rimangono, e in aggiunta a ciò per eliminare effetti di riduzione del Q dovuti a correnti parassite nel nucleo i toroidi sono realizzati (almeno quelli di cui parleremo) in una particolare polvere di ferro « divisa e isolata » a livello molecolare.

Questa fine tecnologia permette quindi di avere un materiale con una discreta permeabilità magnetica associata a trascurabili perdite per dissipazione nella sua struttura.

Tra le altre cose i nuclei toroidali Amidon al contrario dei nuclei in ferrite sono facilmente riconoscibili in quanto la permeabilità del materiale è facilmente rilevabile dall'osservazione del **colore** del nucleo toroidale stesso.

REALIZZAZIONE DEGLI INDUTTORI CON NUCLEO TOROIDALE AMIDON

Come vedremo il vantaggio principale dei nuclei **AMIDON** è la incredibile semplicità di dimensionamento: la Casa fornisce una serie di caratteristiche riportate da tabella A a tabella E che permettono una precisa scelta del nucleo più appropriato.

Questi ultimi sono di varia mescola e permeabilità, e sono individuati oltre che dal colore (che identifica la mescola) dalle dimensioni.

In pratica ogni nucleo viene indicato nelle tabelle con una siglatura, ad esempio T50-12 dove T significa toroide in polvere di ferro: 50 indica le dimensioni del nucleo rilevabili dalla prima tabella e 12 identifica la mescola n. 12 della quale nella tabella B si rilevano i colori caratteristici (verde e bianco) e le gamme di frequenza di corretto impiego e di massimo Q.

TAB A

IRON POWDER TOROIDAL CORES

IRON POWDER toroidal cores have become very popular with the radio amateurs because of their low loss, high-Q, self-shielding characteristics and their excellent stability. They have very favorable permeability factors for use at the amateur frequencies and are practically non-saturable. The advantages of iron powder toroidal cores have been treated in detail in many amateur magazine articles as well as other electronic literature. Also see ARRL Radio Amateur's Handbook.

PART NUMBER CODE: Part number indicates Outer Diameter as well as type of material.

Example: T-200-2 has an Outer Diameter of 2 inches with a #2 mix. Example: T-50-6 has an Outer Diameter of 1/2 inch with a #6 mix.

IRON POWDER TOROIDAL CORES		AL VALUES (uh/100 turns)							ALL STOCK ITEMS	
CORE SIZE	41-Mix Green u=75 #	3-Mix Grey u=35 .05 - .5 MHz	15-Mix Rd & Wh u=25 .1 - 2 MHz	1-Mix Blue u=20 .5 - 5 MHz	2-Mix Red u=10 1 - 30 MHz	6-Mix Yellow u=8 10 - 90 MHz	10-Mix Black u=6 50 - 150 MHz	12-Mix Gr & Wh u=3 100 - 200 MHz	0-Mix Tan u=1 150 - 300 MHz	
T-200 --	755	360	NA	NA	120	105	NA	NA	NA	
T-184 --	1640	720	NA	NA	240	195	NA	NA	NA	
T-157 --	970	420	NA	NA	140	115	NA	NA	NA	
T-130 --	785	330	215	200	110	96	NA	NA	15.0	
T-106 --	900	405	330	280	135	116	NA	NA	19.2	
T-94 --	590	248	NA	160	84	70	56	32	10.6	
T-80 --	450	180	170	115	55	45	34	22	8.9	
T-68 --	420	195	180	115	57	47	31	21	7.5	
T-50 --	320	175	135	100	50	40	31	18	6.4	
T-44 --	229	180	160	105	57	42	33	NA	6.5	
T-37 --	308	110	90	80	42	30	25	15	4.9	
T-30 --	375	110	83	85	43	36	25	16	6.0	
T-25 --	225	100	85	70	34	27	19	13	4.3	
T-20 --	175	90	65	52	27	22	16	10	3.5	
T-16 --	130	61	NA	44	22	19	13	8	3.0	
T-12 --	112	60	NA	48	24	19	12	7.5	3.0	

NA - Not available in that size. * See Magnetic Properties Chart. Turns = 100 $\sqrt{\text{Desired L (uh)} \div A_L \text{ Value (above)}}$
 Add MIX number to CORE SIZE in space provided (-) for complete part number. All frequency figures optimum.

NOTE: All cores are useful over a much broader frequency range than shown above, with an expected loss of Q. See "Magnetic Properties" chart.

Physical dimensions

Core Size	Outer Diam.	Inner Diam.	Height	Cross Sect.	Mean Length	Core Size	Outer Diam.	Inner Diam.	Height	Cross Sect.	Mean Length
	(in.)	(in.)	(in.)	Area cm ²	cm		(in.)	(in.)	(in.)	Area cm ²	cm
T-200	2.000	1.250	.550	1.330	12.97	T-50	.500	.303	.190	.121	3.20
T-184	1.840	.950	.710	2.040	11.12	T-44	.440	.229	.159	.107	2.67
T-157	1.570	.950	.570	1.140	10.05	T-37	.375	.205	.128	.070	2.32
T-130	1.300	.780	.437	.930	8.29	T-30	.307	.151	.128	.065	1.83
T-106	1.060	.560	.437	.706	6.47	T-25	.255	.120	.096	.042	1.50
T-94	.942	.560	.312	.385	6.00	T-20	.200	.088	.067	.034	1.15
T-80	.795	.495	.250	.242	5.15	T-16	.160	.078	.060	.016	0.75
T-68	.650	.370	.190	.196	4.24	T-12	.125	.062	.050	.010	0.74

The POWER HANDLING CAPABILITY of any iron powder or ferrite toroidal core is dependent upon circuit application and frequency, as well as core size and material. The formula for this calculation (taking all necessary factors into account) is rather involved, so perhaps the amateur would prefer to use the "rule-of-thumb" method instead. The T-200-2 (a 2 inch O.D. core) will handle at least 100 watts when used in a normally tuned LC tank circuit, and up to 1000 watts (transmitter input) when used as a Broad-band Antenna Balun. The power handling capabilities of the smaller size cores may be referenced to the T-200-2 as follows: When the O.D. of the T-200-2 is divided by two, the power figure should be divided by four, etc. To minimize the possibility of core saturation, on power peaks, use the largest practical core that space and cost will permit. For those who wish to calculate mathematically, see Ampere's Law and Faraday's Law elsewhere in this flyer.

When designing for the best figure of merit ("Q"), the following suggestions apply: Use the entire periphery of the core for winding and use the largest wire size that is practicable, space the turns if necessary. "Q" is the inductive reactance divided by the copper resistance, so the wire or wires offering the least resistance will yield the highest "Q". It is sometimes advantageous to use smaller wire sizes in a bifilar or trifilar "ribbon" to create a low resistance, high "Q" inductor. The "Q" can be measured on a Bode Plot or Resonant "Q" Meter. Relative "Q" can be obtained by noting the depth of the dip on a CDO or Tuner Dipper. Such readings are difficult on the smaller toroids and the use of a simple temporary link between the toroid and the CDO is suggested.

The "Q" of a tuned circuit is sometimes purposely reduced by bridging the circuit with a "swamping" resistor. Incoherent "Q" reduction can result from swamping the toroid by incorporating it into a low impedance circuit. Use links, taps or secondaries to match impedances and thus protect the toroid "Q". The toroid lends itself to broadband RF transformers that offer wide frequency excitation and good efficiency. These are made by winding the primary and the secondary in bifilar or trifilar. This method is particularly effective in interstage work where extra tuning controls are not wanted. The high "Q" of the toroid and the convenience of the "slug-tuned" coil can be combined by connecting the two in series in a tuned circuit.

TAB B

IRON POWDER TOROIDAL CORES

When selecting powdered cores for a specific purpose it is helpful to understand the basic differences between the FERRITE and the IRON POWDER materials. Each group has a number of various sizes and mixes. Each mix has slightly different specifications in regard to permeability, saturation flux density, frequency range, temperature coefficient, etc. This often the design engineer a wide choice in the selection of cores.

Basically, the FERRITE materials are a composition of magnesium, nickel, zinc, manganese, iron and other oxides. These elements are used in various proportions and particle-size to achieve certain desired characteristics in the final product.

FERRITES, such as those encountered in rods, beads and some toroid cores can offer a greater permeability-factor leverage. The permeability of FERRITE rods and beads will run from 125 to 2500 Mu, and other ferrite mixtures as high as 5000 Mu. This provides the advantage of achieving a relatively high inductance with minimum component size. Similar advantages apply to transformers having ferrite cores. The TV horizontal deflection transformer is a good example.

In view of this, one might reasonably ask: Why not use FERRITES for all inductive requirements? It is a matter of compromise between high permeability and stability. Usually, the higher the permeability of a material, the less stable it is apt to be in the higher frequency ranges. The IRON POWDER core can offer a compromise between high Mu gain and stability. These cores have permeability factors ranging from 90 down to about 3.5 Mu, which will yield inductors with excellent "Q" factors and extremely good stability over a wide range of flux levels, DC crises, and temperatures. In frequency-determining circuits, such as would be found in an oscillator or a carefully

tuned RF amplifier operating above 100 Kc, the IRON POWDER core is ideal and offers maximum stability.

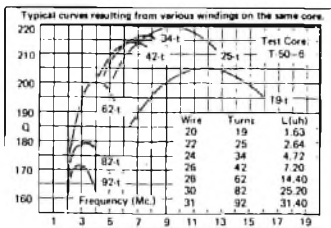
IRON POWDER cores are constructed of very finely divided iron powder particles which are insulated from each other. Using a binder medium, this material is pressed into the familiar toroid shape and baked at very high temperature. This procedure assures an even distribution of powder which contributes to the relatively constant effective permeability.

The spectral ranges of various iron-powder mixtures are determined by particle make-up, size and density. Extremely fine particles and thin, even distribution within the binder medium allow the production of highly stable cores for use in the UHF range and beyond. Therefore, they find their uses being used in circuitry from the simple audio choke to the more complex artificial delay lines working well above most amateur bands.

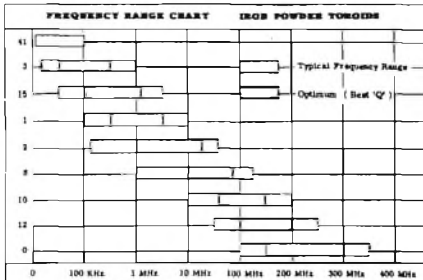
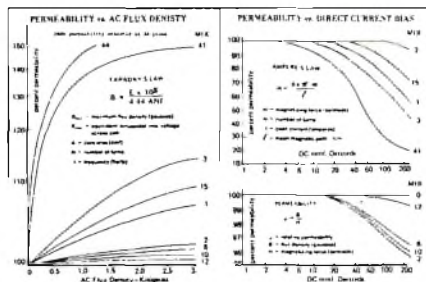
IRON POWDER cores are not easily saturated, therefore they are not recommended for DC to DC converters, magnetic amplifiers, memory circuits or any other circuit relying on core saturation for its operation. Circuits such as these require saturable cores, which FERRITES can provide.

All toroidal inductors are highly self-shielding. Most of the flux lines are contained wholly within the toroidal form, thereby keeping the flux density essentially uniform over its entire magnetic path. stray magnetic fields are very little, if any, effect on toroids. It is seldom necessary to enclose each RF circuit in a little metal room of its own to prevent feedback and cross-talk. Toroids simply do not talk to each other.

Hopefully the data contained herein will be sufficient for the amateur to make a good choice in his selection of cores.



Material	Color Code	Permeability	Temperature Stability	Optimum Frequency Range	Typical Frequency Range
42	Red	10	±0.1%	100-1000 Mc	100-1000 Mc
41	Orange	10	±0.1%	100-1000 Mc	100-1000 Mc
40	Yellow	10	±0.1%	100-1000 Mc	100-1000 Mc
39	Green	10	±0.1%	100-1000 Mc	100-1000 Mc
38	Blue	10	±0.1%	100-1000 Mc	100-1000 Mc
37	Purple	10	±0.1%	100-1000 Mc	100-1000 Mc
36	Brown	10	±0.1%	100-1000 Mc	100-1000 Mc
35	Black	10	±0.1%	100-1000 Mc	100-1000 Mc
34	White	10	±0.1%	100-1000 Mc	100-1000 Mc
33	Grey	10	±0.1%	100-1000 Mc	100-1000 Mc
32	Light Blue	10	±0.1%	100-1000 Mc	100-1000 Mc
31	Light Green	10	±0.1%	100-1000 Mc	100-1000 Mc
30	Light Yellow	10	±0.1%	100-1000 Mc	100-1000 Mc
29	Light Orange	10	±0.1%	100-1000 Mc	100-1000 Mc
28	Light Red	10	±0.1%	100-1000 Mc	100-1000 Mc
27	Light Purple	10	±0.1%	100-1000 Mc	100-1000 Mc
26	Light Blue-Black	10	±0.1%	100-1000 Mc	100-1000 Mc
25	Light Green-Black	10	±0.1%	100-1000 Mc	100-1000 Mc
24	Light Yellow-Black	10	±0.1%	100-1000 Mc	100-1000 Mc
23	Light Orange-Black	10	±0.1%	100-1000 Mc	100-1000 Mc
22	Light Red-Black	10	±0.1%	100-1000 Mc	100-1000 Mc
21	Light Purple-Black	10	±0.1%	100-1000 Mc	100-1000 Mc
20	Light Blue-Black	10	±0.1%	100-1000 Mc	100-1000 Mc
19	Light Green-Black	10	±0.1%	100-1000 Mc	100-1000 Mc
18	Light Yellow-Black	10	±0.1%	100-1000 Mc	100-1000 Mc
17	Light Orange-Black	10	±0.1%	100-1000 Mc	100-1000 Mc
16	Light Red-Black	10	±0.1%	100-1000 Mc	100-1000 Mc
15	Light Purple-Black	10	±0.1%	100-1000 Mc	100-1000 Mc
14	Light Blue-Black	10	±0.1%	100-1000 Mc	100-1000 Mc
13	Light Green-Black	10	±0.1%	100-1000 Mc	100-1000 Mc
12	Light Yellow-Black	10	±0.1%	100-1000 Mc	100-1000 Mc
11	Light Orange-Black	10	±0.1%	100-1000 Mc	100-1000 Mc
10	Light Red-Black	10	±0.1%	100-1000 Mc	100-1000 Mc
9	Light Purple-Black	10	±0.1%	100-1000 Mc	100-1000 Mc
8	Light Blue-Black	10	±0.1%	100-1000 Mc	100-1000 Mc
7	Light Green-Black	10	±0.1%	100-1000 Mc	100-1000 Mc
6	Light Yellow-Black	10	±0.1%	100-1000 Mc	100-1000 Mc
5	Light Orange-Black	10	±0.1%	100-1000 Mc	100-1000 Mc
4	Light Red-Black	10	±0.1%	100-1000 Mc	100-1000 Mc
3	Light Purple-Black	10	±0.1%	100-1000 Mc	100-1000 Mc
2	Light Blue-Black	10	±0.1%	100-1000 Mc	100-1000 Mc
1	Light Green-Black	10	±0.1%	100-1000 Mc	100-1000 Mc
0	Light Yellow-Black	10	±0.1%	100-1000 Mc	100-1000 Mc



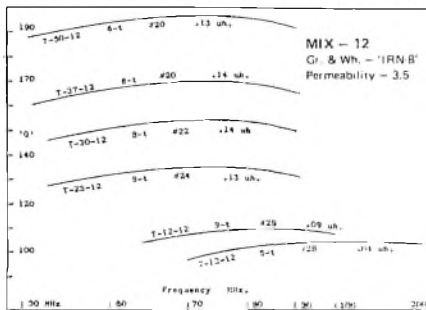
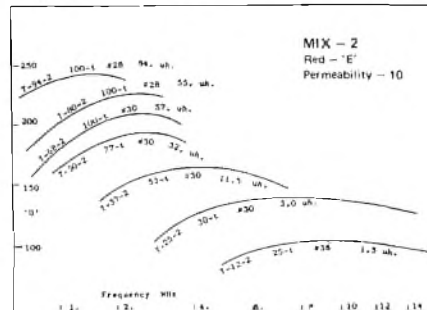
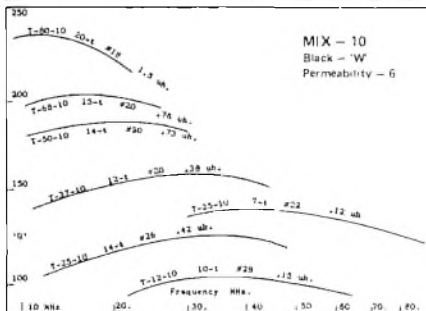
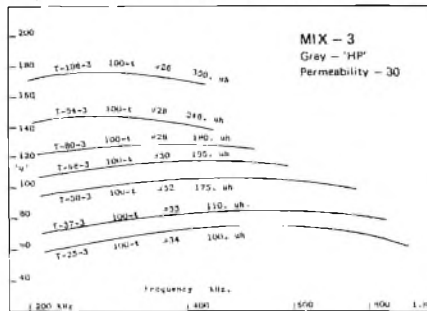
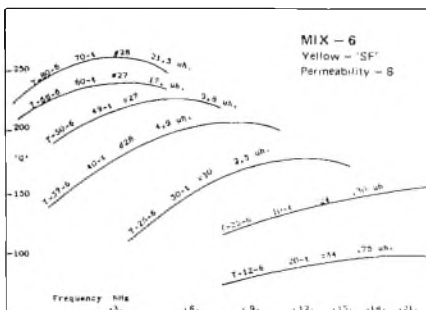
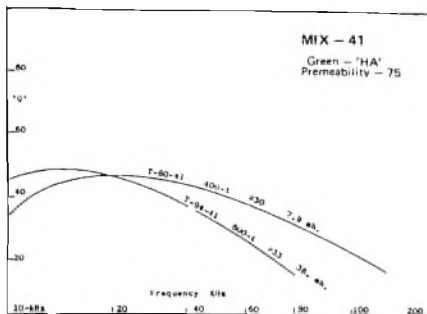
Wire Size	Approximate number of turns - single layer wound - recommended sizes											
	T-100	T-108	T-108	T-44	T-48	T-48	T-57	T-26	T-12			
10	32	20	12	12	10	8	4	1				
12	43	28	18	18	14	9	6	3				
14	54	32	21	21	18	13	8	5	1			
16	66	41	28	28	24	17	13	7	2			
18	88	53	37	37	32	23	18	10	4	1		
20	111	67	47	47	41	29	23	14	6	1		
22	146	86	62	62	53	38	30	18	8	2		
24	179	108	79	79	67	48	38	25	13	4		
26	225	139	97	97	86	63	50	33	17	7		
28	281	175	123	123	108	80	64	47	23	9		
30	368	217	154	154	138	101	81	54	29	13		
32	438	272	184	184	171	127	103	68	38	17		
34	557	348	237	237	218	163	132	86	48	23		
36	695	428	304	304	298	199	163	108	62	30		
38	876	544	388	388	354	256	208	140	80	39		
40	1103	687	492	492	434	324	264	178	102	51		

IRON POWDER TOROIDAL CORES

Q—CURVES

Revision A

The following Q curves will serve as a guide in the selection of R.F. Toroid Cores for your application. Performance extracts are typical of a wide variety of cores in our supply.



TAB D

IRON POWDER TOROIDAL CORES

WINDING DATA

Revision A

The following data is intended as a guide to help in the selection of suitable toroidal cores for your application. Each core/winding combination is shown at near maximum Q.

Core	L/100t ±5%	Wire	Turns	L(μh)	Q Test Freq. (KHz)	Q
T-94-41	590 μh	#13	800	38	15	46
T-80-41	450 μh	#30	400	7.9	30	43
T-130-3	*330μh	#28	200	1.4	60	142
		#28	400	4.2	80	176
		#30	800	18	50	150
T-106-3	*405μh	#24	200	1.41	20	160
		#28	400	5.6	60	164
		#32	800	22	30	126
T-94-1	248 μh	#28	100	24	300	148
		#28	200	88	200	148
		#30	400	3.58	100	158
T-80-3	180 μh	#28	100	18	400	132
		#30	400	2.9	100	137
		#30	800	11.80	40	120
T-68-3	195 μh	#32	200	82	200	130
		#33	400	3.4	100	125
T-50-3	175 μh	#37	100	175	500	110
		#34	200	620	200	108
T-37-3	110 μh	#33	100	116	500	86
		#34	200	480	300	96
T-25-3	100 μh	#34	50	0.28	1000	66
		#34	100	1.02	600	78
		#36	200	380	400	86
T-12-3	60 μh	#16	75	0.04	2000	32
		#40	50	0.16	1500	32

*Values changed since last printing.

Core	L/100t ±5%	Wire	Turns	L(μh)	Q Test Freq. (MHz)	Q
T-130-2	110 μh	150/44	200	430	16	420
		220/44	170	253	20	500
T-106-2	135 μh	15/44	100	135	30	475
		#24	80	84	1	260
		#20	40	21.6	2	360
T-94-2	84 μh	#30	125	130	.90	232
		15/44	200	328	78	278
		15/44	400	1420	.37	276
T-80-2	55 μh	#20	36	7.8	4	280
		#26	80	37	2.5	246
		#34	220	276	8	188
T-68-2	57 μh	#20	26	3.9	5.5	260
		#28	79	33	2.5	240
		#34	187	192	1	150
T-50-2	150μh	#30	19	2.08	6.4	207
		#30	79	31	2.5	240
		#32	200	218	4	174
T-37-2	42 μh	#20	2	.64	8	158
		#24	22	2.6	7	170
		#26	28	3.34	6	183
T-25-2	34 μh	#26	14	.72	12	136
		#30	30	3.22	8	162
		#36	65	14.5	5	148
T-12-2	24 μh	#28	9	.19	21	75
		#32	17	.65	15	84
		#40	40	3.37	10	85

Core	L/100t ±5%	Wire	Turns	L(μh)	Q Test Freq. (MHz)	Q
T-94-6	70 μh	#16	25	4.7	5	350
		#20	20	3	6	340
		#20	35	8.7	3	339
T-80-6	45 μh	#20	15	1.1	10	255
		#16	20	1.88	9	317
		#20	28	3.6	6	299
T-68-6	47 μh	#20	23	2.42	10	304
		#20	15	1.08	10	270
		#22	33	5.1	6	305
T-50-6	40 μh	#18	14	.86	14	252
		#22	25	2.60	10	260
		#26	42	7.5	6	244
T-37-6	30 μh	#20	12	.48	18	181
		#22	17	.97	14	194
		#26	28	2.45	20	195
T-25-6	27 μh	#24	10	.30	21	152
		#28	20	1.10	15	164
		#36	67	11.7	6	138
T-12-6	19 μh	#30	11	.23	25	67
		#34	18	.56	20	90
		#36	25	1.06	15	96
T-80-10	34 μh	#16	10	.41	20	195
		#18	15	.83	15	202
		#26	30	2.91	10	188
T-68-10	32 μh	#18	10	.37	20	156
		#20	15	.79	15	172
		#22	30	2.96	10	176
T-50-10	31 μh	#20	10	.37	25	178
		#20	15	.8	18	190
		#22	20	1.38	13	188
T-37-10	25 μh	#20	8	.20	30	138
		#22	15	.61	20	165
		#26	25	1.54	15	163
T-25-10	19 μh	#22	7	.12	45	136
		#24	9	.18	35	141
T-12-10	12 μh	#28	7	.06	60	120
		#30	11	.16	40	101
		#32	14	.26	35	87
T-37-12	15 μh	#20	4	.05	120	142
		#20	6	.09	80	132
T-25-12	13 μh	#22	6	.07	120	127
		#26	10	.16	60	130
		#26	14	.28	45	130
T-12-12	8.5 μh	#28	5	.04	160	113
		#28	7	.06	120	134
		#30	11	.1	100	100

USEFUL INDUCTANCE AND TURNS FORMULA:

The desired inductance or number of turns, using a particular core, may be calculated with this formula when the inductance per 100 turns is known.

$$\frac{L_1}{N_1^2} = \frac{L_2}{N_2^2}$$

L_1 = Known inductance per 100 turns N_1 = 100 turns

L_2 = Inductance (known or unknown) N_2 = Number of turns (known or unknown)

FERRITE TOROIDAL CORES

Ferrites are used extensively in the electronics field for a variety of valid reasons. The inductive magnifications resulting from their high permeability factors are employed to good advantage from Audio to UHF. The high electrical resistance, low magnetic circulatory losses and hi Mu's make them natural for loading coils, wide-band transformers, filter circuit elements, pulse transformers and RF transformers. Where circuit criteria permit, Ferrite cores allow inductive values that are not otherwise obtainable unless the economies of space, cost and weight are ignored.

Ferrites are magnetic compounds that are formed with binders to create the desired core shapes. Iron oxide is combined with other metallic oxides to make a mix that possesses the required performance traits that the art demands. These additives usually include the oxides of Nickel, Manganese, Zinc or Magnesium. The manufacturing process results in a hard ceramic-like substance that provides the desirable qualities of physical ruggedness, high permeability factors and low eddy current losses.

CORE SIZE		FERRITE TOROIDS		PHYSICAL PROPERTIES					
OD	ID	Hgt	A_w	l_p	V_p	A_p	A_w	A_w	
FT-23	2.30	1.70	0.60	0.0530	5.58	0.0174	1.254	0.1131	
FT-31	3.75	1.87	1.75	0.1195	4.16	0.0994	3.610	0.2755	
FT-50	5.00	2.81	1.88	0.2666	1.90	0.2150	7.300	0.6200	
FT-82	8.25	5.20	2.50	0.3810	2.078	0.7890	1.3000	2.1200	
FT-114	11.50	7.48	3.25	0.5810	2.920	1.6290	2.3200	4.3500	

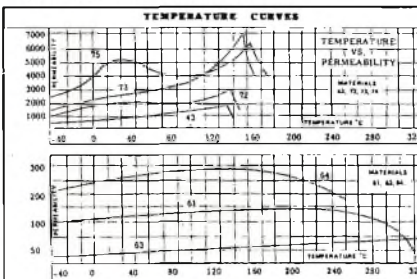
OD - Outer diameter (Inches) A_w - Effective magnetic cross-sectional area (in²)
 ID - Inner diameter (Inches) l_p - Effective magnetic path length (Inches)
 Hgt - Height (Inches) V_p - Effective magnetic volume (in³)
 A_w - Total window area (in²) A_p - Surface area exposed for cooling (in²)

CORE SIZE	FERRITE TOROIDS μ_L - CHART (mh/1000-t)				
	63-Mix u=40	61-Mix u=125	43-Mix u=850	72-Mix u=2000	75-Mix u=5000
FT-23	7.9	24.8	189.0	396.0	990.0
FT-31	17.7	55.3	420.0	884.0	2310.0
FT-50	22.0	68.0	573.0	1100.0	2750.0
FT-82	23.4	73.3	557.0	1172.0	2930.0
FT-114	25.4	79.3	603.0	1268.0	3170.0

Number turns = 1000 $\sqrt{\text{desired } L \text{ (mh)}} \div A_p \text{ -value (above)}$

An easy appreciation of the ways of Ferrite toroid cores might begin with the recalling that they, like many other other devices, are subject to "trade-offs." The material recipes of the Ferrite cores are such that perfect thermal stability is sometimes sacrificed for higher permeability. When μ is taken into consideration, the thermal stability of Ferrites is better than you would expect. As shown here in the thermal chart, the stability decreases as the permeability factor increases. The wide thermal excursion in the chart should be compared with the probable in-use range and it will be seen that a short section of each curve comes into play and more relative stability exists.

The comparative ease with which some Ferrite cores can be saturated presents some problems and some benefits. The problems include "lock-up" which changes and then immobilizes the inductive value of the Ferrite cored component. This can mean detuning with saturation or flat-topping with its attendant harmonic content. Sharp corners are always rich in harmonics. Where harmonics are sought or can be tolerated, the Ferrite core can be employed as a radio frequency automatic limiter in transmitter stages. The saturation plateau on each RF half-cycle clips the signal level to a finite value.



FERRITE MAGNETIC PROPERTIES						
Property	Unit	63-Mix	61-Mix	43-Mix	72-Mix	75-Mix
Initial Perm.		40	125	950	2000	5000
Maximum Perm.		125	450	3000	3500	8000
Saturation Flux Density @ 13 oer	Gauss	1850	2350	2750	3500	3900
Residual Flux Density	Gauss	750	1200	1200	1500	1250
Curie Temp.	$^{\circ}\text{C}$	500	300	130	150	190
Vol. Resistivity	ohm/cm	1×10^8	1×10^8	1×10^8	1×10^8	5×10^8
Opt. Freq. Range	MHz	15 - 25	.2 - 10	.01 - 1	.001 - 1	.001 - 1
Specific Gravity		4.7	4.7	4.5	4.8	4.8
Loss Factor		1×10^{-5} @ 25 MHz	2.2×10^{-5} @ 2.5 MHz	2.5×10^{-5} @ 2 MHz	9.0×10^{-5} @ 1 MHz	5.0×10^{-5} @ 1 MHz
Coercive Force	Oer.	2.40	1.50	0.30	0.18	0.18
Temp. Co-eff. of Initial Perm.	$\% / ^{\circ}\text{C}$.10	.10	.20	.90	see curve

Since the ring-like configuration of the Toroid core allows the ultimate in Ferrite property utilization, we feature a wide choice of that core form. Ferrite toroid cores of the more popular sizes in materials 43, 61, 63, 72 and 75 are available for immediate shipment from the large AMIDON stock.

Some of the more esoteric terms and definitions relating to Ferrite magnetic material behavior are beyond the scope of these Flyer Notes but are prominent in the in-depth literature.

In tabella B, oltre alla presentazione delle caratteristiche salienti, cosa del resto già da noi parzialmente descritta, vi sono anche altre tabelle utili a una prima visione di insieme e che possono fornire dati quali il tipo di materiale da utilizzare in funzione della frequenza di lavoro, la permeabilità relativa a ognuna di queste « miscele » e il massimo numero di spire avvolgibili su un toro di determinate dimensioni in funzione del diametro del filo.

In tabella C sono maggiormente evidenziati gli andamenti dei Q determinati dalla mescola, dalle dimensioni e dal numero di spire in funzione della frequenza, cosa questa utilissima sia per una scelta iniziale che per una verifica finale del Q dell'induttore realizzato.

Nella tabella D sono raccolti tutti i parametri per il calcolo e la realizzazione della induttanza.

ESEMPIO DI CALCOLO

Per semplificare e rendere più chiara la procedura da seguirsi nella consultazione delle tabelle e per la realizzazione pratica di un induttore toroidale immaginiamo di dover ora dimensionare un circuito oscillante alla frequenza di 14,2 MHz.

Il Q richiesto minimo supponiamo sia 150.

La classica formula del circuito oscillante permette un numero infinito di combinazioni, capacità-induttanza per ogni frequenza.

Qui la scelta sarebbe nuovamente arbitraria, se non che considerazioni di carattere pratico suggeriscono come prima cosa l'impiego di un compensatore in quanto non si può agire sulla induttanza per poter avere in pratica l'esatta frequenza di risonanza voluta.

In secondo luogo la capacità di questo deve essere tale da far sì che sia trascurabile l'apporto delle capacità parassite già viste, pur rimanendo quanto più bassa possibile affinché il Q di questo, non potendo essere infinito, non vada a ridurre il fattore di merito dell'intero circuito oscillante e di conseguenza la sua selettività.

Come precedentemente detto, le capacità parassite in un simile circuito sono dell'ordine di alcuni picofarad e quindi scegliere una capacità fissa di ordine dieci volte superiore (decine di picofarad) rappresenta una valida scelta, almeno nel campo delle onde corte.

Sono comunemente in commercio, ad esempio, compensatori con escursione del valore tra 10 e 60 pF ceramici che al basso costo uniscono un sufficiente valore di Q.

Per tutelarsi dalle variazioni di induttanza dovute alle tolleranze costruttive e ai già visti parametri parassiti, è conveniente prendere come capacità di risonanza quella caratteristica della posizione di metà corsa del compensatore che nel caso di componenti a variazione lineare vale 35 pF.

Nota la capacità, è quindi possibile trovare il valore della induttanza dall'equazione:

$$L = \frac{1}{2 \pi f C}$$

dove f = frequenza in Hz (hertz); C = capacità in F (farad); L = induttanza in H (henry).

Nel caso particolare:

$$L = \frac{1}{(2\pi \cdot 14,2 \cdot 10^6)^2 \times 35 \cdot 10^{-12}} =$$

$$\frac{1}{(8,92 \cdot 10^7)^2 \times 35 \cdot 10^{-12}} =$$

$$\frac{1}{7,96 \cdot 10^{15} \times 35 \cdot 10^{-12}} = \frac{1}{2,79 \cdot 10^5} = 3,59 \cdot 10^{-6} \text{ H} \approx 3,5 \mu\text{H}.$$

A questo punto è necessario scegliere il nucleo toroidale più adatto per realizzare il voluto valore di induttanza alla voluta frequenza e con un valore di Q maggiore o uguale rispetto a quello richiesto.

È ora necessario scegliere attraverso le tabelle B o C il materiale e la dimensione caratterizzate da un sufficiente Q alla frequenza di lavoro: dalla tabella C si rilevano sufficienti Q per toroidi quali T68-6; T50-6; T37-6; T80-10; T68-10; T50-10; T25-6, e qui la scelta del nucleo da utilizzare si fa nuovamente arbitraria; si tratta però di scegliere tra diversi modi di realizzare componenti che rispondono tutti alle esigenze di partenza, condizione questa raramente verificata quando si tratta di induttori ad alto Q realizzati in aria.

Ora la scelta viene effettuata in base a considerazioni di carattere pratico quali dimensioni, costo, reperibilità e numero delle spire da avvolgere. Rivolgendo attenzione, però, alla tabella C è visibile come con valori di induttanza dell'ordine di quello da realizzare il materiale 10 abbia caratteristiche più che soddisfacenti per le nostre esigenze.

Per il calcolo delle spire dalla tabella D si ricava la induttanza per 100 spire di avvolgimento che vale $34 \mu\text{H}$ e che deve essere inserita nella equazione:

$$n = \sqrt{\frac{1 \cdot 10^4}{L/100 \text{ t}} \cdot L}$$

dove $L/100 \text{ t}$ = induttanza per 100 spire; L = induttanza richiesta; n = numero spire da avvolgere.

Si avrà quindi:

$$n = \sqrt{\frac{1 \cdot 10^4}{34 \cdot 10^{-6}} \cdot 3,6 \cdot 10^{-6}} =$$

$$\sqrt{2,94 \cdot 10^8 \cdot 3,6 \cdot 10^{-6}} = \sqrt{1.058,2} = 32,54 \approx 33 \text{ spire.}$$

Per quanto riguarda il diametro del filo la tabella D sotto la colonna WIRE (filo) indica il tipo di questo utilizzato secondo le norme americane, riportate nella tavola di conversione dove la prima colonna rappresenta il numero del filo (nel caso specifico # 16) e dove la seconda colonna riporta il relativo diametro in millesimi di pollice, dove questo vale 2,54 cm.

Wire A.W.G. (B.S.S.)	Diam. Mils.	Circular Mils. Area	Turns per Linear Inch		Const. duty currents in appl. wire appar.	Const. duty currents in cables in conduits per foot	Feet Per Pound Here	Ohms Per 100 Ft. 23° C.	Current Capacity 100 C.M. Per Amp.	Diam. in mm.	Nearest British S.W.G. No.
			Enamel	S.C.B.							
1	28.9	2,600	—	—	—	—	3,947	1,264	119.6	7.348	1
2	27.4	2,260	—	—	—	—	4,572	1,503	75.3	6.812	2
3	25.9	1,920	—	—	—	—	5,297	1,750	50.6	6.276	3
4	24.4	1,580	—	—	—	—	6,122	2,007	35.9	5.740	4
5	22.9	1,240	—	—	—	—	7,047	2,284	25.2	5.198	5
6	21.4	900	—	—	—	—	8,072	2,581	18.5	4.621	6
7	20.0	560	—	—	—	—	9,297	2,898	13.8	4.113	7
8	18.5	220	—	—	—	—	10,722	3,235	10.1	3.626	8
9	17.0	880	—	—	—	—	12,347	3,592	7.4	3.168	9
10	15.5	300	7.6	—	7.1	46	14,172	3,969	5.5	2.732	10
11	14.0	1,000	8.6	—	7.8	71	16,297	4,366	4.0	2.316	11
12	12.5	3,000	9.6	9.1	8.9	55	18,622	4,783	2.9	1.918	12
13	11.0	4,500	10.6	10.0	9.9	33	21,147	5,220	2.1	1.532	13
14	9.5	6,000	11.6	11.2	10.9	23	23,872	5,677	1.6	1.166	14
15	8.0	7,500	12.6	11.8	11.5	17	26,697	6,154	1.2	0.820	15
16	6.5	9,000	13.5	14.0	12.8	13	29,722	6,651	0.9	0.584	16
17	5.0	10,500	14.5	14.0	13.8	10	32,947	7,168	0.7	0.408	17
18	3.5	12,000	15.5	14.0	14.7	8	36,372	7,705	0.5	0.292	18
19	2.0	13,500	16.5	14.0	15.7	6	40,097	8,262	0.4	0.206	19
20	1.5	15,000	17.5	14.0	16.7	5	44,122	8,839	0.3	0.140	20
21	1.0	16,500	18.5	14.0	17.7	4	48,347	9,436	0.2	0.094	21
22	0.75	18,000	19.5	14.0	18.7	3	52,772	10,053	0.1	0.068	22
23	0.5	19,500	20.5	14.0	19.7	2	57,397	10,690	0.1	0.048	23
24	0.35	21,000	21.5	14.0	20.7	1	62,222	11,347	0.1	0.034	24
25	0.25	22,500	22.5	14.0	21.7	1	67,247	12,024	0.1	0.024	25
26	0.18	24,000	23.5	14.0	22.7	1	72,462	12,721	0.1	0.018	26
27	0.15	25,500	24.5	14.0	23.7	1	77,877	13,438	0.1	0.014	27
28	0.12	27,000	25.5	14.0	24.7	1	83,492	14,175	0.1	0.011	28
29	0.10	28,500	26.5	14.0	25.7	1	89,307	14,932	0.1	0.008	29
30	0.08	30,000	27.5	14.0	26.7	1	95,322	15,709	0.1	0.006	30
31	0.07	31,500	28.5	14.0	27.7	1	101,547	16,506	0.1	0.005	31
32	0.06	33,000	29.5	14.0	28.7	1	107,972	17,323	0.1	0.004	32
33	0.05	34,500	30.5	14.0	29.7	1	114,607	18,160	0.1	0.003	33
34	0.04	36,000	31.5	14.0	30.7	1	121,452	19,017	0.1	0.002	34
35	0.035	37,500	32.5	14.0	31.7	1	128,507	19,894	0.1	0.002	35
36	0.03	39,000	33.5	14.0	32.7	1	135,772	20,791	0.1	0.002	36
37	0.025	40,500	34.5	14.0	33.7	1	143,247	21,708	0.1	0.002	37
38	0.02	42,000	35.5	14.0	34.7	1	150,932	22,645	0.1	0.002	38
39	0.018	43,500	36.5	14.0	35.7	1	158,827	23,602	0.1	0.002	39
40	0.015	45,000	37.5	14.0	36.7	1	166,942	24,579	0.1	0.002	40
41	0.012	46,500	38.5	14.0	37.7	1	175,277	25,576	0.1	0.002	41
42	0.01	48,000	39.5	14.0	38.7	1	183,832	26,593	0.1	0.002	42
43	0.008	49,500	40.5	14.0	39.7	1	192,507	27,630	0.1	0.002	43
44	0.007	51,000	41.5	14.0	40.7	1	201,302	28,687	0.1	0.002	44
45	0.006	52,500	42.5	14.0	41.7	1	210,217	29,764	0.1	0.002	45
46	0.005	54,000	43.5	14.0	42.7	1	219,242	30,861	0.1	0.002	46
47	0.004	55,500	44.5	14.0	43.7	1	228,387	31,978	0.1	0.002	47
48	0.0035	57,000	45.5	14.0	44.7	1	237,642	33,115	0.1	0.002	48
49	0.003	58,500	46.5	14.0	45.7	1	247,007	34,272	0.1	0.002	49
50	0.0025	60,000	47.5	14.0	46.7	1	256,482	35,449	0.1	0.002	50
51	0.002	61,500	48.5	14.0	47.7	1	266,067	36,646	0.1	0.002	51
52	0.0018	63,000	49.5	14.0	48.7	1	275,772	37,863	0.1	0.002	52
53	0.0015	64,500	50.5	14.0	49.7	1	285,597	39,090	0.1	0.002	53
54	0.0012	66,000	51.5	14.0	50.7	1	295,542	40,327	0.1	0.002	54
55	0.001	67,500	52.5	14.0	51.7	1	305,607	41,584	0.1	0.002	55
56	0.0008	69,000	53.5	14.0	52.7	1	315,792	42,851	0.1	0.002	56
57	0.0007	70,500	54.5	14.0	53.7	1	326,097	44,128	0.1	0.002	57
58	0.0006	72,000	55.5	14.0	54.7	1	336,522	45,415	0.1	0.002	58
59	0.0005	73,500	56.5	14.0	55.7	1	347,067	46,712	0.1	0.002	59
60	0.0004	75,000	57.5	14.0	56.7	1	357,732	48,019	0.1	0.002	60
61	0.00035	76,500	58.5	14.0	57.7	1	368,517	49,336	0.1	0.002	61
62	0.0003	78,000	59.5	14.0	58.7	1	379,422	50,663	0.1	0.002	62
63	0.00025	79,500	60.5	14.0	59.7	1	390,447	52,000	0.1	0.002	63
64	0.0002	81,000	61.5	14.0	60.7	1	401,592	53,347	0.1	0.002	64
65	0.00018	82,500	62.5	14.0	61.7	1	412,857	54,704	0.1	0.002	65
66	0.00015	84,000	63.5	14.0	62.7	1	424,242	56,071	0.1	0.002	66
67	0.00012	85,500	64.5	14.0	63.7	1	435,747	57,448	0.1	0.002	67
68	0.0001	87,000	65.5	14.0	64.7	1	447,372	58,835	0.1	0.002	68
69	0.00008	88,500	66.5	14.0	65.7	1	459,117	60,232	0.1	0.002	69
70	0.00007	90,000	67.5	14.0	66.7	1	470,982	61,639	0.1	0.002	70
71	0.00006	91,500	68.5	14.0	67.7	1	482,967	63,056	0.1	0.002	71
72	0.00005	93,000	69.5	14.0	68.7	1	495,072	64,483	0.1	0.002	72
73	0.00004	94,500	70.5	14.0	69.7	1	507,297	65,920	0.1	0.002	73
74	0.000035	96,000	71.5	14.0	70.7	1	519,642	67,367	0.1	0.002	74
75	0.00003	97,500	72.5	14.0	71.7	1	532,107	68,824	0.1	0.002	75
76	0.000025	99,000	73.5	14.0	72.7	1	544,692	70,291	0.1	0.002	76
77	0.00002	100,500	74.5	14.0	73.7	1	557,397	71,768	0.1	0.002	77
78	0.000018	102,000	75.5	14.0	74.7	1	570,222	73,255	0.1	0.002	78
79	0.000015	103,500	76.5	14.0	75.7	1	583,167	74,752	0.1	0.002	79
80	0.000012	105,000	77.5	14.0	76.7	1	596,232	76,259	0.1	0.002	80
81	0.00001	106,500	78.5	14.0	77.7	1	609,417	77,776	0.1	0.002	81
82	0.000008	108,000	79.5	14.0	78.7	1	622,722	79,303	0.1	0.002	82
83	0.000007	109,500	80.5	14.0	79.7	1	636,147	80,840	0.1	0.002	83
84	0.000006	111,000	81.5	14.0	80.7	1	649,692	82,387	0.1	0.002	84
85	0.000005	112,500	82.5	14.0	81.7	1	663,357	83,944	0.1	0.002	85
86	0.000004	114,000	83.5	14.0	82.7	1	677,142	85,511	0.1	0.002	86
87	0.0000035	115,500	84.5	14.0	83.7	1	691,047	87,088	0.1	0.002	87
88	0.000003	117,000	85.5	14.0	84.7	1	705,072	88,675	0.1	0.002	88
89	0.0000025	118,500	86.5	14.0	85.7	1	719,217	90,272	0.1	0.002	89
90	0.000002	120,000	87.5	14.0	86.7	1	733,482	91,879	0.1	0.002	90
91	0.0000018	121,500	88.5	14.0	87.7	1	747,867	93,496	0.1	0.002	91
92	0.0000015	123,000	89.5	14.0	88.7	1	762,372	95,123	0.1	0.002	92
93	0.0000012	124,500	90.5	14.0	89.7	1	776,997	96,760	0.1	0.002	93
94	0.000001	126,000	91.5	14.0	90.7	1	791,742	98,407	0.1	0.002	94
95	0.0000008	127,500	92.5	14.0	91.7	1	806,607	100,064	0.1	0.002	95
96	0.0000007	129,000	93.5	14.0	92.7	1	821,592	101,731	0.1	0.002	96
97	0.0000006	130,500	94.5	14.0	93.7	1	836,697	103,408	0.1	0.002	97
98	0.0000005	132,000	95.5	14.0	94.7	1	851,922	105,095	0.1	0.002	98
99	0.0000004	133,500	96.5	14.0	95.7	1	867,267	106,792	0.1	0.002	99
100	0.00000035	135,000	97.5	14.0	96.7	1	882,732	108,509	0.1	0.002	100

* A mil is .001 inch. * Figures given are approximate only; insulation thickness varies with manufacturer. * Max. wire temp. of 212° F and max. ambient temp. of 135° F. * All cir-
cular mils per ampere is a satisfactory design figure for small transformers, but values from 300 to 1000 c.m. are commonly used.

Il valore trovato rappresenta quello utilizzato dalla AMIDON per i propri tests, ovvero per avere il Q indicato in tabella D. E' ovvio comunque che il diametro del filo è tutt'altro che tassativo, in quanto che diametri leggermente più piccoli non alterano sostanzialmente il valore del Q (siamo abbondantemente al di sopra del valore richiesto) e diametri maggiori portano senz'altro a Q superiori a patto che il filo non sia così grande e difficilmente lavorabile al punto da non poter più « aderire » alla superficie del toroide.

Quando infatti il filo non dovesse aderire perfettamente lungo tutta la superficie, si avrebbero nuovi problemi derivanti dal fatto che si creerebbe del flusso magnetico disperso che comporterebbe la perdita del vantaggio primo di questo tipo di induttori.

A questo punto si ha un componente dalle caratteristiche sicuramente superiori a quelle necessarie.

Come visto, anche in questo tipo di dimensionamento esistono diverse scelte arbitrarie, ma riguardanti esclusivamente considerazioni pratiche e non più caratteristiche elettriche.

L'impiego di questi nuclei, quindi, permette di giungere con **certezza** al componente adatto per ogni applicazione.

In conclusione, riteniamo utile presentare i toroidi in ferrite, sempre dell'AMIDON, che uniscono i vantaggi della forma toroidale alle caratteristiche della ferrite che in casi particolari presenta notevoli vantaggi se confrontata con la tecnologia della polvere di ferro.

Questi componenti presentano una elevatissima permeabilità magnetica che permette quindi di realizzare con poche spire avvolte valori di induttanza di ordine sicuramente superiore a quelle realizzabili con le già viste mescole in polvere di ferro.

Avendo però la ferrite caratteristiche per certi aspetti inferiori a quelle dei componenti già visti, riteniamo che le applicazioni di questo tipo di tori riguardino essenzialmente la realizzazione di indutture destinate a operare nello spettro delle basse frequenze o come indutture di blocco, dove appunto occorrono reattanze elevate (disaccoppiamento lungo la linea di alimentazione di trasmettitori a transistori di alta potenza e simili particolari applicazioni).

Questi componenti si distinguono dai già visti tipi di tori per la sigla FT; il loro dimensionamento nell'uso come impedenze di blocco (chokes) è tutt'altro che critico a patto di realizzare una reattanza sufficientemente elevata.

Indicativamente, per ciò che riguarda lo spettro delle onde corte una decina di spire con una permeabilità del nucleo di 1.000 realizza una reattanza più che sufficiente per i normali problemi di disaccoppiamento specialmente se la cella di filtro impiega condensatori a bassa componente induttiva.

La spesa a cui si va incontro realizzando questi componenti è lievemente superiore se confrontata al pressoché nullo costo del classico componente in aria, ma se pensiamo all'eventuale schermo accessorio di cui si avrebbe spesso necessità per gli induttori tradizionali e al problema del fissaggio meccanico di questi ultimi non si va forse molto lontani dalla realtà nell'affermare che questa differenza di costo non è sempre presente e quando dovesse esistere sarebbe pienamente giustificata dai vantaggi e dalla qualità introdotti.

Per quanto riguarda invece la reperibilità di questi componenti vi è purtroppo da rilevare che questa potrebbe e dovrebbe senz'altro essere migliore.


Uno dei motivi che ci ha spinto a questa modesta trattazione divulgativa è stato proprio il desiderio di **sensibilizzare i Rivenditori di materiale elettronico** e spingerli a procurarsi e a fornire questo tipo di materiale.

La situazione non è comunque del tutto sfavorevole: qui a Modena sono reperibili con relativa facilità a un prezzo che si aggira (a seconda del tipo e delle dimensioni) mediamente sul migliaio di lire, e abbiamo avuto modo di « vederli » nelle principali Città italiane (in genere) e sempre in occasione di Fiere-mercato per radioamatori; tra l'altro alcune Ditte li forniscono anche tramite spedizioni postali.

Una ultima raccomandazione: vista l'alta tecnologia impiegata, non è concepibile realizzarli « in casa » né, tanto meno, la soluzione di realizzare « toroidi quadrati », impiegando tronchi di nucleo in ferrite incollati (la permeabilità della colla è dello stesso ordine di quella dell'aria!) è valida perché questi hanno un comportamento simile se non peggiore di quello dei più scadenti induttori tradizionali con nucleo in ferrite.

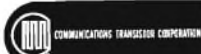
BIBLIOGRAFIA

- 1 - The Radio Amateur's Handbook 1978 A.R.R.L. (55' Edizione).
- 2 - Applications manual FAIRCHILD August '78.
- 3 - Manuale del perito in elettronica, telecomunicazioni, energia nucleare. Edizioni Cremonese 1975.
- 4 - Dr. Ing. G. Lotti - Dr. Ing. A. Montanari: Tecnologia delle costruzioni elettroniche, La Tecno editrice - Fermo.



RAPPRESENTANTE PER L'ITALIA


CTC

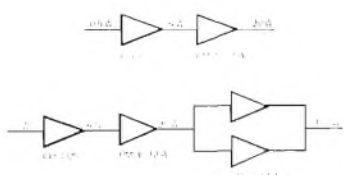


UHF LAND MOBILE TRANSISTOR 12V 400-500 MHz

	POWER OUT W	POWER IN (470 MHz)	PACKAGE
C 1 12 (2)	1	0.1	B (2)
C 3 12 (1)	4	1	B
C 5 12 (1)	5	0.5	B
CD 5944	2.5	0.15	B
CD 5945	4	0.5	B
CD 3025	10	2	B
CD 3285	10	1.5	B
C 12 12 (1)	12	4	B
C 25 12 (1)	25	10	B
CM 10 12 A (1)	10	2	F
CM 20 12 A (1)	20	5	F
CM 30 12 A	30	8	F
CM 45 12 A	45	14	F
CM 50 12 A (1)	50	12	F
CM 60 12 A	60	20	F
CMF RD 12	80	30	U

B F U





note 1 - marcatriche a stack - note 2 - metallo B senza le code

DOCUMENTAZIONE, ASSISTENZA TECNICA E PREZZI INDUSTRIA A RICHIESTA.

S T E s.r.l. - via maniago,15 - 20134 milano - tel. (02) 215.78.91-215.35.24 - cable stetron



ICOM presenta il "ricetrans degli anni '80"

IC 720

- **Copertura continua in RX***
- **Trasmissione a doppio VFO**
- **Simplex o duplex**
- **Gestione a microprocessori**
- **Tastiera a 16 funzioni**
- **Passi da 10 KHz - 1 KHz - 100 Hz - 10 Hz**
- **Up o down di 1 MHz**
- **Commutazione automatica LSB - USB**
- **Filtro variabile BBT**

Dalla Icom oggi il nuovo IC-720. Un ricevitore a copertura continua da 1 a 30 MHz a scalini di 1 MHz. Un trasmettitore su tutte le frequenze radioamatoriali, incluse le nuove frequenze WARC '79. Un coppia VFO inserito, la possibilità di salire o scendere di frequenza premendo dei tasti. Il modo moderno di comunicare, con una facilità di operazioni ineguagliabile.

Ecco perché l'ultimo arrivato in casa ICOM è stato definito il capolavoro degli anni '80.

Frequenza:
 ricevitore da 0.1 a 30 MHz
 trasmettitore da 1.8 a 2.0 MHz
 da 3.5 a 4.1 MHz
 da 6.9 a 7.5 MHz
 da 9.9 a 10.5 MHz
 da 13.9 a 10.5 MHz
 da 17.9 a 18.5 MHz
 da 20.9 a 21.5 MHz
 da 24.5 a 25.1 MHz
 da 28.0 a 30.0 MHz

Impedenza d'antenna: 50 ohms
 Alimentazione: 13.8V D.C. \pm 15%

negativo a massa
 Dimensione: altezza cm 111
 larghezza cm 241 profondità cm 311
 Peso: 7.5 kg
 Emissione: CW - RTTY - SSB -
 LLSB/LSB - AM
 Potenza d'uscita: SSB 10 W
 100 W PEP - AM 40 W
 Spurie: più di 60 dB sotto il livello
 massimo d'uscita
 Armoniche: più di 60 dB sotto il
 livello massimo d'uscita

* Solo a parte ricevente è a
 copertura continua.

PS 15 Alimentatore 13.8VCC/220V
 CA



MARCUCCI S.p.A.

Exclusive Agent

Milano - Via f.lli Bronzetti, 37 ang. C.so XXII Marzo Tel. 7386051

sempre più piccole, sempre più potenti!

10KTH, Alessandro Marcolini

In questo nostro vorticoso mondo non passa praticamente giorno che la tecnologia non ponga a nostra disposizione qualche nuovo prodotto; in special modo nel campo della microelettronica le prestazioni dei μ p e delle memorie migliorano con velocità impressionante.

E' proprio di questa primavera l'annuncio, da parte della INTEL, della commercializzazione di una memoria, la 2816, novità assoluta sul mercato.

Naturalmente, pur essendo in vendita, non è ancora disponibile per l'hobbista, ma, date le sue notevoli caratteristiche, si prevede una sua larga diffusione in tempi brevi.

Si tratta in sostanza di una memoria E²PROM, costruita con una nuova tecnologia elaborata dalla stessa INTEL nel corso del 1980, denominata HMOS-E.

Prerogativa principale della HMOS-E è la forte riduzione dell'area di silicio necessaria alla costruzione dei dispositivi, rispetto alle tecnologie tradizionali.

In figura 1 si può notare come a un incremento della capacità di memoria faccia riscontro una riduzione di occupazione, del tempo massimo di accesso e del consumo per bit.

Tipo	Tecnologia	Dimensione (1)	t _{acc} max	Consumo Bit
1702A	PMOS	146	1000 ns	.239 mW
2708	NMOS	174	450 ns	.098 mW
2716	NMOS	154	450 ns	.032 mW
2732	NMOS	199	450 ns	.022 mW
2732A	HMOS-E *	147	200 ns	.022 mW
2764	HMOS-E *	180	200 ns	.011 mW
2816	HMOS-E *	157	250 ns	.030 mW

figura 1

Le dimensioni sono date in millesimi quadrati di pollice (1 millesimo quadrato di pollice = $6,25 \times 10^{-1}$ cm²): notare che la 1702 A è una 256×8 bit, mentre la 2816 è una $2K \times 8$ bit!

Dato che la dimensione è strettamente legata ai costi di fabbricazione, e in ultima analisi ai prezzi di vendita, risalta la potenzialità del basso prezzo dei dispositivi HMOS-E.

La INTEL realizza anche la ben nota RAM 2114 (1Kx4), la più popolare del momento, con tecnologia HMOS-E; la nuova memoria, chiamata 2114 AL, offre minor tempo di accesso e minor dissipazione per bit, e naturalmente è identica pin-to-pin alla 2114 normale.

Da notare che nella 2114 AL è stata realizzata un'economia del 32 % sull'area del chip!

Le caratteristiche comparate si trovano in figura 2.

1024 X 4 BIT STATIC RAM

	2114AL-2	2114AL-3	2114AL-4	2114A-4	2114A-5	2114
Max. Access Time (ns)	120	150	200	200	250	300
Max. Current (mA)	40	40	40	70	70	85

figura 2

Caratteristiche comparate della 2114AL (tecnologia HMOS-E) e della 2114 (tecnologia NMOS).

Ma cosa vuol dire E²PROM? Significa: EEPROM, Electrically Erasable and Programmable Read Only Memory.

Si tratta quindi di una memoria non volatile a lettura maggioritaria, che può essere sia scritta sia cancellata elettricamente.

Si differenzia dalla EAROM (Electrically Alterable Read Only Memory), anche questa cancellabile elettricamente, per il fatto che la E²PROM non è sensibile al numero dei cicli di lettura: sotto questo punto di vista può essere considerata equivalente alla EPROM, e cioè in grado di mantenere l'informazione per anni, indipendentemente dal numero di volte che viene letta.

La E²PROM differisce sostanzialmente dalla EPROM nel ciclo di cancellazione: non più ingombranti e spesso introvabili lampade all'ultravioletto, non più decine di minuti persi aspettando l'effetto dei raggi!

Sono sufficienti impulsi di tensione di 21V e durata 10 msec su di appositi pins, come vedremo in seguito.

Infine, ma non per importanza, la possibilità di cancellare tutta la memoria oppure un solo byte per volta, cosa impensabile per la EPROM.

Se commettiamo un errore programmando una E²PROM non dovremo cancellare, con gran danno per i nervi, tutto ciò che abbiamo « scritto » e ricominciare da capo, ma cancelliamo il solo byte errato; e il tutto in 10 msec! La velocità media di cancellazione-scrittura è quindi nettamente aumentata. L'unica limitazione è che la ritenzione dei dati scritti è garantita « solo » per diecimila cicli di cancellazione-scrittura; questo però non è un grave handicap, in quanto la 2816 non è destinata a un uso tipo RAM.

La cella di memoria è molto simile a quella della EPROM; la differenza più significativa è l'avvallamento del primo livello di silicio policristallino (gate fluttuante), visibile in figura 3, che permette l'effetto Tunnel su cui si basa il funzionamento del dispositivo.

sempre più piccole, sempre più potenti!

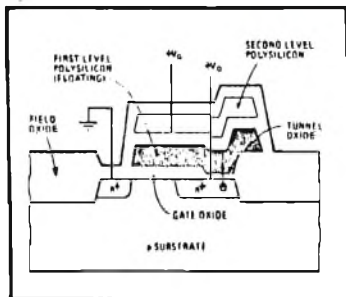


figura 3

Spaccato della cella elementare di memoria EPROM.

Questo effetto Tunnel si ha tra il gate fluttuante e il drain; sotto l'effetto di tensioni applicate dall'esterno gli elettroni superano la barriera di potenziale rappresentata dall'ossido di silicio, che è isolante, e possono quindi passare tra il gate fluttuante e il drain, o viceversa.

Da notare che lo spessore dell'ossido in corrispondenza all'avvallamento è di soli 200 Å ($1 \text{ Å} = 10^{-10} \text{ mm}$)!

La scrittura di un 1 o di uno 0 nella cella avviene rispettivamente per mezzo dello svuotamento o di un immagazzinamento di elettroni nel gate fluttuante.

Questo effetto si ottiene applicando, per un tempo di 10 msec, una tensione di segno opportuno tra il gate normale (secondo livello di silicio policristallino) e il drain.

Ad esempio, per memorizzare un 1 è necessario svuotare dalle cariche negative il gate fluttuante, e ciò si ottiene applicando 21V con il positivo al drain e il negativo al gate normale; per effetto Tunnel gli elettroni attraversano l'ossido per giungere nel drain, dove sono neutralizzati dalle cariche positive applicate dall'esterno.

In assenza di tensioni applicate, la carica immagazzinata resterà inalterata per un periodo dell'ordine delle decine di anni, poiché il silicio policristallino è completamente circondato dall'ossido, ottimo isolante.

La memoria 2816 è organizzata in 2Kx8; la zoccolatura è visibile in figura 4, ed è identica a quella della EPROM 2716, a 24 pins.

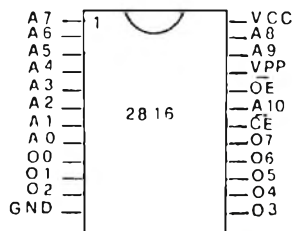


figura 4

Zoccolatura della 2816. A0 - A10 = address pins; O0 - O7 = input output pins. CE = Chip Enable; OE = Output Enable (seleziona gli O0 - O7 come ingressi o uscite); V_{cc} = ingresso per i $\pm 21V$ per la cancellazione-scrittura; V_{pp} = +5V, GND = massa.

Ottimo è il tempo massimo di accesso in lettura, che è di soli 250 nsec. Il consumo in fase attiva è di 495 mW, mentre cala nettamente in stand-by, appena 165 mW.

La alimentazione necessaria è standard, $\pm 5 V$; occorrono naturalmente, con trascurabile assorbimento, anche i $\pm 21 V$ per la lettura-cancellazione. La correzione del singolo byte avviene in 20 msec, mentre per il ciclo di correzione dell'intera memoria, se gestito da μp , occorrono solo 20 sec. Una caratteristica da non sottovalutare è che la 2816 è programmabile-cancellabile « on board », cioè senza toglierla dal circuito; queste operazioni possono essere gestite da un μp esterno oppure dallo stesso μp di cui la 2816 fa parte, con tutti i vantaggi che si possono ben immaginare.



Per quel che riguarda le « nuove frontiere », abbiamo le memorie a bolle magnetiche, attualmente in fase di studio, ma abbastanza avanzate da permettere la realizzazione di schede con capacità fino a 1 Mbyte!

Tutto ciò utilizzando un chip INTEL contenente 1.048.756 bit, il 7110; è stato inoltre realizzato, al livello di prototipo, un chip da 4 Mbit, utilizzando sistemi litografici a proiezione di raggi X; si prevede la sua commercializzazione entro il 1983.

Nella figura 5 ci sono le caratteristiche delle varie schede utilizzando il 7110.

	8 MBM multiplexati	1 MBM	1 MBM in modo parallelo	8 MBM in modo parallelo
Capacità	1 Mbyte	128 Kbyte	512 Kbyte	1 Mbyte
Data Rate	78 KHz	78 KHz	312 KHz	625 KHz
Tempo d'accesso medio	40 ms	40 ms	40 ms	40 ms
Dissipazione max	11 W	6 W	20 W	40 W
Dissipazione in standby	7 W	1.3 W	3.7 W	7 W
Ingombro di circuito stampato	580 cm ²	100 cm ²	290 cm ²	580 cm ²

figura 5

Caratteristiche delle schede utilizzando il 7110 a bolle magnetiche.

Questo tipo di memoria permette un alto grado di impaccamento, ridotte dimensioni fisiche e velocità di trasferimento dati di 100 kbit/sec; queste caratteristiche, unite alla presenza sulla stessa scheda di tutti i circuiti di supporto, fa delle memorie a bolle un temibile avversario delle memorie di massa tradizionali, e cioè nastri magnetici, floppy e hard disk, eccetera. Si è comunque orientati a realizzare la circuiteria di controllo e la memoria su di un unico chip, ottenendo un notevole risultato tecnologico ed economico.

Concludendo, tutte le specifiche elencate, unite al potenziale basso prezzo, fanno supporre che la famiglia E²PROM potrà rappresentare nei prossimi anni ciò che la EPROM è stata nel secondo quinquennio degli anni '70; mentre le memorie a bolle magnetiche sono destinate, in tempi brevi, a largo uso quasi esclusivamente nel campo delle grandi industrie. Ma in un futuro quanto mai prossimo anche gli hobbisti potranno disporre di microscopici chip da 10 Mbyte! * * * * *

Arrivano i microprogrammabili!

una nuova frontiera

Gianni Becattini

Com'è bello tornare tra voi!

In questi anni di lontananza mi sono occupato più di scartoffie che non di saldatore ma, come si suol dire, il lupo perde il pelo... E voi cari lettori che avete fatto? Toh, mi sembra di vedere in terza fila il Capoccianti; ricordi di quando col saldatore a mannaia saldasti tutti i passanti a quello splendido circuito stampato a micropiste dorate e fori metallizzati? E laggiù, quel birichino del Furfantesi! Urla ancora tua zia da quando gli empisti di integrati la spugna?

Ah, cari miei quanti ricordi; ma ne parleremo un'altra volta. Sono tornato da pochi minuti e già lo spazio incalza: veniamo quindi al sodo.

Oggi vi parlerò della microprogrammazione, argomento interessante perché capace di aprire nuove strade.

La chiacchierata prende il via da una nota tecnica che ho studiato qualche tempo fa [1].

In essa si abbozza un progetto, che vado a girarvi, di una unità centrale di elaborazione a 16 bits microprogrammata/abile di grandi prestazioni. Vediamone subito i vantaggi:

- 1) E' molto complicata;
- 2) E' piuttosto costosa;
- 3) Non è compatibile con alcun software esistente.

Aoh! Il Becattini crede di tornare qua dopo qualche anno e di mettersi subito a prenderci in giro?

Calma, calma, vediamo: la complicazione è relativa: una trentina di integrati già fanno ottenere qualcosa. Si deve poi pensare che una unità commerciale delle stesse prestazioni costa vari milioni, sia per i 16 bits che per la velocità che per la microprogrammabilità. Ma il più grande fa-

[1] • Build Your Own Microprocessor • - Monolithic Memories Applications Note.

scino di questa realizzazione è quello di consentire una reale comprensione di tutti i fenomeni che si sviluppano all'interno di un processore e le relazioni tra tutte le sue parti. Oggi che i microprocessori sono ovunque, che tutti abbiamo almeno due personal (purtroppo acquistati) completi di interfacce per la trasmissione iperspaziale di materia, dobbiamo pur andarci a cercare ancora qualcosa di non commercialmente a portata per cimentare la nostra attività di sperimentatori. Penso che questo progetto nei sensi ora detti non abbia davvero rivali, è proprio come costruirsi « il proprio microprocessore ».

LA MICROPROGRAMMAZIONE

Il concetto non è difficile ma preferisco come mio solito arrivarci per gradi.

Pensate prima a una bambola russa. Fatto? Ora potete anche dimenticarla. Il concetto che vi voglio comunicare era espresso molto bene da una serie di vignette che vidi su una rivista.

Un impiegato torna a casa stanco e per rilassarsi gioca con il suo computer e si domanda: « Chissà cosa lo fa funzionare, dentro? ». A questo punto, con zoommata dall'alto, si « entra » nel computer e lì si vede, penetrando addirittura nel microprocessore, una città indaffaratissima con fabbriche complicate dove tra macchine diaboliche si trovano dei terminali e lì davanti tecnici e operai più indaffarati che mai. Sugli schemi vengono seguite tutte le mosse dell'impiegato che sta giocando col suo elaboratore mentre avvengono segnalazioni di allarme per gli errori che squadre specialiste correggono tempestivamente finché l'impiegato spegne la macchina e i bravi microlavoratori se ne vanno finalmente a dormire. Ma nella quiete della notte uno dei microtecnici torna al terminale e si mette a giocare, e intanto pensa: « Chissà cosa lo fa funzionare, dentro? ». Questa rappresentazione di « universi concentrici » ci semplificherà l'approfondimento del concetto di microprogrammazione.

IL PROCESSORE

Un computer in pratica non è altro che un mucchio di flip-flop raggruppati a file dette registri, che sono in grado così di mantenere rappresentazioni di numeri, lettere o stati logici, collegati tra loro con una serie di percorsi commutabili che servono perché essi possano scambiarsi i contenuti. Questi registri possono essere tanti ma alcuni sono indispensabili quasi in ogni macchina, anche nelle più semplici.

Sono:

CONTATORE DI ISTRUZIONI - che contiene l'indirizzo in memoria della prossima istruzione da eseguire. In inglese è detto Program Counter, contatore di programma.

REGISTRO ISTRUZIONI - che contiene l'istruzione in esecuzione.

REGISTRI PER USI GENERALI - in grado di contenere tanto dati su cui si opera che indirizzi. Il più usato di questi registri si chiama in genere accumulatore.

Come funziona il computer? Vediamo la semplicissima sequenza base:

- 1) Il contatore di istruzioni manda fuori l'indirizzo della istruzione da eseguire;
- 2) Il contenuto della memoria va nel registro dell'istruzione;
- 3) Il contatore di istruzioni viene incrementato per ottenere il nuovo indirizzo della prossima istruzione;
- 4) Vengono attivati, e nella giusta sequenza, tutti i sentieri per i dati o gli indirizzi tra i vari registri e verso l'esterno al fine di ottenere proprio l'effetto corrispondente alla istruzione desiderata.

Dovrebbe risultare evidente che anche il più bel processore difficilmente disporrà di tutti i possibili sentieri e che anche solo per motivi di spazio e di costo non tutti i registri saranno dotati dei medesimi accessori, come ad esempio la capacità aritmetica ecc. Questo è il motivo per cui poco fa ho detto che un registro ha per solito il nome di accumulatore, che è cioè quel registro che dispone di un maggior numero di possibilità aritmetiche, logiche e di comunicazione.

ISTRUZIONI e MICROISTRUZIONI

Tutto quanto ci porta a concludere che ogni istruzione del programma, una volta posta nel registro di istruzione, venga a sua volta eseguita mediante il compimento di un certo numero di operazioni elementari dentro il processore. Ad esempio, una istruzione di salto provocherà l'esecuzione delle seguenti operazioni:

- 1) Incrementa il contatore per prelevare l'operando, cioè l'indirizzo di dove si deve saltare;
- 2) Leggi l'operando e ponilo nel contatore di istruzioni;
- 3) Fine istruzione.

Abbiamo quindi diviso l'istruzione di salto in « microistruzioni », cioè istruzioni interne del processore.

Da un punto di vista logico tutti i computer eseguono microistruzioni, ma mentre per alcuni le microistruzioni fanno parte della struttura fisica (circuiti) per altri, ad ogni istruzione corrisponde proprio l'attivamento di un vero microprogramma interno.

Ripetendo in modo sintetico:

- 1) Tutti i processori nell'eseguire una istruzione eseguono un numero più o meno grande di microoperazioni.
- 2) Nei processori cablati queste microoperazioni sono determinate dalla stessa costruzione della circuiteria e sono fisse.
- 3) Nei processori microprogrammati le microoperazioni sono determinate da microprogrammi di microistruzioni.

IL PROGRAMMA di CONTROLLO

Il programma di controllo è quello che contiene tutti i microprogrammi che compongono il set di istruzioni del processore. Generalmente si trova in una memoria in sola lettura ma nelle macchine più sofisticate si trova almeno in parte in ram, ossia in memoria in lettura/scrittura, sì da consentire la scelta del set di istruzioni sulla base delle necessità.

Variando il programma di controllo si varia il set di istruzioni e al limite lo si completa con altre più potenti o sofisticate, con spesa modesta e tempi brevissimi.

Viceversa i processori cablati richiedono per molte modifiche delle pesanti trasformazioni elettriche con aggiunta di nuovi circuiti quando non siano addirittura impossibili.

Il concetto finale è quindi questo: con un processore microprogrammabile ognuno può crearsi il set di istruzioni che più gli aggrada. Nel fare ciò si dovrà ovviamente tenere conto della struttura fisica della macchina, in quanto non sarà possibile effettuare scambi di dati tra registri tra i quali non esiste collegamento! Il progettista/programmatore dovrà poi tener conto dello spazio disponibile per il programma di controllo e dei tempi di esecuzione delle istruzioni.

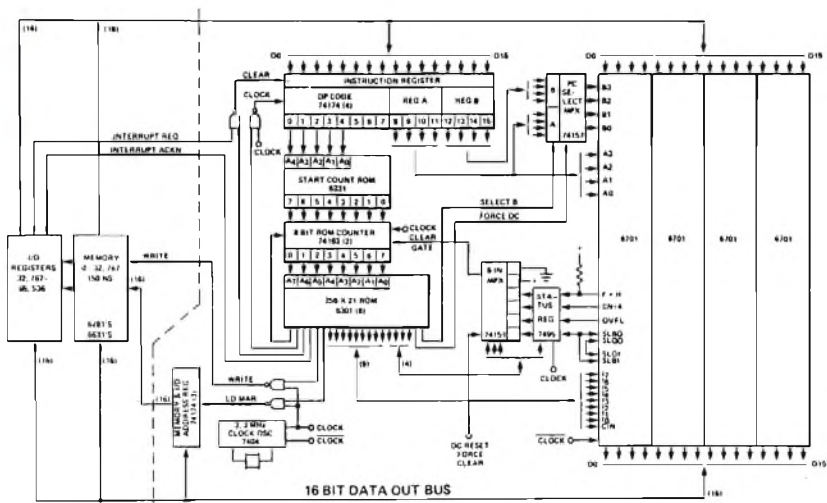
CONCLUSIONE

Penso che tutti, più o meno, abbiate compreso che le macchine microprogrammabili mi piacciono assai e che hanno non pochi lati positivi.

A questo punto molti chiuderebbero e si riterrebbero soddisfatti.

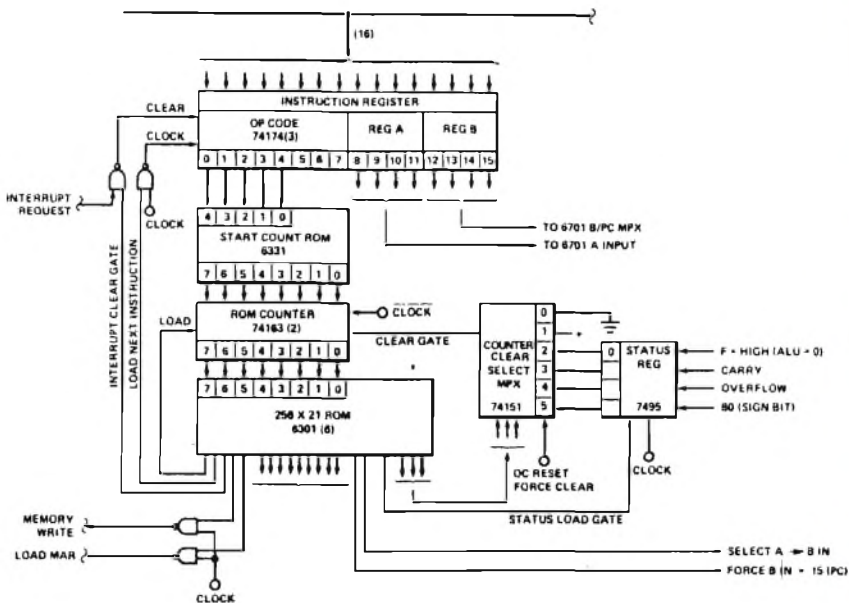
Ma prima voglio invece proporvi qualche schema « quasi pratico » in modo da farvi venire l'acquolina in bocca e desiderare la realizzazione pratica. Condirò poi il tutto con due tabelle: una col set di istruzioni ipotizzato in (1) e uno con i rispettivi microprogrammi.

16 BIT DATA IN BUS



Schema a blocchi dell'unità centrale microprogrammata.

16 BIT DATA IN BUS



BASIC COMPUTER INSTRUCTIONS

Particolare della sezione di controllo

Le istruzioni base di un computer.

1. LOAD REGISTER
 - a. FROM ADDRESS SPECIFIED BY INSTRUCTION
 - b. FROM CALCULATED ADDRESS SPECIFIED BY REGISTER
2. STORE REGISTER
 - a. TO SPECIFIED ADDRESS
 - b. TO CALCULATED ADDRESS
3. COMBINE REGISTERS
 - a. COPY : A → B
 - b. ADD : B + A → B
 - c. SUBTRACT : B - A → B
 - d. AND : B & A → B
 - e. OR : B ∨ A → B
4. MODIFY REGISTER : SHIFT
 - a. SHIFT LEFT : B × 2 → B
 - b. SHIFT RIGHT : B ÷ 2 → B
5. LOAD PROGRAM COUNTER (JUMP)
 - a. WITH ADDRESS SPECIFIED BY INSTRUCTION
 - b. WITH CALCULATED ADDRESS SPECIFIED BY REGISTER
6. LOAD PROGRAM COUNTER AND SAVE OLD VALUE (JUMP TO SUBROUTINE)
 - a. WITH ADDRESS SPECIFIED BY INSTRUCTION
 - b. WITH CALCULATED ADDRESS SPECIFIED BY REGISTER
7. TEST (RESULT OF PREVIOUS COMBINE OPERATION) AND LOAD P.C. IF :
 - a. RESULT WAS ZERO
 - b. RESULT WAS NEGATIVE
 - c. A CARRY WAS GENERATED
8. INTERRUPT : STORE OLD PC AND LOAD FIXED VALUE

SIMPLE 16 BIT MACHINE MICROPROGRAM

Un possibile set di istruzioni
e i relativi programmi di controllo.

ROM ADDRESS	OPERATIONS PERFORMED
0	PC \rightarrow BUS LOAD MAR
1	PC + 1 \rightarrow PC, LOAD INSTRUCTION REG
2	LOAD START COUNT \rightarrow ROM COUNTER
3	OP = 0, INTERRUPT: PC + 1 \rightarrow Q
4	OP = 0, INTERRUPT: 7000 \rightarrow PC, END OP
5	OP = 1, LOAD B: PC \rightarrow MAR
6	OP = 1, LOAD B: PC + 1 \rightarrow PC
7	OP = 1, LOAD B: MEM + Q \rightarrow Q, LOAD MAR
8	OP = 1, LOAD B: MEM \rightarrow B, END OP
9	OP = 2, LOAD B: A \rightarrow MAR
10	OP = 2, LOAD B: MEM \rightarrow B, END OP
11	OP = 3, LOAD B: PC \rightarrow MAR
12	OP = 3, LOAD B: PC + 1 \rightarrow PC
13	OP = 3, LOAD B: MEM \rightarrow B, END OP
14	OP = 4, STORE B: PC \rightarrow MAR
15	OP = 4, STORE B: PC + 1 \rightarrow PC
16	OP = 4, STORE B: B \rightarrow MEM, WRITE, END OP
17	OP = 5, STORE B: A \rightarrow MAR
18	OP = 5, STORE B: B \rightarrow MEM, WRITE, END OP
19	OP = 6, COPY A: B: A \rightarrow B, END OP
20	OP = 7, COPY Q: B: Q \rightarrow B, END OP
21	OP = 8, ADD: B + A \rightarrow B, END OP
22	OP = 9, SUBTRACT: B - A \rightarrow B, END OP
23	OP = 10, AND: B \wedge A \rightarrow B, END OP
24	OP = 11, OR: B \vee A \rightarrow B, END OP
25	OP = 12, ROTATE LEFT: B \rightarrow Q
26	OP = 12, ROTATE LEFT: SHIFT LEFT A AND Q
27	OP = 12, ROTATE LEFT: Q \rightarrow B, END OP
28	OP = 13, ROTATE RIGHT: B \rightarrow Q
29	OP = 13, ROTATE RIGHT: SHIFT RIGHT A AND Q
30	OP = 13, ROTATE RIGHT: Q \rightarrow B, END OP
31	OP = 14, LOAD PC & SAVE OLD: PC \rightarrow MAR
32	OP = 14, LOAD PC & SAVE OLD: PC + 1 \rightarrow Q
33	OP = 14, LOAD PC & SAVE OLD: MEM \rightarrow PC, END OP
34	OP = 15, TEST ZERO: PC \rightarrow MAR
35	OP = 15, TEST ZERO: PC + 1 \rightarrow PC, END IF ZERO FF OFF
36	OP = 15, TEST ZERO: MEM \rightarrow PC, END OP
37	OP = 16, TEST SIGN: PC \rightarrow MAR
38	OP = 16, TEST SIGN: PC + 1 \rightarrow PC, END IF SIGN FF OFF
39	OP = 16, TEST SIGN: MEM \rightarrow PC, END OP
40	OP = 17, TEST CARRY: PC \rightarrow MAR
41	OP = 17, TEST CARRY: PC + 1 \rightarrow PC, END IF SIGN FF OFF
42	OP = 17, TEST CARRY: MEM \rightarrow PC, END OP
43	OP = 18, TEST OVERFLOW: PC \rightarrow MAR
44	OP = 18, TEST OVERFLOW: PC + 1 \rightarrow PC, END IF OVERFLOW FF OFF
45	OP = 18, TEST OVERFLOW: MEM \rightarrow PC, END OP
46	UNUSED
47	UNUSED
256	UNUSED

SIMPLE 16 BIT MACHINE INSTRUCTION SET

OP CODE	A	B	WORD 1
ADDRESS/DATA			WORD 2
			(OPTIONAL)

OP CODE	INSTRUCTION
0	INTERRUPT: STORE PC IN INTERNAL Q REG, LOAD PC WITH 0000
1	LOAD REGISTER B, ADDRESS FOLLOWS INSTRUCTION
2	LOAD REGISTER B, ADDRESS IN REGISTER A
3	LOAD REGISTER B, DATA FOLLOWS INSTRUCTION
4	STORE REGISTER B, ADDRESS FOLLOWS INSTRUCTION
5	STORE REGISTER B, ADDRESS IN REGISTER A
6	COPY A TO B: A \rightarrow B
7	COPY INTERNAL Q REG TO B: Q \rightarrow B
8	ADD: B + A \rightarrow B
9	SUBTRACT: B - A \rightarrow B
10	AND: B \wedge A \rightarrow B
11	OR: B \vee A \rightarrow B
12	ROTATE LEFT A AND B: A - MOST SIGNIFICANT
13	ROTATE RIGHT A AND B: A - MOST SIGNIFICANT
14	LOAD PC, SAVE OLD PC IN Q, DATA FOLLOWS INSTRUCTION
15	TEST ZERO: LOAD PC IF ZERO FF ON, DATA FOLLOWS
16	TEST SIGN: LOAD PC IF SIGN FF ON, DATA FOLLOWS
17	TEST CARRY: LOAD PC IF CARRY FF ON, DATA FOLLOWS
18	TEST OVERFLOW: LOAD PC IF OVERFLOW FF ON, DATA FOLLOWS
19	UNUSED
20	UNUSED
31	UNUSED

Se poi a Firenze ci stesse qualche altro folle con un po' di tempo a disposizione per farmi da schiavo si metta in contatto con me e vedremo di realizzare assieme questa follia.



Quasi tutto... ...sui LED

Piero Erra

I diodi emettitori di luce (**Light Emitting Diodes**), meglio conosciuti come **LED**, hanno avuto in questi ultimi anni una grande diffusione; ciò, sia per le innumerevoli applicazioni possibili che per il basso costo raggiunto.

Questa nota, come le precedenti, è divisa in due parti: dapprima un po' di teoria redatta in modo molto semplice e ovviamente senza pretese di completezza o esattezza assoluta, diciamo informativa, in seguito con una seconda parte **applicativa**, nella quale verranno descritte alcune note di progetto il più semplicemente possibile e modi di collegamento dei led con i principali componenti oggi in uso, in modo da offrire degli spunti per eventuali elaborazioni personali.

Infine, alcune **applicazioni pratiche** a titolo indicativo.

Se vi interessa, ho già pronto un intero articolo di altre originali o insolite applicazioni pratiche, complete di circuiti stampati, ecc. che potrebbe essere pubblicato anche in dicembre.

Fatemi sapere.



Il « nostro » è un semiconduttore a due terminali, il quale, opportunamente alimentato, emette un raggio di luce, la cui lunghezza d'onda è essenzialmente funzione del materiale impiegato nella sua costruzione.

Il fenomeno è detto **elettroluminescenza delle giunzioni**.

Il primo a notare questo fenomeno, nel carburo di silicio, a quanto mi risulta, fu J. Round nel lontanissimo, elettronicamente parlando, anno 1907. Nel 1923 un fisico russo, Lossev, in una sua relazione, ci dice qualcosa di più preciso sull'elettroluminescenza dei cristalli di carburo di silicio. Nel 1937 è la volta di un francese, F. Destriau, il quale nota e descrive il fenomeno sulla polvere di solfuro di zinco. Nel 1938 è nato il sottoscritto e null'altro di importante è successo. Si deve però a Kroemer, in tempi molto più recenti, alle sue ricerche e scoperte, l'impulso decisivo alla realizzazione pratica del diodo led, essendo questo ricercatore riuscito a ottenere un diodo elettroluminescente con un rendimento vicino al 50%. Si tenga presente che, oltre agli svantaggi da tutti ben conosciuti, una lampada a incandescenza ha un rendimento del 10%, oltre alle limitazioni che vedremo.

Immediatamente arriva l'Industria! Essa ha « fame » di dispositivi alfa-numeriche a basso assorbimento, miniaturizzati, che resistano alle più disparate condizioni d'impiego, ecc. I tecnici si danno da fare, ed ecco anche a nostra disposizione un versatissimo componente a un prezzo, oggi, irrisorio, almeno per i tipi di più comune impiego.
Ma come funziona un led?

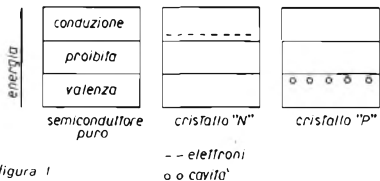


figura 1

Più o meno così: in un semiconduttore puro esistono tre « bande di energia »; la banda di « conduzione », quella detta « proibita » ove non esistono elettroni, quella detta di « valenza ».

Vedi figura 1 ove è rappresentato il sistema in equilibrio.

Ora sappiamo che « drogando » un semiconduttore con impurità costituite da atomi « donatori » di elettroni avremo nella parte bassa della banda di conduzione elettroni « liberi » e quindi la formazione di un cristallo di tipo N. Se invece « droghiamo » il semiconduttore con atomi « accettori », gli elettroni presenti nella parte alta della banda di « valenza » si sposteranno nella parte bassa, secondo il principio dell'equilibrio dei sistemi al livello di energia inferiore, per trasferirsi negli atomi accettori, lasciando così dei « buchi » o « lacune » o « cavità », come vengono differentemente chiamati, nella parte alta della banda di « valenza ». Si ha così la formazione di un cristallo di tipo P.

Una giunzione PN, che non viene realizzata praticamente collegando un cristallo P con uno N ma con altri metodi, in stato di equilibrio termico è rappresentata in figura 2 A.

Attraverso ad essa non esiste passaggio di corrente. In figura 2 B la medesima giunzione PN sottoposta a tensione diretta.

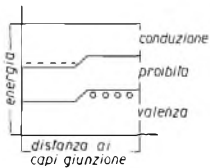


figura 2 A
Giunzione PN in equilibrio termico.

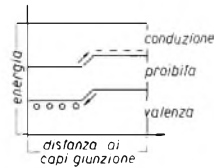


figura 2 B
Giunzione PN polarizzata con tensione diretta.

Se si applica ai capi di una giunzione una tensione diretta di sufficiente valore, l'equilibrio della figura 2 A è compromesso. Gli elettroni vengono « iniettati » nel materiale di tipo P ove sono presenti cariche maggioritarie costituite da « cavità », vedi figura 1, mentre le « cavità » vengono iniettate nel materiale di tipo N ove sono presenti maggioritari gli elettroni. Il sistema tende però a riportarsi in equilibrio, per cui gli elettroni in eccesso tendono a ritornare nella banda di valenza per combinarsi con le cavità **perdendo energia**.

L'apporto continuo di elettroni e di cavità dal lato N e dal lato P da parte della batteria che fornisce la tensione diretta, fa sì che un flusso di elettroni passi, attraverso il semiconduttore, dal polo — al polo + della alimentazione.

L'elettrone « iniettato » o « pompato » a livello di energia superiore che ritorna nella banda di valenza ho detto che « cede » energia. Essa si manifesta sotto forma di energia termica, o fononi, o sotto forma di energia luminosa, o fotoni, o sotto tutte due le forme di energia contemporaneamente. Questo processo è detto di « ricombinazione ».

Il fenomeno della ricombinazione può essere: a intervallo « diretto » con sola emissione di fotoni, cioè di energia luminosa; a intervallo « indiretto » con sosta di elettroni a diversi livelli energetici e con produzione di fotoni e di fononi, cioè con emissione di energia sotto forma di calore. Si può intuire che normalmente una ricombinazione a intervallo diretto presenta un rendimento superiore a quella che avviene con intervallo indiretto. Vedi figura 3, linea ondulata, fotoni - linea continua, fononi.

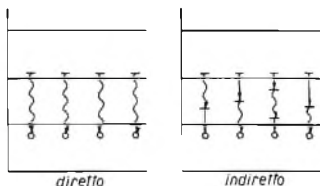


figura 3

La lunghezza d'onda della luce prodotta:

$$\lambda = \frac{(6,3 \times 10^{-14}) \times (3 \times 10^{10})}{E_e} \text{ in micron}$$

$6,3 \times 10^{-14}$ = joule/s = costante di PLANCK
 3×10^{10} = micron/s = velocità della luce
 E_e = larghezza della banda di energia in in elettron-volt.

E.: led all'Arseniuro di Gallio, $E_e = 1,37$ eV

$$\lambda = \frac{1,237}{1,37} = 0,903 \text{ micron}$$

1 micron = 10^3 nanometri = 10^4 Ångstrom

Per ottenere rendimenti elevati occorre drogare opportunamente la giunzione PN con elementi che favoriscano il processo di ricombinazione, occorre inoltre che la giunzione stessa venga realizzata meccanicamente in particolar modo, il modo più adatto a favorire l'irradiazione all'esterno del cristallo della radiazione luminosa, cercando ad esempio di evitare processi di riflessione, riassorbimento, ecc.

Scegliendo in modo opportuno il materiale e il relativo drogaggio si possono stabilire diversi livelli di energia nella banda proibita e dato che la lunghezza d'onda della luce emessa è direttamente proporzionale a questi livelli, ne consegue che si possono ottenere giunzioni che emettono luce di differente colore a seconda dei materiali con i quali sono realizzate. In figura 4 i principali materiali impiegati, la relativa banda spettrale della luce emessa e la sensibilità relativa dei due rivelatori maggiormente usati, l'occhio umano e il fotorivelatore al silicio. Si nota subito come la sensibilità di un rivelatore al silicio sia massima per lunghezze d'onda corrispondenti all'infrarosso, per cui quando si vuole impiegare questo tipo di rivelatore, si userà di preferenza, compatibilmente con le esigenze, un led a emissione infrarossa.

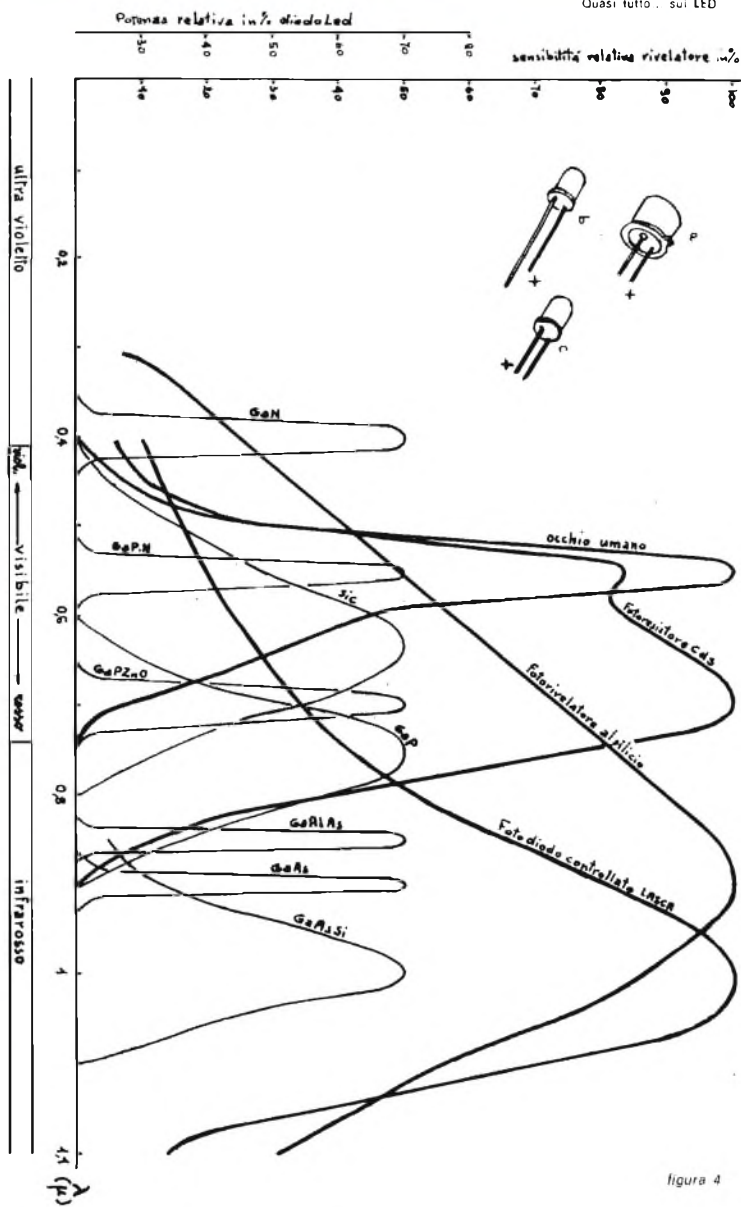
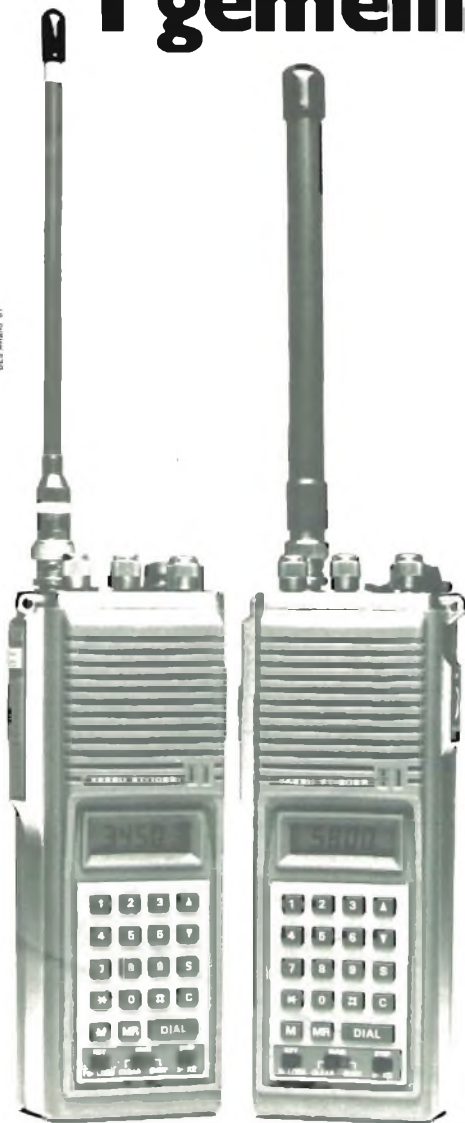


figura 4

I gemelli YAESU

BES Milano 81



FT 208 - R VHF/I44 MHz e FT 708 - R UHF/430 MHz.

Sono i due ultimi portatili della YAESU con flessibilità più estesa e senza gli inconvenienti dell'autonomia.

Le funzioni di questi ultimi arrivati sono controllate da microprocessori a 4 bit.

Sono dotati di un visore a grandi cifre con cristalli liquidi e di una batteria per conservare le memorie, per almeno cinque anni.

Una piccola lampadina permette di effettuare la lettura anche di notte.

Tutti e due hanno la possibilità di operare sui ponti radio, hanno fino a 10 memorie, canali prioritari, ricerca entro le memorie e ricerca continua tra due frequenze.

L'impostazione della frequenza avviene mediante la tastiera che ha pure la funzione di generare dei toni. La canalizzazione è di 25/50 KHz.

YAESU FT 208 R

CARATTERISTICHE
TECNICHE

Frequenza: 144-148 MHz

Potenza irradiata: 3W - 1W

N. di canali: 800

Emissione: F 3

Dimensioni: 168x61x49 mm

Peso: 700 gr con batterie

ed antenna

Incrementi: 5/10 KHz

o 12,5/25 KHz

Deviazione: ± 5 KHz

Soppressione spurie: >60 dB

Sensibilità RX: 0,25 μ V

per 12 dB SINAD

Medie frequenze: 16,9 MHz

- 455 KHz

Uscita audio: 0,5 W

Batteria: tipo FNB - 2

(10,8 V)

Consumi: ricezione 150 mA

trasmissione 800 mA

con 2,5 RF

Tipo di microfono:

a condensatore 2 K Ω

Vasta gamma di accessori

per uso portatile

e veicolare

YAESU FT 708 R

CARATTERISTICHE
TECNICHE

Frequenza: 430-439,

975 MHz

Potenza irradiata: RF 1 W

Emissione: F 3

Dimensioni: 160x61x49 mm

Peso: 720 gr con batterie

ed antenna

Incrementi: 25/50 KHz

Deviazione: ± 5 KHz

Soppressione spurie: >50 dB

Tono chiamata: 1750 Hz

Medie frequenze: 46,255

MHz - 455 KHz

Uscita audio: 0,5 W

Sensibilità: 0,4 μ V per

12dB SINAD

Alimentazione: 10,8 V

Consumi: ricezione 150 mA

trasmissione 500 mA con

1W di RF

Tipo di microfono:

a condensatore 2 K Ω

Vasta gamma di accessori

per uso portatile

e veicolare

YAESU
the Radio

MARCUCCI S.p.A.

Exclusive Agent

Milano - Via F.lli Bronzetti, 37 (ang. C.so XXII Marzo) Tel. 7386057

Ora una rapidissima carrellata sulle caratteristiche che hanno determinato lo strepitoso successo dei led: **bassa tensione** e **piccole correnti** con notevole intensità luminosa; **durata** e **robustezza meccanica** che determinano un'alta sicurezza di funzionamento; **peso limitato**; **piccole dimensioni**, importante in molte applicazioni; **assenza di elementi termici**, filamenti, ecc., con conseguente assenza di fenomeni di « microfonicità » in applicazioni ove sono presenti vibrazioni; **tempo di responso** elevatissimo, ordine della frazione di microsecondo; **bassa impedenza interna**, il che è compatibile con le ordinarie sorgenti a bassa tensione e con i circuiti a semiconduttori; **luce** di tipo quasi **monocromatica**, cioè contenuta in una limitata larghezza di banda, caratteristica interessante in campo elettromedicale e nel campo delle misure; **prezzo esiguo**, per i tipi di comune impiego, buon ultimo!

Custruttore	tipo	colore	λ (nm)	intensità luminosa (mcd)	I_f (mA)	angolo (gradi)	\varnothing - case - (mm)	
								tempo commutazione (μ s)
luce visibile	Fairchild	FLV110	rosso	665	20	20	25	4.85
	*	FV1315	verde	561	2.5	20	25	5
	Hewlett Packard	-4658	rosso	630	24	10	17.5	5
	*	-4584	giallo	583	2.5	10	30	3.2
	*	-4984	verde	565	2	20	35	3.2
	Monsanto	MV5154	rosso	635	8	20	12	5
	*	MV5253	verde	565	1.5	20	32.5	5
	*	MV5354	giallo	585	10	20	12	5
	Motorola	MLED850	giallo	575	0.8	25	47	5
	Philips	COY24	rosso	650	1.5	20	35	5
	Siemens	LD461	rosso	665	1.1	20	40	striscia
	*	LD55	giallo	570	7	20	25	5
	*	LD37	verde	560	5	20	35	3
	Texas	TIL209	rosso	650	1	20	—	3
*	TIL211	verde	563	1.5	25	—	3.3	
Telefunken	COY73	verde	560	2	20	20	2.4	
infrarosso	Fairchild	FPE104	0.01	890	—	—	2.2	4.5
	General Electric	LED55	0.3	940	3.75	100	—	T018
	Hewlett Packard	-4120	0.1	898	0.2	100	47.5	T046
	Monsanto	M120C	0.001	900	2	100	27.5	T018
	Motorola	MLED930	—	900	0.65	100	—	T018
	Philips	COY11B	0.03	880	0.1	20	35	T018
	Siemens	LD24111	1	940	10	100	60	T018
	Texas	TIL31	0.6	940	6	100	5	T018
	Texas	TIXL16	0.25	933	200	2 A	50	--

figura 5

da:	a:	moltiplicare per:
Ångstrom	nanometri millimicron	0,1
Ångstrom	micrometri micron	0,0001
nanometri millimicron	Ångstrom	10
micrometri micron	Ångstrom	10.000
nanometri millimicron	micrometri micron	0,001
micrometri micron	nanometri millimicron	1.000

I **campi d'impiego**... me ne sono segnati **cinquantasei** diversi... dagli indicatori generici agli anemometri, dagli isolatori ottici ai controlli di « profili », ecc., aggiungete le applicazioni che non ricordo e quelle... che non conosco!

A questo punto si potrebbero analizzare le varie caratteristiche elettriche dei led, avendo però scovato su ELEKTRONIK una interessante tabella riportante i principali dati degli « elementi » di più comune impiego, ve la presento opportunamente elaborata e ampliata, in figura 5.

Integrata da alcune note di carattere generale, mi è sembrato il metodo migliore per fornirvi dei dati pratici di impiego immediato, s'intende sempre per applicazioni « normali », per applicazioni particolari consultare i dati tecnici delle Case costruttrici.

Tensione diretta per diodi a luce rossa = 1,6 V
 a luce verde = 2,2 V
 a luce gialla = 2,5 V
 a infrarosso = 1,3 V.

Corrente diretta da 5 a 50 mA, normalmente usate 10 ± 20 mA, l'intensità luminosa è « quasi » proporzionale, entro certi limiti, alla corrente di lavoro; per i led infrarosso si usano normalmente 50 ± 100 mA.

Tensione inversa per i tipi in tabella, minimo 3 V.

Corrente inversa per i tipi in tabella, minimo $10 \mu\text{A}$.

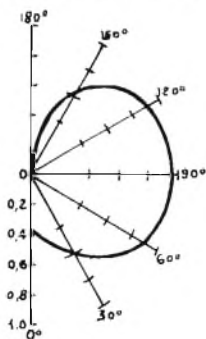
Angolo di diffusione L'intensità luminosa è circa inversamente proporzionale al quadrato dell'angolo di diffusione, i led con ampio angolo presentano quindi una relativamente bassa luminosità, alcuni tipi sono dotati di lente convergente, figura 6.

Durata praticamente infinita, circa 10^5 (100.000) ore per una riduzione di luminosità del 50 %.

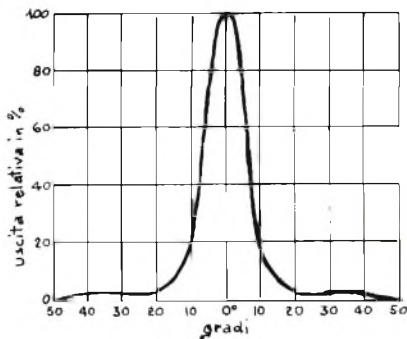
Tempo d'innesco per i diodi rossi = circa 5 ns
 verdi = circa 200 ns
 gialli = circa 100 ns.

figura 6

Esempio di distribuzione spaziale della luce:



lampada a incandescenza
100 W



led infrarosso con lente
General Electric 55 C

Vediamo ora con l'ausilio di qualche diagramma che vale più di tante parole, alcune delle caratteristiche non previste dalla tabella e che servono per poter sfruttare appieno le caratteristiche di questo straordinario dispositivo

In figura 7 la caratteristica corrente/tensione (in figura un led infrarosso), il punto A, corrispondente a circa 1,3 V, indica la tensione alla quale inizia la produzione di luce, il punto B indica invece il punto di massima tensione inversa.

Da notare come la corrente, oltre il ginocchio di tensione, aumenti in modo rapido, ciò ci fa subito pensare alla necessità nella maggioranza dei casi di un limitatore di corrente.

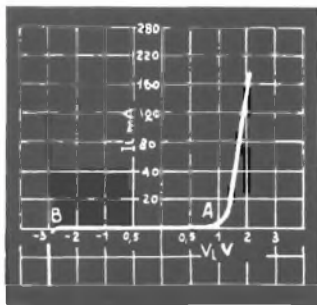


figura 7

Entriamo subito nel vivo della questione e vediamo come si progetta il limitatore di corrente.

In figura 8 il più semplice degli schemi d'impiego:

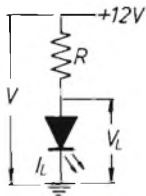


figura 8

$$R = \frac{V - V_L}{I_L} \text{ ove:}$$

V = tensione d'alimentazione

V_L = tensione nominale led

I_L = corrente nominale o corrente alla quale si vuol far lavorare il led

Esempio: led Monsanto MV5154 rosso; $V = 12 \text{ V}$; $I_L = 15 \text{ mA}$; $V_L = 1,6 \text{ V}$.

$$R = \frac{12 - 1,6}{0,015} = 690 \Omega.$$

Calcolo ora la dissipazione del resistore in oggetto: $W = R \times I_L^2 = 690 \times 0,015^2 = 0,15 \text{ W}$; impiegherò quindi un resistore limitatore da: 690Ω , $1/4 \text{ W}$. Questo quando l'alimentazione è prevista in corrente continua.

E per correnti alternate?

Diamo ancora un'occhiata alla figura 7; vediamo che la massima tensione inversa è di -3 V ; non dobbiamo quindi superare questa soglia, per cui useremo lo schema di figura 9.

L'inserimento del diodo D risolve il problema, limitando la tensione inversa.

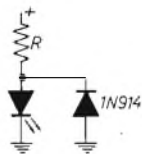


figura 9

$$R = \frac{V_{cc} - V_f}{2 I_f}$$

dalla quale si nota come essendo il led un diodo, solo metà della corrente totale passerà attraverso ad esso, per cui nel calcolo del resistore di protezione se ne dovrà tenere conto, moltiplicando per 2 la corrente al denominatore.

Vediamo ora il « nostro » in abbinamento a un transistor che lavora da interruttore (figura 10):

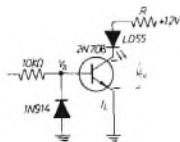


figura 10

$$R = \frac{V - V_{ce(sat)} - V_f}{I_b}$$

Esempio: transistor 2N708; $V = 12\text{ V}$; led Siemens LD5511 a luce gialla.

Dalle caratteristiche del transistor rileviamo una $V_{ce(sat)}$ di $0,4\text{ V}$, la corrente I_b la stabiliamo noi in 10 mA , la V_f per i diodi gialli è di circa $2,5\text{ V}$ per cui

$$R = \frac{12 - 0,4 - 2,5}{0,01} = 910\ \Omega, \text{ e si userà il valore standard più « vicino ».}$$

Qualche altro esempio:

Logica TTL - Tenendo presente che un'uscita TTL assorbe non meno di $12 \div 16\text{ mA}$, calcoliamone 20, buon peso! La tensione d'alimentazione sappiamo che vale $5,1\text{ V}$, usiamo un diodo « rosso », $V_f = 1,5\text{ V}$, avremo una R di $180\ \Omega$.

Logica CMOS - Si « potrebbe » anche pilotare direttamente un led, anche con questo tipo di logica a « bassa potenza », alcuni lo fanno, la corrente però è molto limitata per cui consiglio l'uso di un « separatore » apposito o meglio lo schema di figura 14.

Con un beta (guadagno) di 100 del transistor si ha un valore della corrente di pilotaggio attorno ai $200\ \mu\text{A}$, valore adatto alla logica in oggetto.



figura 11

A	B	led
0	0	spento
1	0	spento
0	1	spento
1	1	acceso



figura 12

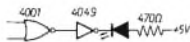


figura 13

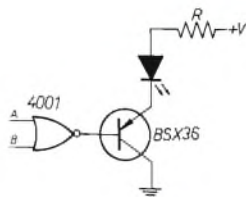


figura 14

V	R (Ω)	A	B	led
5	170	0	0	spento
10	390	1	0	acceso
15	680	0	1	acceso
		1	1	acceso

Gli effetti della temperatura del « case » e della temperatura ambiente sul comportamento dei led sono illustrati nei diagrammi delle figure 15, 16, 17, 18.

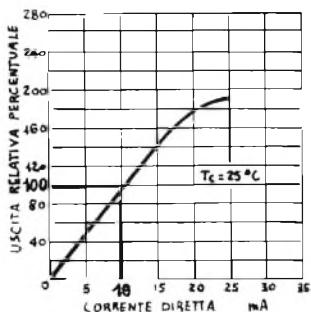


figura 15

Led al fosforo di gallio.
Uscita normalizzata 100% alla corrente nominale di 10 mA.
 T_c = temperatura del « case » = 25°C.

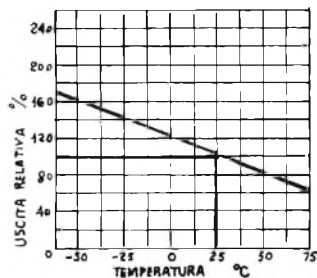


figura 16

Led al fosforo di gallio.
Uscita normalizzata 100% a 25°C ambiente.

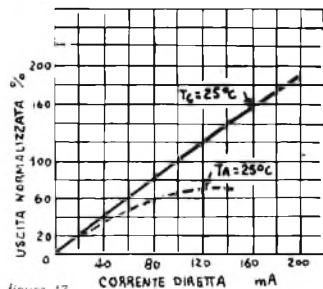


figura 17

Led infrarosso.
Uscita normalizzata 100% a 100 mA.
 T_c = temperatura del « case ».
 T_a = temperatura ambiente.

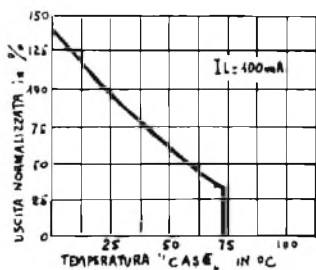


figura 18

Led infrarosso.
Uscita normalizzata 100% a 25°C alla corrente nominale di 100 mA.

I diagrammi si commentano da soli, ragionateci un momentino sopra! In particolare sui diagrammi delle figure 15 e 17, in quanto li rivedremo più avanti.

Passiamo alla parte **pratica** con schemi, completi di tutti i valori dei componenti, scelti tra quelli meno conosciuti o che offrono la possibilità di essere impiegati in molte occasioni diciamo « personali » oppure che si prestano alla « sperimentazione ».

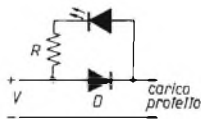


figura 19

Dispositivo contro le inversioni di polarità con indicazione luminosa

Il diodo D (adatto al carico) protegge il carico da inversioni di polarità, il led ne dà, illuminandosi, una indicazione visiva

Il valore di R va determinato sperimentalmente il funzionamento è intuitivo

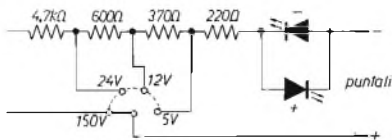


figura 20

Indicatore di livello di tensione.

Quattro portate, le più utili a mio avviso; partire sempre dalla portata più alta e fermarsi alla prima accensione

Il circuitino non è una « bomba » ma può servire

Per le correnti alternate i due led si accendono contemporaneamente; per le correnti continue: se il terminale «+» è collegato a un punto « positivo » del circuito si illuminerà il led «+» (usare ad esempio un elemento a luce rossa); se i terminali fossero scambiati si illuminerà il led «-» (usare ad esempio un elemento a luce verde); ciò servirà a indicare una inversione di polarità; può servire quindi anche come indicatore di polarità

Un diodo protegge l'altro dalla relativa tensione inversa

In figura 21 un moderno cercafase, vi ricordate i cercafase di antica memoria a lampada al neon? Eccone uno « moderno » può servire per tensioni da 5 a 220 V, sia continue che alternate. E' logicamente usabile come cercaguasti in apparecchiature elettriche tramite il rilevamento di presenza o assenza di tensioni. Vi assicuro che è molto comodo in svariate occasioni, è stato da me realizzato in una custodia per penne « biro » di tipo trasparente, vedi disegno.

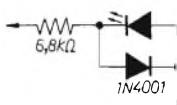
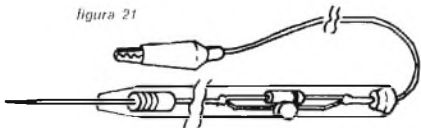


figura 21



In figura 22, invece, un provacircuiti, prova-condensatori e resistori fino a 33 kΩ, diodi, transistori, ecc.

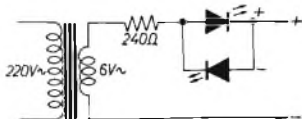


figura 22

Il funzionamento come provacircuiti, condensatori, resistori, è intuitivo. Inserendo invece un diodo o la giunzione di un transistor avremo: uno dei led si accende con normale luminosità, l'altro con luminosità scarsissima; dispositivo in buono stato. I due led sono accesi con uguale intensità luminosa; dispositivo in cortocircuito; led spenti; dispositivo interrotto. Puntale + sull'anodo del diodo, o sul lato « P » di una giunzione, puntale — sul catodo del diodo, o sul lato « N » di una giunzione; si accende il led +; se il contrario, le polarità risultano invertite. Capacità minima controllabile: 47 nF.



Allora, come Vi dicevo, io ho appena staccato la penna da figura 22 che sono già pronto con figura 23, fino a figura 45...

Che ne dite? Volete che...?

Ho capito, ragazzi! In confidenza ho già spedito tutto al bieco Editore che mi ha promesso di darmi 'ste nove paginette in dicembre...

Accirvederci a 1/12/81!

piero

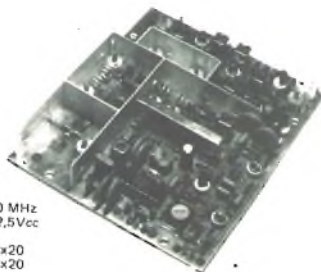
— AT 76 — AR 72 —

moduli trasmettenti e riceventi UHF - FM

AT 76
2 WRF



AR 72
0,3 μV



frequenza 436-470 MHz
alimentazione 12,5Vcc
dimensioni in mm.
AT 76: 102x102x20
AR 72: 122x102x20

Moduli compatti ed affidabili per la radiotrasmissione e ricezione UHF-FM. Un ottimo progetto e l'impiego di componenti qualificati conferiscono ai moduli caratteristiche professionali. Moltissime sono le possibili applicazioni:

- Radioavviso per avvenuto allarme in sistemi di antifurto
- Radiocomando per sistemi ad azionamento automatico
- Trasmissione dati o misure per impianti industriali
- Radiotelefoni per comunicazioni mono o bidirezionali

— stetel —

s.r.l. via Pordenone, 17 - 20132 MILANO - Tel. (02) 21.57.813



COMPONENTI ELETTRONICI

s.n.c. di OLIMPIO & FRANCESCO LANGELLA

via S. Anna alle Paludi, 126 - NAPOLI - tel. 266325

COMPONENTI JAPAN	A3301 L. 3.700	HA1368R L. 4.500	TA7108 L. 4.500	UPC1025 L. 3.500	2SC799 L. 5.500
AN101 L. 3.650	A3350 L. 3.900	HA1370 L. 6.000	TA7120 L. 3.650	UPC1026 L. 4.000	2SC815 L. 2.500
AN210 L. 5.700	A3361 L. 3.500	HA1377 L. 6.500	TA7124 L. 4.500	UPC1028 L. 2.950	2SC839 L. 1.000
AN211 L. 3.850	A4031P L. 3.600	HA1392 L. 5.500	TA7130 L. 4.000	UPC1032 L. 3.200	2SC853 L. 2.500
AN214 L. 3.000	A4032P L. 3.850	HA1397 L. 4.500	TA7137 L. 4.350	UPC1156 L. 3.500	2SC867 L. 9.000
AN217 L. 3.000	A4100 L. 3.000	HA1457 L. 2.500	TA7140 L. 4.600	UPC1158 L. 6.750	2SC945 L. 1.000
AN236 L. 9.500	A4101 L. 5.000	M5102 L. 11.000	TA7148 L. 4.750	UPC1181 L. 3.650	2SC1014 L. 1.300
AN239 L. 12.500	A4102 L. 3.000	M5106 L. 3.600	TA7149 L. 9.700	UPC1182 L. 3.650	2SC1031 L. 1.600
AN240 L. 6.000	A4112 L. 3.000	M5115 L. 7.500	TA7157 L. 7.850	UPC1185 L. 5.800	2SC1096 L. 1.000
AN247 L. 6.500	A4201 L. 3.000	M51513 L. 4.750	TA7200 L. 6.000	UPC1186 L. 3.300	2SC1115 L. 9.500
AN253 L. 3.500	A4220 L. 3.600	M51515 L. 7.350	TA7201 L. 7.500	UPC1350 L. 4.000	2SC1116 L. 6.000
AN264 L. 5.500	A4400 L. 4.000	MB3705 L. 3.000	TA7202 L. 5.000	2SA496 L. 1.500	2SC1124 L. 2.500
AN271 L. 5.500	A4422 L. 3.000	MB3712 L. 4.700	TA7203 L. 5.000	2SA634 L. 1.000	2SC1209 L. 1.300
AN277 L. 3.500	A4430 L. 3.500	S2530 L. 6.500	TA7204 L. 6.500	2SA643 L. 1.250	2SC1222 L. 1.300
AN313 L. 4.000	BA301 L. 2.850	SK19 L. 2.000	TA7205 L. 3.500	2SA671 L. 2.500	2SC1226 L. 1.500
AN315 L. 4.500	BA511 L. 3.500	SK30A L. 1.650	TA7208 L. 3.650	2SA678 L. 1.200	2SC1307 L. 6.000
AN320 L. 9.500	BA514 L. 5.500	STK013 L. 9.500	TA7210 L. 5.850	2SA683 L. 1.300	2SC1383 L. 1.800
AN360 L. 2.500	BA521 L. 3.500	STK014 L. 13.500	TA7214 L. 6.500	2SA705 L. 2.250	2SC1413 L. 7.500
AN362 L. 4.000	BA521 L. 3.500	STK015 L. 8.000	TA7215 L. 8.800	2SA747 L. 9.000	2SC1586 L. 7.000
AN377 L. 5.500	BA532 L. 5.700	STK016 L. 13.500	TA7217 L. 6.000	2SA762 L. 5.500	2SC1663 L. 2.400
AN612 L. 3.500	BA612 L. 3.500	STK0039 L. 11.000	TA7222 L. 3.500	2SA770 L. 1.950	2SC1945 L. 9.500
AN6250 L. 3.500	BA11310 L. 4.000	STK025 L. 10.000	TA7227 L. 5.000	2SA771 L. 2.300	2SC2029 L. 3.500
AN7145 L. 5.850	HA1137 L. 6.500	STK040 L. 13.000	TA7229 L. 6.500	2SA835 L. 2.850	2SD30 L. 1.200
AN7150 L. 5.700	HA1138 L. 6.000	STK043 L. 18.500	TA7303 L. 3.900	2SA909 L. 9.000	2SD91 L. 1.750
AN7156 L. 6.700	HA1306 L. 4.400	STK050 L. 29.400	TA7312 L. 3.500	2SB22 L. 1.300	2SD221 L. 1.950
A1150 L. 3.500	HA1309 L. 7.500	STK413 L. 10.000	TA7313 L. 3.000	2SB367 L. 1.500	2SD234 L. 1.500
A1201 L. 2.500	HA1312 L. 6.500	STK415 L. 10.000	UPC1 L. 3.950	2SB407 L. 1.500	2SD235 L. 1.500
A1230 L. 4.300	HA1322 L. 7.500	STK433 L. 12.000	UPC20C L. 4.500	2SB411 L. 4.500	2SD261 L. 1.500
A1361 L. 3.200	HA1339 L. 4.300	STK435 L. 9.500	UPC41C L. 9.500	2SB541 L. 6.500	2SD288 L. 1.600
A1365 L. 4.000	HA1339A L. 4.300	STK437 L. 9.500	UPC565 L. 2.500	2SB616 L. 4.500	2SD325 L. 1.950
A1387 L. 7.500	HA1342A L. 5.000	STK463 L. 16.800	UPC573 L. 1.500	2SB617 L. 6.000	2SD350 L. 4.000
A3155 L. 4.500	HA1361 L. 4.300	TA7045 L. 5.000	UPC576 L. 4.500	2SB618 L. 7.500	2SD365 L. 2.500
A3160 L. 3.000	HA1366W L. 4.500	TA7061 L. 4.650	UPC577 L. 2.500	2SC458 L. 650	2SD388 L. 6.000
A3201 L. 2.000	HA1366WR L. 4.500	TA7063 L. 2.500	UPC592 L. 2.350	2SC495 L. 1.500	2SD586 L. 5.000
A3210 L. 2.000	HA1367 L. 7.500	TA7076 L. 3.750	UPC1009 L. 11.000	2SC710 L. 1.000	2SD587 L. 6.500
	HA1368 L. 4.000	TA7102 L. 6.500	UPC1021 L. 2.850	2SC756 L. 3.400	2SD588 L. 7.500

2102 L. 2.500	CA3140 L. 1.100	NE542 L. 1.100	TCA965 L. 3.000	TL084 L. 2.500	XR2203 L. 4.200
2114 L. 3.500	CA3161 L. 2.400	OM931 L. 22.500	TCA4500 L. 1.850	TMS2501 L. 6.000	XR2206 L. 9.000
2532 L. 22.000	CA3162 L. 7.600	OM961 L. 27.000	TDA1024 L. 2.500	TMS4116 L. 4.000	XR2216 L. 6.800
2708 L. 6.500	E300 L. 900	RO-3-2513 L. 18.500	TDA1034 L. 3.300	TMS6011=MM5303 L. 6.000	XR4151 L. 4.250
2716NAT. L. 8.500	LD110 L. 12.000		TL1111 L. 1.250		
2758NAT. L. 6.000	LD111 L. 12.000	S556 L. 5.000			
8080NEL L. 7.000	LD130 L. 12.000	SA41058 L. 7.000			
81LS95 L. 2.000	LD131 L. 12.000	SA41070 L. 16.000			
81LS97 L. 2.000	LF356 L. 1.500	SA83011 L. 8.500			
95H90 L. 7.300	LF357 L. 1.500	SH120 L. 7.500			
AX-0-10 L. 1.500	LM386 L. 1.500	SH221 L. 7.500			
AY-5-1013 L. 9.500	LM395 L. 6.000	SL623 L. 1.500			
	LM1496 L. 1.500	SO41P L. 1.850			
CA920 L. 4.000	MK5009 L. 9.000	SN16889 L. 1.500			
CA3080 L. 1.850	MK50240 L. 9.000	SN74C928 L. 9.000			
CA3086 L. 1.000	MK50241 L. 9.000	TAA861 L. 1.500			
CA3104 L. 1.850	MK50398 L. 14.000				

Offerta eccezionale:
Zoccoli per integrati del tipo BURNDY

4+4	L. 100 cad.
7+7	L. 120 cad.
8+8	L. 130 cad.
9+9	L. 170 cad.
10+10	L. 240 cad.
12+12	L. 300 cad.

Quantità 100 pezzi per tipo.

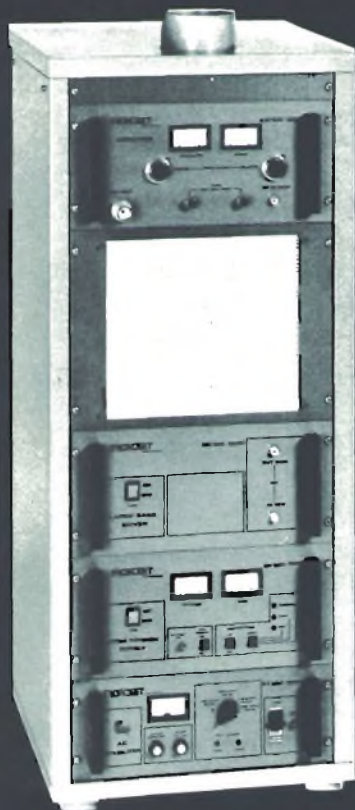
OFFERTA SPECIALE
Capsula microfonica pre-amplificata a FET MCE101 subminiatura a bassa impedenza (600 Ω).
Risposta: 50-1200 Hz. uscita 0,5 mv/√bar/1 KHz.
Alimentazione 1,5-10 V - 1 MA.
Dimensioni: Ø8 x 10 mm.
Prezzo L. 1.500

Vasto assortimento componentistica per TV colore. Consultateci anche per altro materiale non descritto in questa pagina.

Tutti i prezzi sono comprensivi di I.V.A.

Spedizione contrassegno. Spese postali a carico del destinatario. Non disponiamo di Cataloghi. I prezzi possono subire variazioni senza preavviso. La seguente pubblicità annulla la precedente.

100/1500W

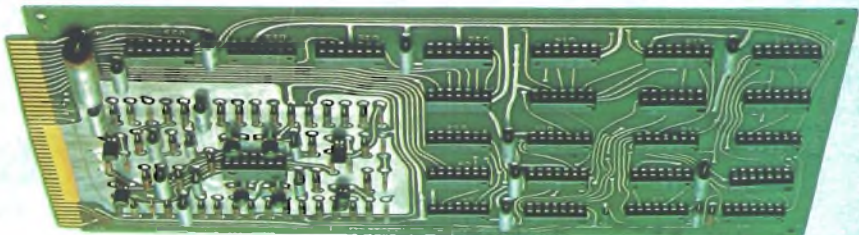


- 1500 W continui, possibilità di elevare a 2000 W.
- Completamente automatico.
- 70 dB attenuazione armoniche.
- Linea risonante in ottone argentato.
- Accordi demoltiplicati, condensatori sotto vuoto, rapidità e stabilità di taratura.
- Controllo proporzionale dell'efficienza della valvola.
- Protezione da eccessi di R.O.S., assorbimento e temperatura.

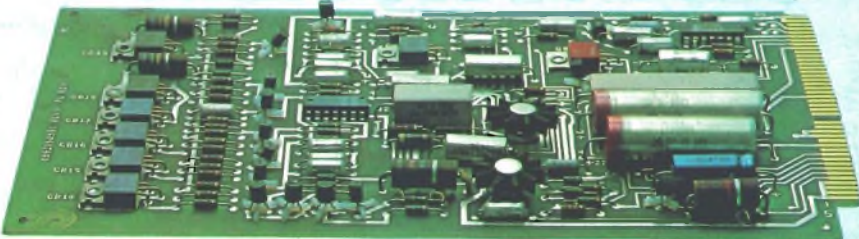
L'amplificatore 100/1500 è una macchina sofisticata e sicura, le ragioni: alimentazione sovradimensionata, trasformatore con nuclei, condensatore carta olio lunga vita, valvola in ceramica caricata al 60% della potenza nominale, linea risonante e parti in ottone argentato per il massimo rendimento, accordi demoltiplicati con condensatori sotto vuoto, ventilazione maggiorata per impiego ad alte quote, meccanica robusta e razionale realizzata con moduli cassette ad inserzione su guide rack, wattmetro di precisione per potenza diretta e riflessa in antenna, completo sistema di protezioni (R.O.S. sovraccorrenti, temperatura con memoria), speciale sistema logico di controllo del livello di efficienza dello stadio finale (riduce automaticamente la potenza di uscita a livello di sicurezza, senza interrompere le trasmissioni), funzionamento automatico 24h su 24.

**AMPLIFICATORE CON
VALVOLA FINALE
PER STAZIONI FM
BROADCASTING 1500W R.F.**

MICROSET ELETTRONICA
TELECOMUNICAZIONI
Via Peruch 62B/64 - 33077 SACILE (PN) ITALY - Tel. 0434/72459



L'ELETTRONICA



diventa facile con le "basi sperimentali" IST

Saper niente di ELETTRONICA significa, oggi, essere "tagliati fuori", sentirsi un po' come "un pesce fuor d'acqua"! Perché il progresso va avanti ELETTRONICAMENTE, la quotidianità è ELETTRONICA! Guardati attorno: negli uffici, nelle aziende, in casa (anche il apparecchio radio-TV, orologi, calcolatori, accendini, ecc. sono "d'obbligo"). L'ELETTRONICA è indispensabile per salire - quattro a quattro - i gradini della scala sociale, professionale, economica.

L'ELETTRONICA non è difficile! Con le "basi sperimentali" IST l'elettronica diventa facile!

18 fascicoli di teoria + 72 esperimenti di pratica

Il corso IST comprende 18 lezioni (collegate a 6 scatole di materiale delle migliori Case: Philips, Richmond, Kaco, ecc.) e 72 "basi sperimentali". Le prime ti spiegano velocemente ma molto chiaramente, la teoria; le seconde ti dimostrano praticamente la teoria imparata. Questo perché è molto più facile imparare se si controllano con l'esperimento i fenomeni studiati. Il metodo "dal vivo" IST è uno dei migliori per ottenere il massimo risultato. Il Corso è stato realizzato da ingegneri europei per allievi europei quindi... proprio per te!

Al termine del corso riceverai un **Certificato Finale** che attesta il tuo successo e la tua volontà.

GRATIS
un fascicolo
in prova

Richiedilo subito. Potrai giudicare tu stesso la bontà del metodo. Troverai tutte le informazioni e ti renderai conto, personalmente, che dietro c'è un Istituto serio con corsi sicuri. **Spedisci questo buono: è un investimento che rende!**

IST ISTITUTO SVIZZERO DI TECNICA

- L'IST è l'unico associato italiano al CEC (Consiglio Europeo Insegnamento per Corrispondenza Bruxelles).
- L'IST insegna: • Elettronica • TV Radio • Elettrotecnica • Tecnica Meccanica • Disegno Tecnico • Calcolo coi regoli (informazioni su richiesta).
- L'IST non effettua MAI visite a domicilio con rappresentanti.
- L'IST non chiede alcuna "tassa" di iscrizione o di interruzione.

BUONO per ricevere - per posta, in prova gratuita e senza impegno - un fascicolo del corso di **ELETTRONICA** con esperimenti e dettagliate informazioni. (Si prega di scrivere una lettera per casella).

cognome
 nome età
 via città
 CAP
 professione o studi frequentati

Da ritagliare e spedire in busta chiusa a:
**IST - Via S. Pietro 49/35x
 21016 LUINO (Varese) Tel. 0332/53 04 69**